

**INSTITUT TEKNOLOGI NASIONAL MALANG
FAKULTAS TEKNOLOGI INDUSTRI
JURUSAN TEKNIK ELEKTRO
KONSENTRASI TEKNIK ENERGI LISTRIK S-1**



**ANALISIS ALIRAN DAYA DENGAN METODE
INCORPORATING COMPOSITE LOAD MODELS PADA
JARINGAN DISTRIBUSI RADIAL SEIMBANG
DI GARDU INDUK BLIMBING MALANG**

SKRIPSI

Disusun Oleh :

**ANDY TRI DHARMIKA
NIM : 00.12.008**

MARET 2006

LEMBAR PERSETUJUAN

**ANALISIS ALIRAN DAYA DENGAN METODE INCORPORATING
COMPOSITE LOAD MODELS PADA JARINGAN DISTRIBUSI RADIAL
SEIMBANG DI GARU INDUK BLIMBING MALANG**

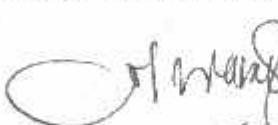
SKRIPSI

*Disusun Guna Melengkapi dan Memenuhi Syarat-Syarat
Guna Mencapai Gelar Sarjana Teknik*

Disusun Oleh :

**ANDY TRI DHARMIKA
NIM. 00.12.008**



**Menyetujui,
Dosen Pembimbing**

Ir. I Made Wartana, MT
NIP. 131.991.182

**KONSENTRASI TEKNIK ENERGI LISTRIK S-1
JURUSAN TEKNIK ELEKTRO
FAKULTAS TEKNOLOGI INDUSTRI
INSTITUT TEKNOLOGI NASIONAL MALANG**

"Sesungguhnya sesudah kesulitan itu ada kemudahan, maka
apabila kamu telah selesai (dari suatu urusan)
kerjakan dengan sungguh-sungguh (urusan) yang lain.
Dan hanya kepada Tuhanmulah kamu berserah diri"
(Q.S Al Insyirah: 6-8)

PERSEMPAHANKU

ALHAMDULILLAHI ROBBIL 'ALAMIIN

*Terima kasih Ya Allah..... telah Engkau buka pintu
Rahmat dan Karunia-Mu untukku,
sehingga Tugas Akhir ini selesai dengan baik.
Dengan penuh kebanggaan kupersembahkan
karya kecil ini 'tuk Ibu dan Bapakku
Terima kasih dukungan moral materiil serta
do'a restumu yang tak terhingga dan
kasih sayangmu yang tak berujung pangkal
sehingga anakmu ini mampu menyelesaikan studi
hingga jenjang Sarjana..... sekali lagi terima kasih
IBU dan BAPAKKU.....*

JHORMAT SELALU DARI ANAKMU INT

*Terima kasih juga untuk kakak-kakakku tercinta
Rocky Adi Setiawan, Retno Puji Astuti
terima kasih do'anya,
untuk adikmu*



ABSTRAKSI

ANALISIS ALIRAN DAYA DENGAN METODE *INCORPORATING COMPOSITE LOAD MODELS* PADA JARINGAN DISTRIBUSI RADIAL SEIMBANG DI GARDU INDUK BLIMBING MALANG

(Andy Tri Dharmika, 00.12.008, Teknik Energi Listrik S-1)
(Dosen Pembimbing : Ir. I Made Wartana, MT)

Kata kunci : *Load Flow, Radial Distribution Network, Composite Load Modelling*

Kebutuhan akan tenaga listrik dari konsumen selalu bertambah dari waktu ke waktu. Di samping tersedianya energi listrik yang mencukupi, konsumen juga membutuhkan peningkatan kualitas dan kuantitas energi listrik. Agar dapat melayani kebutuhan tenaga listrik secara baik di sisi teknik maupun ekonomis maka perlu dilakukan analisis yang tepat yaitu analisis aliran daya. Dengan analisis aliran daya kita dapat mengetahui besarnya tegangan tiap-tiap bus, aliran daya dan rugi-rugi daya yang terjadi pada tiap-tiap saluran. Sehingga analisis aliran daya sangat dibutuhkan dalam rencana perluasan dan penentuan operasi terbaik dari suatu sistem.

Banyak metode yang dipergunakan dalam menganalisis aliran daya seperti metode *Gauss Seidel*, *Newton Raphson*, *Fast Decoupled*. Tetapi metode-metode ini kurang sesuai untuk menganalisa sistem distribusi dalam kaitan dengan pemisahan karakteristik. Satu alasan bahwa metode ini didasarkan pada hubungan topologi sistem transmisi, dimana jaringan distribusi kebanyakan radial secara alami. Perbedaan jaringan distribusi yang lain adalah adanya perbandingan resistansi dan reaktansi (rasio R/X) tinggi, yang membuat ketidakcocokan pada aliran beban konvensional.

Skripsi ini akan membahas sebuah kerangka kerja baru yang merupakan pengembangan dari metode tersebut di atas, agar dapat memberikan metode alternatif dalam menyelesaikan masalah aliran daya pada jaringan distribusi yang mempunyai jumlah cabang, jumlah bus yang banyak dan perbandingan rasio R/X tinggi. Dan untuk menganalisa efisiensi perhitungan dari metode *Incorporating Composite Load Models* jika dibandingkan dengan metode *Newton Raphson*, sehingga diperoleh hasil perhitungan dengan ketelitian tidak jauh berbeda dengan metode *Newton Raphson*, tetapi waktu perhitungan yang lebih cepat.

KATA PENGANTAR

Dengan memanjatkan puji syukur kchadirat Allah SWT, atas limpahan rahmat dan hidayah-Nya, penyusun dapat menyelesaikan skripsi ini dengan judul **“Analisis Aliran Daya Dengan Metode Incorporating Composite Load Models Pada Jaringan Distibusi Radial Seimbang Di Gardu Induk Blimbing Malang”**.

Skripsi ini disusun sebagai salah satu persyaratan dalam menyelesaikan studi program strata satu (S-1) jurusan Teknik Elektro/Program Studi Teknik Energi Listrik, Fakultas Teknologi Industri, Institut Teknologi Nasional Malang.

Sebelum dan selama penyusunan skripsi ini, penyusun telah banyak mendapatkan bantuan dan bimbingan dari berbagai pihak. Untuk itu pada kesempatan ini penyusun menyampaikan terima kasih yang sebesar-besarnya kepada:

1. Bapak Dr. Ir. Abraham Lomi, MSEE, selaku Rektor Institut Teknologi Nasional Malang.
2. Bapak Ir. Mochtar Asroni, MSMT, Selaku Dekan Fakultas Teknologi Industri Institut Tenologi Nasinal Malang.
3. Bapak Ir. F. Yudi Limpraptono, MT, selaku Ketua Jurusan Teknik Elektro S-1 Fakultas Teknologi Industri Institut Teknologi Nasional Malang.
4. Bapak Ir. I Made Wartana, MT, selaku dosen pembimbing dalam penyusunan skripsi ini.
5. Bapak Ibnu, Selaku PT PLN (Persero) Unit Bisnis Distribusi Jawa Timur Area Malang.

6. Bapak Ir. Supandi, selaku UPJ area Malang.
7. Bapak dan ibu dosen jurusan Teknik Elektro Energi Listrik.
8. Bapak dan ibuku, yang sangat berarti dalam kehidupan penyusun, dimana do'a serta restu dan keridhoannya senantiasa penyusun harapkan.
9. Teman-teman di jurusan Teknik Elektro Institut Teknologi Nasional Malang, terutama angkatan 2000 yang telah membantu dalam penyelesaian skripsi ini.
10. Semua pihak yang tidak dapat disebutkan satu per satu, yang telah membantu dalam penyelesaian skripsi ini.

Penyusun menyadari sepenuhnya akan segala kekurangan yang ada dalam penyusunan skripsi ini, maka dengan kerendahan hati penyusun mengharapkan kritik dan saran yang bersifat membangun dalam perbaikan dan peningkatan mutu demi penyempurnaan skripsi ini.

Akhirnya penyusun berharap semoga dalam skripsi ini dapat membantu memperdalam dan melatih mahasiswa menerapkan ilmu yang didapat pada waktu kuliah dengan permasalahan yang sesungguhnya, serta bermanfaat bagi rekan-rekan mahasiswa khususnya pada jurusan Teknik Elektro Energi Listrik.

Malang, Maret 2006

Penulis

DAFTAR ISI

| | |
|---------------------------------|-----|
| HALAMAN JUDUL | i |
| LEMBAR PERSETUJUAN | ii |
| ABSTRAKSI..... | iii |
| KATA PENGANTAR..... | iv |
| DAFTAR ISI..... | vi |
| DAFTAR GAMBAR..... | x |
| DAFTAR TABEL..... | xi |
| DAFTAR GRAFIK | xii |

BAB I PENDAHULUAN

| | |
|----------------------------------|---|
| 1.1. Latar Belakang | 1 |
| 1.2. Rumusan Masalah | 2 |
| 1.3. Tujuan Penelitian..... | 3 |
| 1.4. Batasan Masalah..... | 3 |
| 1.5. Metodologi Penelitian | 4 |
| 1.6. Sistimatika Pembahasan..... | 5 |
| 1.7. Kontribusi Penelitian | 6 |

BAB II SISTEM DISTRIBUSI TENAGA LISTRIK

| | |
|--|---|
| 2.1. Pengertian Umum Sistem Tenaga Listrik | 7 |
| 2.2. Sistem Distribusi..... | 8 |
| 2.2.1. Sistem Distribusi Primer | 9 |

| | |
|--|----|
| 2.2.2. Sistem Distribusi Sekunder..... | 9 |
| 2.3. Struktur Jaringan Distribusi Primer | 10 |
| 2.4. Sistem Jaringan Distribusi Radial..... | 10 |
| 2.4.1. Sistem Radial Pohon..... | 12 |
| 2.4.2. Sistem Radial dengan <i>Tie</i> dan <i>Switch</i> Pemisah | 13 |
| 2.4.3. Sistem Radial dengan Pembagian <i>Phasa Area</i> | 13 |
| 2.4.4. Sistem Radial dengan Beban Terpusat | 14 |
| 2.5. Beban Sistem Distribusi | 15 |
| 2.6. Daya Sistem Distribusi | 16 |
| 2.6.1. Daya Aktif (<i>Active Power</i>) | 16 |
| 2.6.2. Daya Reaktif (<i>Reactive Power</i>) | 16 |
| 2.6.3. Daya Kompleks (<i>Complexs Power</i>) | 16 |
| 2.7. Faktor Daya | 17 |
| 2.8. Rugi-Rugi Daya Saluran Distribusi | 18 |
| 2.9. Sistem Per-Unit..... | 20 |
| 2.10. Mengubah Dasar Sistem per-Unit | 21 |

BAB III ALIRAN DAYA DENGAN PENDEKATAN PEMODELAN BEBAN

| | |
|---|----|
| 3.1. Umum | 23 |
| 3.2. Pendekatan Studi Aliran Daya..... | 23 |
| 3.3. Klasifikasi Bus | 24 |
| 3.3.1. <i>Slack Bus/ Swing Bus</i> | 25 |
| 3.3.2. <i>P-V Bus / Generator Bus</i> | 25 |

| | |
|--|----|
| 3.3.3. <i>P-Q Bus / Load Bus</i> | 25 |
| 3.4. Analisa Topologi Jaringan Radial | 26 |
| 3.4.1. Topologi Jaringan Radial..... | 26 |
| 3.4.2. Matriks Topologi Jaringan Radial | 27 |
| 3.5. Aliran Daya Pada Jaringan Radial..... | 29 |
| 3.6. Metode <i>Newton-Raphson</i> | 33 |
| 3.7. Metode <i>Incorporating Composite Load Models</i> | 36 |
| 3.7.1. Pemodelan beban | 36 |
| 3.7.2. Persamaan Aliran Daya dengan Model Beban | 37 |
| 3.8. Algoritma Perhitungan..... | 40 |

BAB IV HASIL DAN ANALISIS HASIL

| | |
|--|----|
| 4.1. Umum | 42 |
| 4.2. Flowchart Pemecahan Masalah | 44 |
| 4.3. Data Perhitungan | 45 |
| 4.3.1. Data Saluran | 45 |
| 4.3.2. Data Pembelahan | 47 |
| 4.4. Analisa Perhitungan..... | 49 |
| 4.5. Perhitungan Aliran Daya Penyulang | 49 |
| 4.6. Persentase Rugi Daya dan Pembelahan Pada Penyulang Asahan . | 56 |

BAB V KESIMPULAN DAN SARAN

| | |
|----------------------|----|
| 5.1. Kesimpulan..... | 58 |
| 5.2. Saran | 59 |

DAFTAR PUSTAKA

LAMPIRAN

DAFTAR GAMBAR

| Gambar | Halaman |
|--|----------------|
| 2-1. Skema Penyaluran Energi Listrik | 7 |
| 2-2. Jaringan Distribusi Menengah (JTM), Jaringan Tegangan Rendah (JTR) dan Sambungan Rumah Ke Pelanggan..... | 8 |
| 2-3. Bentuk Sederhana Dari Sistem Distribusi Radial | 10 |
| 2-4. Jaringan Tegangan Menengah Sistem Distibusi Radial..... | 11 |
| 2-5. Contoh Jaringan Distribusi Radial Pohon | 12 |
| 2-6. Contoh Jaringan Distribusi Radial dengan <i>Tie</i> dan <i>Switch</i> Pemisah..... | 13 |
| 2-7. Contoh Jaringan Distribusi Radial dengan <i>Phase Area</i> | 14 |
| 2-8. Contoh Jaringan Distribusi Radial dengan Beban Terpusat..... | 15 |
| 2-9. Segitiga Daya | 18 |
| 2-10. Rugi-rugi Pada bagian Sistem Tenaga Listrik..... | 19 |
| 3-1. Topologi Jaringan Radial..... | 27 |
| 3-2. Topologi Jaringan Radial Setelah <i>Node</i> di Eliminasi | 27 |
| 3-3. Jaringan Distribusi Radial..... | 38 |
| 3-4. Persamaan Elektrik Jaringan Distribusi Radial | 38 |
| 4-1. <i>Single Line Diagram</i> Penyulang Asahan | 46 |

DAFTAR TABEL

| Tabel | Halaman |
|--|----------------|
| 4-1. Data Jenis Konduktor Pada Penyulang Asahan | 45 |
| 4-2. Data Impedansi Pada Tiap-tiap Saluran Penyulang Asahan | 47 |
| 4-3. Data Pembebatan Pada Tiap-tiap Bus Penyulang Asahan | 48 |
| 4-4. Kondisi Tegangan Tiap-tiap Bus dengan Metode <i>Incorporating Composite Load Models</i> dan <i>Newton Raphson</i> | 50 |
| 4-5. Aliran Daya Pada Tiap Saluran dengan Metode <i>Incorporating Composite Load Models</i> dan <i>Newton Raphson</i> | 52 |
| 4-6. Rugi Daya Pada Tiap saluran dengan Metode <i>Incorporating Composite Load Models</i> dan <i>Newton Raphson</i> | 53 |
| 4-7. Perbandingan Waktu Perhitungan dengan Metode <i>Incorporating Composite Load Models</i> dan <i>Newton Raphson</i> | 53 |
| 4-8. Hasil Perhitungan Total Pembangkitan, Pembebatan dan Rugi Daya dengan Metode <i>Incorporating Composite Load Models</i> dan <i>Newton Raphson</i> | 54 |

DAFTAR GRAFIK

| Grafik | Halaman |
|--|----------------|
| 4-1. Perbandingan Tegangan Tiap-Tiap Bus Terhadap Asumsi Tegangan Awal | 51 |
| 4-2. Perbandingan Waktu Perhitungan dengan Metode <i>Incorporating Composite Load Models</i> dan <i>Newton Raphson</i> | 54 |
| 4-3. Perbandingan Total Pembangkitan Metode <i>Incorporating Composite Load Models</i> dan <i>Newton Raphson</i> | 55 |
| 4-4. Perbandingan Total Pembebanan Metode <i>Incorporating Composite Load Models</i> dan <i>Newton Raphson</i> | 55 |
| 4-5. Perbandingan Total Rugi-rugi Daya Metode <i>Incorporating Composite Load Models</i> dan <i>Newton Raphson</i> | 56 |
| 4-6. Presentase Rugi Daya dan Pembebanan Pada Penyulang Asahan Metode <i>Incorporating Composite Load Models</i> dan <i>Newton Raphson</i> | 57 |

BAB I

PENDAHULUAN

1.1. Latar Belakang

Sistem distribusi merupakan bagian dari sistem tenaga listrik yang berfungsi untuk menyalurkan dan mendistribusikan tenaga listrik ke konsumen. Permasalahan yang dihadapi pada jaringan distribusi tenaga listrik adalah bagaimana menyalurkan energi listrik dengan baik pada saat sekarang maupun pada masa yang akan datang. Disamping tersedianya energi listrik yang mencukupi konsumen juga menuntut peningkatan kualitas dan kuantitas energi listrik. Untuk itu diperlukan analisis yang tepat yaitu analisis aliran daya. Dengan analisis aliran daya, maka kita dapat mengetahui besarnya tegangan tiap-tiap bus, aliran daya dan rugi-rugi daya yang terjadi pada tiap-tiap saluran. Sehingga analisis aliran daya sangat dibutuhkan dalam rencana perluasan dan penentuan operasi terbaik dari suatu sistem.^[5]

Banyak metode yang digunakan dalam menganalisis aliran daya yang sering dipakai seperti metode *Gauss Siedel (GS)*, *Newton Raphson (NR)*, *Fast Decoupled*. Tetapi metode-metode ini kurang sesuai untuk menganalisa sistem distribusi dalam kaitan dengan pemisahan karakteristik. Satu alasan bahwa metode ini didasarkan pada hubungan topologi sistem transmisi, dimana jaringan distribusi kebanyakan radial secara alami. Perbedaan jaringan distribusi yang lain adalah adanya perbandingan resistansi dan reaktansi (ratio R/X) tinggi, yang membuat ketidakcocokan pada aliran beban konvensional.^[1]

Oleh karena itu didalam skripsi ini akan membahas sebuah kerangka kerja baru yang merupakan pengembangan dari metode tersebut di atas, agar dapat memberikan metode alternatif dalam menyelesaikan masalah aliran daya pada jaringan distribusi yang mempunyai jumlah cabang, jumlah bus yang banyak dan perbandingan rasio R/X tinggi.^[1]

1.2. Rumusan Masalah

Variasi pembebanan daya aktif dan reaktif pada sistem akan menyebabkan variasi perubahan tegangan yang besar disamping itu juga permintaan beban sistem distribusi tumbuh setiap tahun, sistem yang berjalan perlu untuk mengatur kembali setelah beberapa tahun sehingga menyebabkan variasi aliran daya pada tiap-tiap model beban. Perubahan aliran daya menimbulkan rugi-rugi daya yang besar. Oleh karenanya metode yang diusulkan diharapkan mampu diterapkan pada jaringan distribusi yang mempunyai jumlah cabang, jumlah bus yang banyak serta perbandingan rasio R/X tinggi sehingga dapat diketahui :

1. Kondisi tegangan setiap bus sepanjang saluran pada sistem distribusi tipe radial seimbang apakah masih dalam batas-batas yang diijinkan.
2. Besar aliran daya dan rugi-rugi daya yang terjadi pada setiap saluran.
3. Menganalisa efisiensi perhitungan dari metode *Incorporating Composite Load Models* jika dibandingkan dengan metode *Newton Raphson*.

1.3. Tujuan Penelitian

Memberikan suatu alternatif metode dalam menyelesaikan masalah aliran daya pada jaringan distribusi yang mempunyai jumlah cabang, jumlah bus yang banyak serta perbandingan rasio R/X tinggi. Dan untuk menganalisa efisiensi perhitungan dari metode *Incorporating Composite Load Models* jika dibandingkan dengan metode *Newton Raphson*, sehingga diperoleh hasil perhitungan dengan ketelitian tidak jauh berbeda dengan metode *Newton Raphson*, tetapi waktu perhitungan yang lebih cepat.

1.4. Batasan Masalah

Agar permasalahan mengarah sesuai dengan tujuan yang telah ditetapkan, maka permasalahan dalam skripsi ini dibatasi pada hal-hal sebagai berikut :

1. Analisa perhitungan menggunakan metode *Incorporating Composite Load Models* pada jaringan distribusi radial seimbang dengan tegangan 20 kV sehingga digunakan analisa satu fasa.
2. Metode *Incorporating Composite Load Models* mempunyai komposisi 40% model beban daya konstan, 30% model beban arus konstan dan 30% model beban impedansi konstan.
3. Jaringan distribusi primer yang dibahas adalah penyulang Asahan yang merupakan *Out Going Gardu Induk Blimbings* di PT. PLN (Persero) cabang Malang.
4. *Busbar* dari GI Blimbings dianggap sebagai *Slack Bus* dan simpul-simpul yang ada di sepanjang saluran di pandang sebagai *Load Bus*.

5. Analisa dilakukan dengan menganggap sistem dalam keadaan normal.
6. Analisa dilakukan hanya sebatas pengkajian beban suatu penyulang yang telah ada guna memperoleh rugi-rugi daya.
7. Analisa perhitungan tidak membahas masalah ekonomi
8. Power faktor daya di asumsikan 0.85.
9. Pengaruh kapasitansi shunt, *line charging*, pengaturan dengan tap trafo diabaikan.
10. Rugi-rugi pada peralatan proteksi dan belitan trafo diabaikan.

1.5. Metodologi Penelitian

Metodologi yang digunakan dalam pembahasan skripsi ini dilakukan dengan langkah - langkah sebagai berikut :

- a. Studi Literatur mengenai hal – hal yang mendukung penyusunan skripsi ini seperti jurnal IEEE “*Load Flow Algorithm of Radial Distribution Networks Incorporating Composite Load Model*”, serta mempelajari buku – buku yang berkaitan sebagai referensinya.
- b. Pengambilan data - data di lapangan dilakukan di PT. PLN Distribusi Malang dan PLN Rayon Blimbing untuk Penyulang Asahan yang meliputi data saluran dan data pembebanan
- c. Merancang perangkat lunak (*software*) dengan menggunakan bahasa program dari metode *Incorporating Composite Load Models*, untuk menentukan besarnya tegangan dan rugi-rugi daya pada masing-masing saluran

- d. Melakukan simulasi dan analisa dengan menggunakan bahasa pemrograman Matlab versi 6.1.
- e. Menarik kesimpulan

1.6. Sistematika Pembahasan

Untuk mendapatkan arah yang tepat mengenai hal-hal yang akan dibahas maka skripsi ini disusun sebagai berikut :

BAB I : PENDAHULUAN

Merupakan pendahuluan yang meliputi latar belakang masalah yang melandasi skripsi ini, rumusan masalah, tujuan yang ingin dicapai, metodologi dan sistematika penulisan.

BAB II : SISTEM DISTRIBUSI TENAGA LISTRIK

Disini akan diuraikan sistem distribusi secara umum, klasifikasi sistem tenaga listrik, struktur jaringan distribusi tenaga listrik, klasifikasi beban, macam-macam daya, rugi-rugi daya dan sistem per-unit.

BAB III : ALIRAN DAYA DENGAN PENDEKATAN PEMODELAN BEBAN

Pada bab ini akan dibahas konsep aliran daya dengan metode *Incorporating Composite Load Models* pada jaringan distribusi radial seimbang.

BAB IV : HASIL DAN ANALISIS HASIL

Membahas analisa hasil program untuk menghitung aliran daya dengan menggunakan metode *Incorporating Composite Load Models*.

BAB V : KESIMPULAN DAN SARAN

Merupakan intisari dari pembahasan. Berisi kesimpulan dari analisa data dan saran-saran yang dapat digunakan sebagai pertimbangan untuk pengembangan penulisan selanjutnya.

1.7. Kontribusi Penelitian

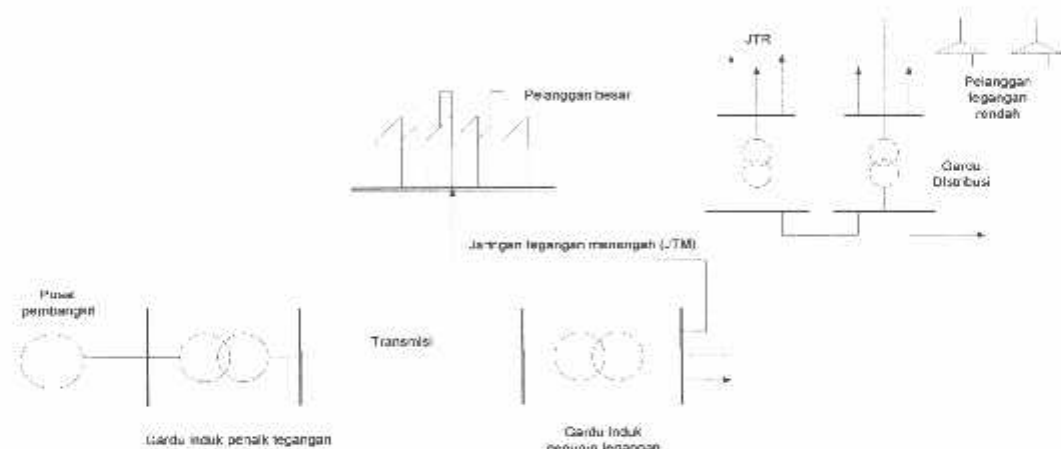
Adapun kontribusi dari penelitian ini adalah diharapkan analisa aliran daya dengan menggunakan metode *Incorporating Composite Load Model* ini bisa diterapkan di PT. PLN (Persero) untuk dapat meningkatkan transfer daya sehingga bisa menekan rugi-rugi daya pada sistem, yang pada akhirnya nanti akan bisa menambah keuntungan bagi PLN sebagai perusahaan penyedia energi listrik di Indonesia.

BAB II

SISTEM DISTRIBUSI TENAGA LISTRIK

2.1. Pengertian Umum Sistem Tenaga Listrik^[6]

Sistem tenaga listrik merupakan sistem terpadu yang terbentuk oleh hubungan-hubungan peralatan dan komponen-komponen tenaga listrik. Sistem tenaga listrik ini mempunyai peranan utama untuk menyalurkan energi listrik yang dibangkitkan oleh generator ke konsumen yang membutuhkan energi listrik.



Gambar 2-1. Skema Penyaluran Energi Listrik
Sumber : Ir. Hasan Basti, 1996, "Sistem Tenaga Listrik", Balai Penerbit Dan Humas ISTN

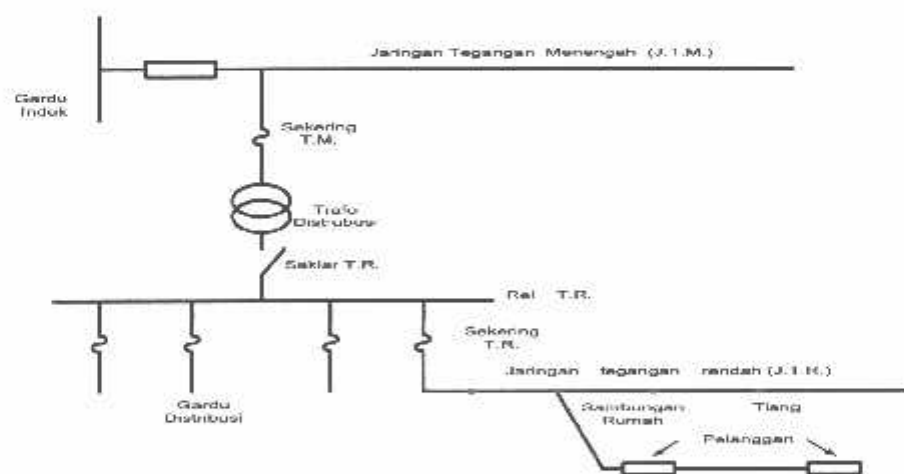
Secara garis besar suatu sistem tenaga listrik dapat dikelompokkan menjadi 3 sub sistem, yaitu :

1. Sistem Pembangkitan : berperan sebagai sumber daya tenaga listrik dan disebut juga Produkto Energi.
2. Sistem Transmisi atau Penyaluran : berfungsi sebagai penyalur daya listrik secara besar-besaran dari pembangkit ke bagian sistem distribusi atau konsumen.

3. Sistem Distribusi dan Beban : berperan sebagai distributor energi ke konsumen yang memerlukan energi tersebut.

2.2. Sistem Distribusi^[6]

Jaringan distribusi berada pada akhir dari sistem tenaga listrik, perannya mendistribusikan tenaga listrik dari Gardu Induk atau Pembangkit Tenaga (skala kecil) ke konsumen melalui Gardu Distribusi. Jaringan setelah keluar dari Gardu Induk biasa disebut Jaringan Distribusi. Tenaga listrik yang disalurkan melalui jaringan distribusi primer kemudian diturunkan tegangannya dalam gardu-gardu distribusi menjadi tegangan rendah, kemudian disalurkan melalui Jaringan Tegangan Rendah untuk selanjutnya disalurkan kerumah-rumah pelanggan (konsumen) PLN melalui sambungan rumah^[6].



Gambar 2-2. Jaringan Distribusi Tegangan Menengah (JTM), Jaringan Tegangan Rendah (JTR) dan Sambungan Rumah Ke Pelanggan

Sumber : Ir. Hasan Basri, 1996, "Sistem Tenaga Listrik", Balai Penerbit Dan Humas ISTN

Dalam mendistribusikan tenaga listrik ke konsumen, tegangan yang digunakan bervariasi tergantung dari jenis konsumen yang membutuhkan. Untuk

konsumen industri biasanya digunakan tegangan menengah 6 kV atau 20 kV sedangkan untuk konsumen perumahan digunakan tegangan tegangan 127/220 Volt atau 220/380 Volt, yang merupakan tegangan siap pakai untuk peralatan-peralatan rumah tangga. Dengan demikian maka sistem distribusi tenaga listrik dapat diklasifikasikan menjadi dua bagian sistem yaitu :

1. Sistem distribusi primer
2. Sistem distribusi sekunder.

Pengklasifikasian sistem distribusi tenaga listrik menjadi dua ini berdasarkan tingkat tegangan distribusinya^[6].

2.1.1. Sistem Distribusi Primer^[6]

Tingkat tegangan yang digunakan pada distribusi primer adalah tegangan menengah 20 kV, oleh karena itu sistem distribusi ini sering disebut dengan sistem distribusi tegangan menengah.

2.1.2. Sistem Distribusi Sekunder^[6]

Tingkat tegangan yang digunakan pada sistem distribusi sekunder adalah tegangan rendah 127/220 Volt atau 220/380 Volt, oleh karena itu sistem distribusi ini sering disebut dengan sistem distribusi tegangan rendah.

Sistem jaringan yang digunakan untuk menyalurkan dan mendistribusikan tenaga listrik tersebut dapat menggunakan sistem satu fasa dengan dua kawat maupun sistem tiga fasa dengan empat kawat.

2.3. Struktur Jaringan Distribusi Primer^[6]

Pendistribusian tenaga listrik ke konsumen dilakukan dengan menggunakan sistem jaringan distribusi atau penyulang distribusi. Ada beberapa bentuk sistem jaringan distribusi primer yang umum digunakan untuk menyalurkan dan mendistribusikan tenaga listrik yaitu :

- a. Sistem jaringan distribusi radial
- b. Sistem jaringan distribusi rangkaian tertutup (*loop*)
- c. Sistem jaringan distribusi *mesh*

2.4. Sistem Jaringan Distribusi Radial.^[6]

Sistem jaringan distribusi tipe radial merupakan bentuk dasar yang paling sederhana yang menghubungkan beban – beban ketik sumber, biayanya relatif murah. Pada struktur radial ini, tidak ada alternatif pasokan tenaga listrik, oleh sebab itu tingkat keandalannya relatif rendah.



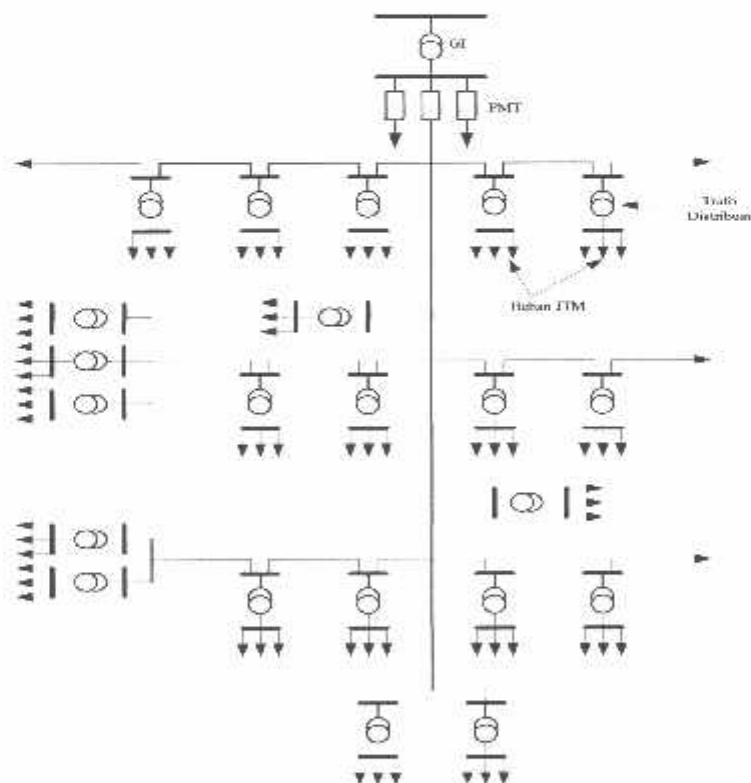
Gambar 2-3. Bentuk Sederhana Dari Sistem Distribusi Radial

Sumber : Ir. Hasan Basri, 1996, "Sistem Tenaga Listrik", Balai Penerbit Dan Humas ISTN

Kelemahan yang dimiliki oleh sistem radial adalah jatuh tegangan yang cukup besar dan bila terjadi gangguan pada sistem akan dapat mengakibatkan jatuhnya sebagian atau bahkan keseluruhan beban sistem.

Radial ganda adalah langkah dalam usaha meningkatkan keandalan jaringan, hal ini terutama bila rute dari sirkuitnya berlainan satu sama lain. Langkah lain untuk mempertinggi tingkat keandalannya dari struktur radial adalah mengupayakan pasokan daya tidak hanya dari satu arah, walaupun pada pengoperasianya dilaksanakan secara radial.

Bentuk yang paling umum digunakan pada sistem distribusi radial adalah seperti pada gambar 2-4. Dapat dilihat bahwa sebuah penyulang memasok sejumlah Gardu Distribusi. Jika terjadi ganguan pada jaringan tegangan menengahnya, maka pemutus beban yang ada di Gardu Induk akan membuka, hal ini menyebabkan semua Gardu Distribusinya akan mengalami pemadaman, maka pada penyulang dipasang peralatan pemisah seperti pelebur.

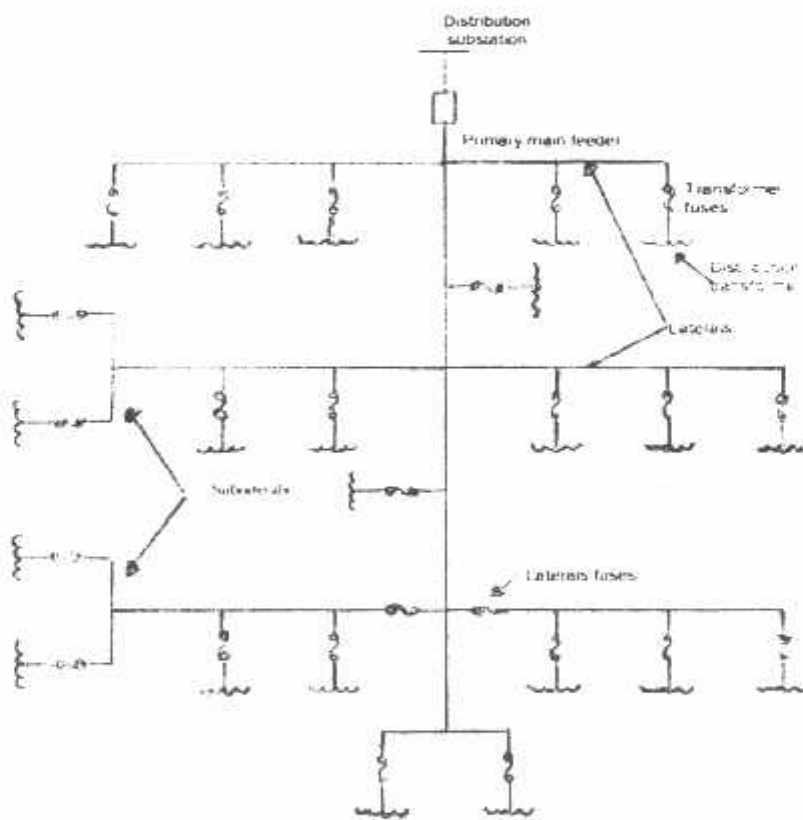


Gambar 2-4. Jaringan Tegangan Menengah Sistem Distribusi Radial

Sumber : Ir. Hasan Basri, 1996, "Sistem Tenaga Listrik", Balai Penerbit Dan Ilmuwan ISTN

2.4.1. Sistem Radial Pohon

Sistem jaringan pohon ini merupakan bentuk yang paling dasar dari sistem jaringan radial. Saluran utama (*main feeder*) ditarik dari suatu Gardu Induk sesuai dengan kebutuhan kemudian dicabangkan melalui saluran cabang (*lateral feeder*), selanjutnya dicabangkan lagi melalui saluran anak cabang (*sublateral feeder*). Ukuran dari masing-masing saluran tergantung dari kerapatan arus yang ditanggung. Dari gambar 2-5, *main feeder* merupakan saluran yang dialiri arus terbesar, selanjutnya arus mengecil pada tiap cabang tergantung dari besarnya beban.

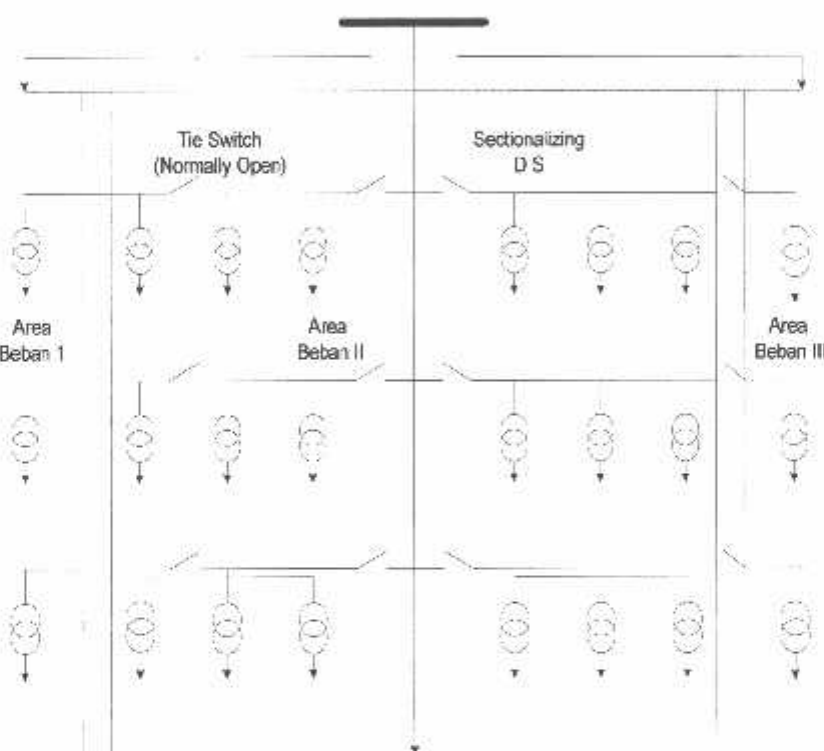


Gambar 2-5. Contoh Sistem Jaringan Distribusi Radial Pohon

Sumber : Turan Goncu, "Electric Power Distribution System Engineering", University of Missouri at Columbia

2.4.2. Sistem Radial dengan *Tie* dan *Switch Pemisah*.

Sistem ini merupakan pengembangan dari sistem radial pohon, untuk meningkatkan keandalan sistem saat terjadinya gangguan maka *feeder* yang terganggu akan dilokalisir sedangkan area yang semula dilayani *feeder* tersebut pelayanannya dialihkan pada *feeder* yang sehat atau yang terganggu. Sistem radial dengan *Tie* dan *Switch Pemisah* dapat dilihat pada gambar 2-6.



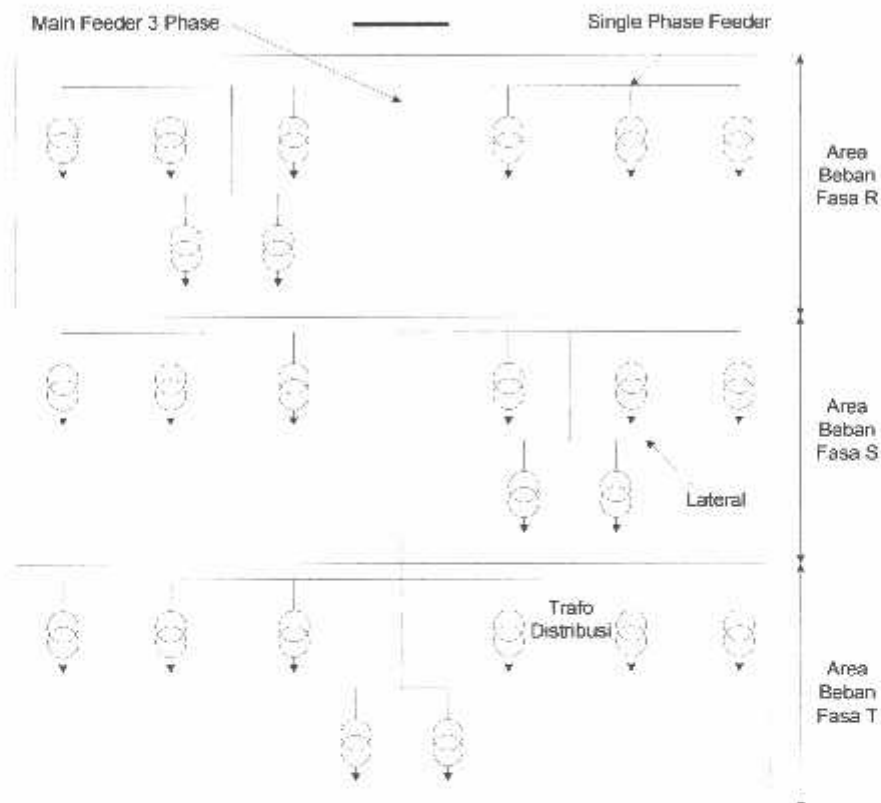
Gambar 2-6. Contoh Sistem Jaringan Distribusi Radial dengan *Tie* dan *Switch Pemisah*

Sumber : Turan Gonen, "Electric Power Distribution System Engineering", University of Missouri at Columbia

2.4.3. Sistem Radial dengan Pembagian *Phase Area*

Pada bentuk ini masing-masing fasa dari jaringan bertugas melayani daerah beban yang berlainan. Bentuk ini akan dapat menimbulkan kondisi sistem

tiga fasa yang tidak seimbang (*simetris*), bila digunakan pada daerah beban yang baru dan belum mantap pembagian bebannya. Contoh dari sistem jaringan ini dapat dilihat pada gambar 2-7.

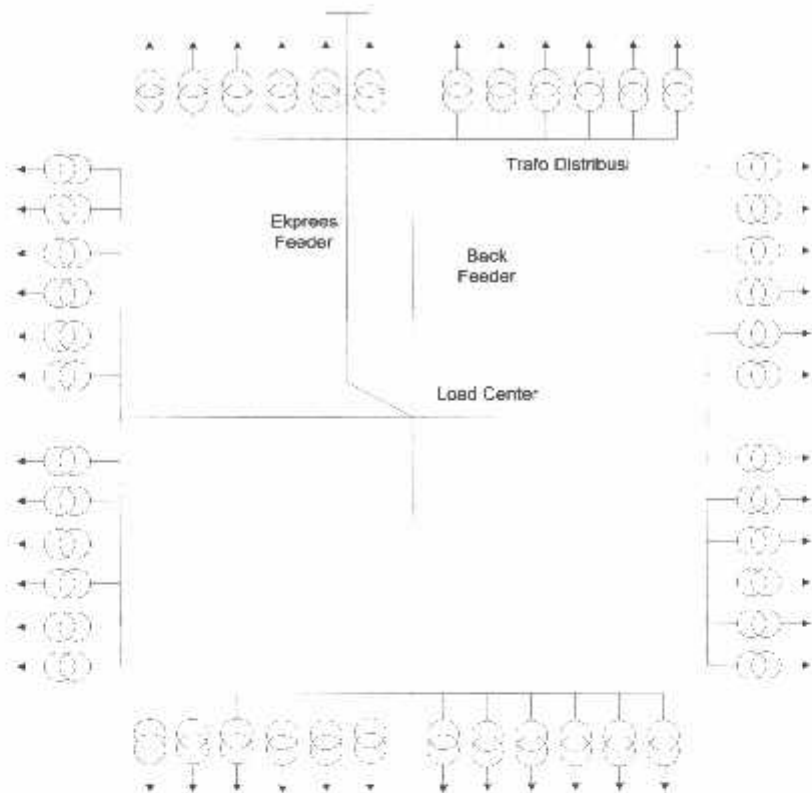


Gambar 2-7. Contoh Sistem Jaringan Distribusi Radial dengan *Phase Area*

Sumber : Furan Gonen. "Electric Power Distribution System Engineering", University of Missouri at Columbia

2.4.4. Sistem Radial Dengan Beban Terpusat.

Bentuk dari sistem ini mensuplai daya dengan menggunakan *main feeder* yang disebut *express feeder* langsung ke pusat beban, dan dari titik pusat beban ini disebut dengan menggunakan *back feeder* secara radial seperti terlihat pada gambar 2-8.



Gambar 2-8. Contoh Sistem Jaringan Distribusi Radial dengan Beban Terpusat

Sumber : Turan Gonen, "Electric Power Distribution System Engineering", University of Missouri at Columbia

2.5. Beban Sistem Distribusi^[6]

Secara garis besar beban dapat diklasifikasikan menjadi tiga , yaitu :

1. Beban Perumahan (Rumah Tangga)

Beban perumahan pada umumnya berupa penerangan, alat-alat elektronik rumah tangga dan lain-lain.

2. Beban Komersial

Beban komersial pada umumnya berupa penerangan toko, reklame dan lain-lain.

3. Beban Industri

Beban industri diklasifikasikan menjadi 2 yaitu skala besar dan kecil.

2.6. Daya Sistem Distribusi ^[6]

2.6.1. Daya Aktif (*Active Power*)^[6]

Daya nyata dinyatakan dalam persamaan :

$$P = |V| \cdot |I| \cos \varphi \dots \dots \dots \quad (2.1)$$

Daya nyata untuk beban tiga fasa seimbang :

$$P = \sqrt{3} \left| V_{jala-jala} \right| \left| I_{jala-jala} \right| \cos \varphi \dots \dots \dots \quad (2.2)$$

2.6.2. Daya Reaktif (*Reaktif Power*)^[6]

Daya reaktif dinyatakan dalam persamaan :

$$Q = |V| |I| \sin \varphi \dots \dots \dots \quad (2.3)$$

Daya reaktif untuk beban 3 fasa seimbang :

$$P = \sqrt{3} \left| V_{jala-jala} \right| \left| I_{jala-jala} \right| \sin \varphi \dots \dots \dots \quad (2.4)$$

2.6.3. Daya Komplek (*Complex Power*)^[6]

Daya kompleks dinyatakan dalam persamaan

$$S = |V| |I| \dots \dots \dots \quad (2.5)$$

Daya kompleks untuk beban 3 fasa seimbang :

$$S = \sqrt{3} \left| V_{jala-jala} \right| \left| I_{jala-jala} \right| \dots \dots \dots \quad (2.6)$$

Apabila fasor tegangan dan arus diketahui, untuk perhitungan daya nyata dan daya reaktif akan lebih mudah dalam bentuk kompleks. Apabila tegangan diantara kutub-kutub beban dan arus yang mengalir dalam beban dinyatakan dengan $V = |V| < \alpha$ dan $I = |I| < \beta$ maka hasil kali tegangan dengan konjugate arus adalah :

$$\text{VI}^* = |V| < \alpha \quad , \quad |I| < -\beta \quad \dots \dots \dots \dots \quad (2.7)$$

$$\text{VI}^* = |V| |I| < (\alpha - \beta) \quad \dots \dots \dots \dots \quad (2.8)$$

Merupakan besarnya daya kompleks dan ditandai dengan S. Dalam non polar dinyatakan sebagai :

$$S = |V| |I| \cos(\alpha - \beta) + j |V| |I| \sin(\alpha - \beta) \quad \dots \dots \dots \dots \quad (2.9)$$

Karena $\alpha - \beta$ merupakan sudut fasa antara tegangan dan arus, atau lebih mudah dikatakan θ , maka sesuai dengan persamaan sebelumnya :

$$S = P + jQ \quad \dots \dots \dots \dots \quad (2.10)$$

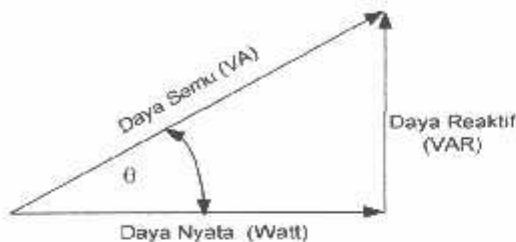
Daya reaktif Q apabila sudut $\alpha - \beta$ antara tegangan dan arus positif yaitu bila $\alpha > \beta$ yang berarti arus tertinggal dari tegangan. Sebaliknya daya reaktif Q akan bernilai negatif apabila $\alpha < \beta$ yang menunjukkan arus mendahului tegangan. Hal ini sesuai dengan pemilihan tanda positif untuk daya reaktif suatu rangkaian induktif dan tanda negatif untuk data reaktif rangkaian kapasitif. Untuk mendapatkan tanda yang sesuai bagi Q perlu menghitung $S = \text{VI}^*$ dan bukan $S = V^* I$ yang akan membalik tanda Q.

2.7. Faktor Daya ($\cos \theta$)^[6]

Faktor daya adalah suatu besaran yang dapat dinyatakan sebagai perbandingan antara komponen daya aktif (kW) dan daya semu (kVA), seperti persamaan :

$$\cos \theta = \frac{P}{S} \quad \dots \dots \dots \dots \quad (2.11)$$

Pada gambar 2.9 berikut ini dapat dilihat hubungan antara daya aktif, daya reaktif dan daya semu serta faktor daya.



Gambar 2-9. Segitiga Daya

Sumber : Ir. Hasan Basri, 1996, "Sistem Distribusi Tenaga Listrik," Balai Penerbit dan Humas ISTN

Dari gambar 2-9 diatas dapat diketahui, bahwa besarnya daya yang berasal dari sumber listrik tidak seluruhnya sampai ke konsumen, akan tetapi dipengaruhi oleh faktor daya ($\cos \theta$) yang merupakan cosinus sudut antara daya nyata atau aktif (kW) dan daya semu (kV Λ).

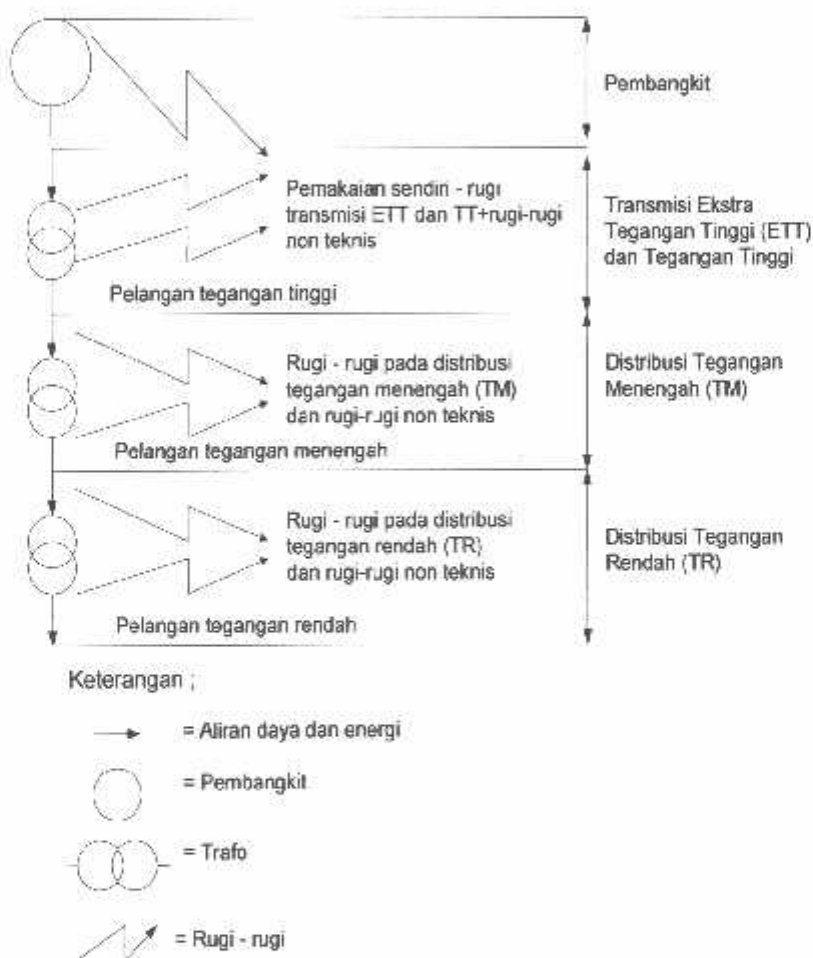
Dengan membesarnya daya reaktif pada keadaan daya aktif konstan sudut antara arus dan tegangan akan bertambah besar pula, sehingga faktor daya akan mengecil. Memburuknya faktor daya akan mengakibatkan bertambahnya kVA .

2.8. Rugi-Rugi Daya Saluran Distribusi^[6]

Rugi daya adalah besarnya daya yang hilang dalam proses penyaluran daya listrik. Rugi daya ini terdiri dari rugi daya aktif dan daya reaktif. Rugi-rugi ini dapat terjadi pada komponen-komponen umum pada sistem tenaga listrik seperti :

1. Rugi pada penyulang utama dan peralatan saluran.
2. Rugi pada trafo distribusi.

Dalam proses penyaluran energi listrik ke pelanggan terjadi rugi-rugi teknis (*losses*), yaitu rugi daya dan rugi energi, dimulai dari pembangkit, trasmisi dan distribusi. Rugi-rugi teknis adalah pada penghantar saluran, adanya tahanan dari penghantar yang dialiri arus maka akan timbul rugi-rugi teknis ($I^2 R$) pada jaringan tersebut. Rugi Rugi teknis dari jaringan tenaga listrik tergantung dari macam-macam pembebangan pada saluran tersebut



Gambar 2-10. Rugi – rugi Pada Bagian-bagian Sistem Tenaga Listrik

Sumber : Ir. Hasan Basri, 1996, "Sistem Distribusi Tenaga Listrik," Balai Penerbit dan Humas ISTN

2.9. Sistem Per-Unit.

Untuk memudahkan perhitungan-perhitungan dalam sistem tenaga listrik digunakan dalam sistem p.u. (*per-unit*) yang didefinisikan sebagai perbandingan harga yang sebenarnya dengan harga dasar (*base value*), sehingga dapat dirumuskan sebagai berikut :

$$\text{Besaran per-unit} = \frac{\text{besaran sebenarnya}}{\text{besaran dasar dengan kuantitas yang sama}} \dots\dots\dots(2.12)$$

Rumus-rumus yang digunakan untuk persamaan arus dasar dan impedansi dasar adalah :

- Untuk sistem 1 fasa

Arus dasar :

$$I_d = \frac{kVA \text{ dasar}_{1\phi}}{kV \text{ dasar}_{L-N}} \dots\dots\dots(2.13)$$

Impedansi dasar :

$$Z_d = \frac{(kV \text{ dasar}_{L-N})^2 \times 1000}{kVA \text{ dasar}_{1\phi}} \dots\dots\dots(2.14)$$

$$Z_d = \frac{(kV \text{ dasar}_{L-N})^2}{MVA \text{ dasar}_{1\phi}} \dots\dots\dots(2.15)$$

- Untuk sistem 3 fasa

Arus dasar :

$$I_d = \frac{kVA \text{ dasar}_{3\phi}}{\sqrt{3} \times kV \text{ dasar}_{L-L}} \dots\dots\dots(2.16)$$

Impedansi dasar :

$$Z_d = \frac{(\text{kV dasar L-L})^2 \times 1000}{\text{kVA dasar}_{3\Phi}} \dots\dots\dots(2.17)$$

$$Z_d = \frac{(\text{kV dasar L-L})^2}{\text{MVA dasar}_{3\Phi}} \dots\dots\dots(2.18)$$

Dalam persamaan diatas nilai-nilai besaran diberikan untuk rangkaian satu fasa. Jadi tegangannya adalah tegangan antara fasa dengan tanah dan daya dengan setiap fasa.

Setelah besaran-besaran dasar telah ditentukan maka besaran-besaran itu dinormalisasikan terhadap besaran dasar. Dengan demikian impedansi persatuan didefinisikan sebagai berikut :

$$Z = \frac{\text{impedansi sebenarnya } Z (\Omega)}{\text{impedansi dasar } Z_d} \text{ pu} \dots\dots\dots(2.19)$$

2.10. Mengubah Dasar Sistem Per-Unit

Impedansi per-unit untuk suatu komponen dari suatu sistem terkadang dinyatakan menurut dasar yang berbeda dengan dasar yang dipilih untuk bagian dari sistem dimana komponen tersebut berada. Karena semua impedansi dalam bagian manapun dari suatu sistem harus dinyatakan dengan dasar impedansi yang sama, maka dalam perhitungannya kita perlu mempunyai cara untuk dapat mengubah impedansi per-unit dari suatu dasar ke dasar yang lain. Dengan mensubstitusikan impedansi dasar yang diberikan dalam persamaan (2.15) dan (2.18) ke dalam persamaan (2.19) maka diperoleh:

$$Z_u = \frac{(\text{Impedansi sebenarnya, } \Omega) \cdot (\text{MVA dasar})}{(\text{Tegangan dasar, kV})^2} \dots\dots\dots(2.20)$$

Persamaan (2.20) memperlihatkan bahwa impedansi per-unit berbanding lurus dengan MVA dasar serta berbanding terbalik dengan kuadrat tegangan dasar. Untuk mengubah dari impedansi per-unit menurut suatu dasar yang diberikan menjadi impedansi per-unit menurut suatu dasar yang baru, dapat dipakai persamaan berikut:

$$Z_{\text{baru per-unit}} = Z_{\text{diberikan per-unit}} \left(\frac{kV_{\text{diberikan dasar}}}{kV_{\text{baru dasar}}} \right)^2 \times \left(\frac{\text{MVA}_{\text{baru dasar}}}{\text{MVA}_{\text{diberikan dasar}}} \right) \dots\dots(2.21)$$

Persamaan ini tidak ada hubungannya dengan pemindahan nilai impedansi dalam ohm dari salah satu sisi transformator ke sisi yang lain.

BAB III

ALIRAN DAYA DENGAN PENDEKATAN PEMODELAN BEBAN

3.1. Umum

Dengan semakin kompleksnya problem di dalam sistem tenaga listrik, sebagai akibat dari meningkatnya permintaan konsumen, bertambahnya jumlah saluran transmisi dan distribusi, maka perlu adanya studi aliran daya dalam analisa sistem. Tujuan mempelajari aliran daya ini antara lain :

1. Untuk mendapatkan aliran daya aktif dan reaktif pada cabang-cabang rangkaian
2. Untuk mengetahui rangkaian yang mempunyai beban lebih dan tegangan busbar dalam batas-batas yang dapat diterima.
3. Untuk mengetahui pengaruh penambahan atau perubahan pada suatu sistem.
4. Untuk mengetahui pengaruh hilangnya hubungan dalam keadaan darurat.
5. Untuk mengetahui kondisi optimum pembebanan sistem.
6. Untuk mengetahui keterlengkapan daya optimum sistem.

3.2. Pendekatan Studi Aliran Daya

Di dalam pengoperasian sistem tenaga listrik, parameter-parameter listrik yang perlu diperhatikan sehubungan dengan analisa aliran daya adalah besarnya magnitude tegangan $|V|$, sudut fasa tegangan (θ), daya nyata (P) dan daya reaktif

(Q). Daya nyata (P) mempunyai ketergantungan yang kuat dengan sudut fasa tegangan (θ) dan daya reaktif (Q) mempunyai ketergantungan yang kuat dengan besarnya magnitude tegangan $|V|$. Bila P dan Q berubah, maka θ dan $|V|$ akan berubah pula dan demikian sebaliknya.

Selain itu dibutuhkan juga data saluran yang merupakan perkalian antara panjang saluran dan pengantar yang digunakan. Data ini dipakai untuk membentuk impedansi saluran.

Dalam skripsi ini data saluran didapatkan dari hasil survey lapangan dan referensi lainnya. Data yang dibutuhkan berupa Induktansi (L) dan Resistansi (R) dalam impedansi saluran, Induktansi (L) akan berupa reaktansi induktif.

3.3. Klasifikasi Bus

Pada setiap simpul (rel atau bus) terdapat parameter-parameter sebagai berikut :

1. Daya nyata, diyatakan dengan P satuannya Megawatt (MW).
2. Daya reaktif, dinyatakan dengan Q satuannya Mega Volt Ampere Reaktif (MV λ R).
3. Besar (*magnitude*) tegangan mempunyai symbol $|V|$ dengan satuan kiloVolt (kV).
4. Sudut fasa tegangan mempunyai symbol δ dengan satuan radian.

Dalam analisis aliran daya, pada setiap busnya perlu diketahui 2 parameter dari keseluruhan 4 parameter yang diperhitungkan. Dengan melihat kedua

parameter yang diketahui, setiap bus dalam suatu sistem dapat diklasifikasikan menjadi tiga yaitu :

1. Bus referensi atau *slack bus*
2. Bus generator.
3. Bus beban atau *load bus*.

3.3.1. Slack Bus / Swing Bus

Pada bus ini nilai $|V|$ dan θ ditentukan besarnya sementara P dan Q dihitung. Biasanya nilai $|V|$ adalah 1 pu dan sudut fasa tegangan (θ) berharga nol derajat (0°), karena pada bus ini fasor tegangan dipakai sebagai referensi.

3.3.2. P-V Bus / Generator Bus.

Pada generator bus ini hanya terdapat daya pembangkitan dimana parameter P (daya aktif) dan $|V|$ diketahui sementara Q (daya reaktif) dan sudut fasa (θ) dihitung.

3.3.3. P-Q Bus / Load Bus.

Load bus adalah suatu bus yang hanya ada penyerapan daya. Pada bus ini terhubung dengan beban-beban dimana P (daya aktif) dan Q (daya reaktif) diketahui, sedangkan magnitude tegangan $|V|$ dan sudut fasa tegangan (θ) merupakan dua besaran yang akan dihitung nilainya. Namun dalam metode ini θ dianggap 0 karena nilainya sangat kecil.

3.4. Analisa Topologi Jaringan Radial^[9]

3.4.1. Topologi Jaringan Radial^[9]

Pada umumnya hampir seluruh jaringan distribusi berstruktur radial, dibanding dengan struktur jaringan yang lain maka struktur jaringan radial memiliki kekhususan yang dapat dimanfaatkan untuk mempermudah pemecahan masalah-masalah dalam menganalisa jaringan radial.

Kekhususannya tersebut adalah sebagai berikut :

1. Jaringan radial hanya memiliki satu node sebagai sumber daya dan untuk selanjutnya kita sebut sebagai node 0.
2. Node-node lainnya di dalam jaringan merupakan node beban, berarti bahwa seluruh node dalam sistem jaringan akan mempunyai injeksi arus negatif kecuali pada node 0. Injeksi arus adalah positif sebab merupakan satu-satunya sumber daya.

Pada umumnya jaringan distribusi hantaran udara mempunyai saluran relatif pendek sehingga efek kapasitansi saluran dapat diabaikan. Dengan demikian saluran dapat dipresentasikan sebagai saluran 2 kutub. Untuk jaringan distribusi yang menggunakan kabel tanah dimana efek kapasitansi harus diperhitungkan, maka jaringan yang harus dipresentasikan sebagai jaringan 4 kutub.

Berdasarkan prinsip transformasi 4 kutub ke 2 kutub analisa tetap bisa dilakukan dengan mempresentasikan jaringan dalam representasi 2 kutub. Pada suatu jaringan radial dengan :

$$b = n - 1 \dots \dots \dots \dots \quad (3-1)$$

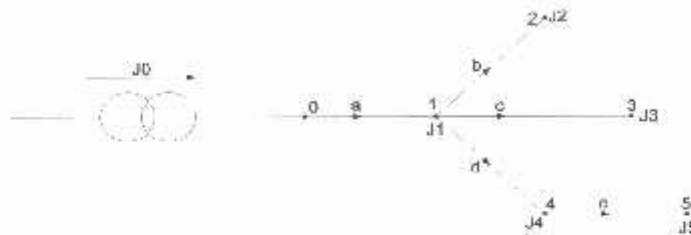
$n = \text{jumlah node}$

$b = \text{jumlah cabang}$

contoh :

untuk $n = 6 \rightarrow (0,1,2,3,4,5)$ dan

$b = 5 \rightarrow (a,b,c,d,e)$ maka topologinya adalah:

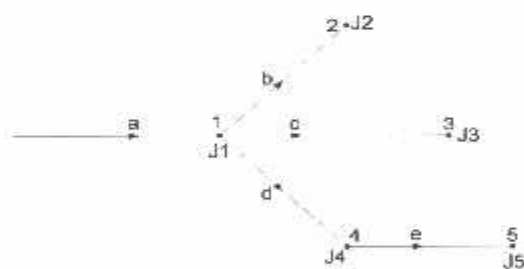


Gambar 3-1. Topologi Jaringan Radial

Karena : $J_0 = I\alpha$

$$- - - (J_1 + J_2 + J_3 + J_4 + J_5) \dots \dots \dots \dots \dots \dots \quad (3.2)$$

maka node 0 dapat dieliminasi dan topologi jaringan radial dapat diberikan pada gambar 3-2



Gambar 3-2. Topologi Jaringan Radial Setelah Node di Eliminasi

3.4.2. Matriks Topologi Jaringan Radial^[9]

Matriks Topologi Jaringan $[T]$ dari jaringan gambar 3-1 berdimensi 5×6 ,

dimana :

| | b | a | b | c | d | e |
|--|---|----|----|----|----|----|
| | | 01 | 12 | 13 | 14 | 45 |

$[T] =$

| | | | | | |
|---|----|----|----|----|----|
| 1 | -1 | 1 | 1 | 1 | 0 |
| 2 | 0 | -1 | 0 | 0 | 0 |
| 3 | 0 | 0 | -1 | 0 | 0 |
| 4 | 0 | 0 | 0 | -1 | 1 |
| 5 | 0 | 0 | 0 | 0 | -1 |
| 0 | 1 | 0 | 0 | 0 | 0 |

Setelah baris *node 0* dieliminir seperti topologi jaringan pada gambar 3-2, maka matriks topologi jaringan radial $[TR]$ akan berdimensi 5×5 , dimana :

| | b | a | b | c | d | e |
|--|---|----|----|----|----|----|
| | | 01 | 12 | 13 | 14 | 45 |

$[T] =$

| | | | | | |
|---|----|----|----|----|----|
| 1 | -1 | 1 | 1 | 1 | 0 |
| 2 | 0 | -1 | 0 | 0 | 0 |
| 3 | 0 | 0 | -1 | 0 | 0 |
| 4 | 0 | 0 | 0 | -1 | 1 |
| 5 | 0 | 0 | 0 | 0 | -1 |

Matriks Topologi Jaringan Radial $[TR]$ di atas memiliki ciri-ciri sebagai berikut :

1. Seluruh elemen diagonal bernilai -1
2. Seluruh elemen di bawah diagonal bernilai 0
3. Seluruh elemen di atas diagonal bernilai 0 atau 1
4. Matriks merupakan bujur sangkar $(n-1) \times (n-1)$

Matriks $[TR]$ memberikan hubungan antara arus injeksi pada *node* (tidak termasuk *node* sumber) dengan arus yang mengalir pada cabang dari jaringan.

$$\begin{array}{c|c|c}
 \begin{matrix} J_1 \\ J_2 \\ J_3 \\ J_4 \\ J_5 \end{matrix} & = & \begin{matrix} -1 & 1 & 1 & 1 & 0 \\ 0 & -1 & 0 & 0 & 0 \\ 0 & 0 & -1 & 0 & 0 \\ 0 & 0 & 0 & -1 & 1 \\ 0 & 0 & 0 & 0 & -1 \end{matrix} & \begin{matrix} I_a \\ I_b \\ I_c \\ I_d \\ I_e \end{matrix} \\
 \hline
 (n-1) \times 1 & (n-1) \times (n-1) & & (n-1) \times 1
 \end{array} \dots (3.3)$$

3.5 Aliran Daya Pada Jaringan Radial^[9]

Pengertian analisa aliran daya pada jaringan radial dapat didefinisikan sebagai besarnya aliran daya atau arus yang mengalir pada setiap cabang dari struktur jaringan, tujuan analisa aliran daya ini adalah:

1. Untuk mengetahui besarnya arus atau daya yang mengalir pada setiap cabang dari struktur jaringan.

2. Untuk mengetahui besar rugi-rugi daya aktif dan reaktif pada setiap cabang dari saluran
3. Untuk mengetahui besarnya tegangan pada setiap node dari sistem jaringan
4. Sebagai analisa dasar dalam menentukan analisa selanjutnya seperti analisa hubungan singkat dan analisa ekonomis

Hubungan antara arus injeksi dan arus cabang dalam persamaan matrikal:

$$[J] = [TR] [I] \dots \dots \dots \dots \quad (3.4)$$

Karena setiap *node* dalam sistem merupakan *node* cabang, maka arus injeksi akan berharga negatif dan dapat ditulis :

$$K_i = - J_i$$

Dimana : K_i = arus injeksi negatif pada node i

Berdasarkan persamaan (3.4) arus cabang dapat dihitung sebagai berikut :

$$\begin{aligned}[I] &= [TR]^{-1} [J] \\ &= - [TR]^{-1} [K] \\ &= [A] [K] \dots \dots \dots \dots \quad (3.5)\end{aligned}$$

$$[A] [K] = [-1] \dots \dots \dots \dots \quad (3.6)$$

dimana :

$[K]$ = matriks kolom arus injeksi negatif

$[A]$ = matriks topologi invers jaringan radial

$[-1]$ = matriks kesatuan negatif

Dengan memperhatikan topologi jaringan radial pada gambar 3-2, dapat ditulis sekumpulan persamaan sebagai berikut :

$$I_c = -J_s \quad = K_s$$

$$I_d = I_c - J_4 \quad = -J_4 - J_5 \quad = K_4 + K_5$$

$$I_e = -J_3 \quad = K_3$$

$$I_b = -J_2 \quad = K_2$$

$$I_a = -J_1 + I_b + I_c + I_d \quad = K_1 + K_2 + K_3 + K_4 + K_5$$

Dalam persamaan matriks :

| | | | | | | |
|-------|---|---|---|---|---|---|
| I_1 | = | 1 | 1 | 1 | 1 | 0 |
| I_2 | | 0 | 1 | 0 | 0 | 0 |
| I_3 | | 0 | 0 | 1 | 0 | 0 |
| I_4 | | 0 | 0 | 0 | 1 | 1 |
| I_5 | | 0 | 0 | 0 | 0 | 1 |

| | |
|-------|--|
| K_1 | |
| K_2 | |
| K_3 | |
| K_4 | |
| K_5 | |

...(3.7)

Dan dalam bentuk persamaan matriks sederhana :

$$[I] - [A][K](3.8)$$

Matriks $[A]$ disebut sebagai Matriks Topologi Invers Jaringan Radial

Dengan memperhatikan persamaan (3.6) matriks $[A]$ dapat diturunkan melalui persamaan :

$$[A] = [-1][TR]^{-1}(3.9)$$

Dengan mengamati persamaan (3.7), maka matriks $[A]$ dapat diturunkan secara langsung, seperti halnya matriks topologi $[T]$ dengan ketentuan sebagai berikut :

1. Kebalikan dari matriks topologi $[T]$, maka pada matriks $[A]$ indeks baris berkaitan dengan cabang dan injeksi kolom berkaitan dengan *node*
2. Elemen matriks $[A]$ bernilai +1, bila arus yang sampai ke *node n* melewati cabang *b*
3. Elemen matriks $[A]$ bernilai 0, bila ketentuan 2 diatas tidak dipenuhi

Matriks $[A]$ dari jaringan gambar (3-2) dan yang terlihat pada persamaan (3.6), tidak ditemukan pula melalui persamaan (3.9) tetapi dapat diturunkan secara langsung dengan struktur sebagai berikut :

| n | 1 | 2 | 3 | 4 | 5 |
|------|---|---|---|---|---|
| b | | | | | |
| 01 a | 1 | 1 | 1 | 1 | 1 |
| 12 b | 0 | 1 | 0 | 0 | 0 |
| 13 c | 0 | 0 | 1 | 0 | 0 |
| 14 d | 0 | 0 | 0 | 1 | 1 |
| 15 e | 0 | 0 | 0 | 0 | 1 |

Ciri-ciri matriks $[A]$ ini adalah :

1. Seluruh elemen diagonal bernilai +1
2. Seluruh elemen dibawah diagonal bernilai 0
3. Elemen-elemen diatas diagonal bernilai 0 atau +1

3.6. Metode Newton Raphson ^[6]

Secara matematis persamaan aliran daya dapat diselesaikan dengan menggunakan koordinat rectangular, koordinat polar atau bentuk *hybrid*. Dalam pembahasan skripsi ini memakai persamaan aliran daya *Newton Raphson* yang menggunakan koordinat polar.

Persamaan daya aktif dan reaktif pada bus i adalah :

$$P_i = \sum_{k=1}^n |V_i V_k Y_{ik}| \cos(\delta_i - \delta_k - \theta_{ik}) \dots \quad (3.10)$$

$$Q_i = \sum_{k=1}^n |V_i V_k Y_{ik}| \sin(\delta_i - \delta_k - \theta_{ik}) \dots \quad (3.11)$$

Kedua persamaan (3.10) dan (3.11) di atas akan menghasilkan suatu kumpulan persamaan yang tidak linier untuk setiap simpul sistem tenaga listrik.

Untuk mengetahui magnitude tegangan ($|V|$) dan sudut fasa (δ) disetiap simpul dapat dicarai dengan menggunakan persamaan di atas yang dilinierkan dengan metode *Newton Raphson* dibawah ini :

$$\begin{bmatrix} \Delta P \\ \Delta Q \end{bmatrix} = \begin{bmatrix} H & N \\ M & L \end{bmatrix} \begin{bmatrix} \Delta \delta \\ \Delta |V| \end{bmatrix} \dots \quad (3.12)$$

dimana :

ΔP : Selisih injeksi netto daya aktif dengan jumlah aliran daya aktif tiap saluran yang menghubungkan simpul dengan $|V|$ yang didapat dari perhitungan iterasi ke- k .

ΔQ : Selisih injeksi netto daya reaktif dengan jumlah aliran daya reaktif tiap saluran yang menghubungkan simpul dengan $|V|$ yang didapat dari perhitungan iterasi ke- k .

$\Delta\delta$: Vektor koreksi sudut fasa tegangan

$\Delta|V|$: Vektor koreksi magnitude tegangan

H, L, M, N merupakan elemen-elemen off diagonal dan diagonal dari submatrik Jacobian yang dibentuk dengan mendefinisikan persamaan (3.10) dan (3.11).

Dimana :

$$H_{ik} = \frac{\partial P_i}{\partial \delta_k} \quad N_{ik} = \frac{\partial P_i}{\partial |V_k|}$$

$$M_{ik} = \frac{\partial Q_i}{\partial \delta_k} \quad L_{ik} = \frac{\partial Q_i}{\partial |V_k|}$$

Adapun rumus dari elemen matrik Jacobian adalah :

Untuk II :

$$\frac{\partial P_i}{\partial \delta_k} = |V_i V_k Y_{ik}| \sin(\delta_i - \delta_k - \theta_{ik}) \quad i \neq k \quad (3.13)$$

$$\frac{\partial P_i}{\partial \delta_k} = - \sum_{\substack{k=1 \\ k \neq i}}^n |V_i V_k Y_{ik}| \sin(\delta_i - \delta_k - \theta_{ik}) \quad (3.14)$$

Untuk N :

$$\frac{\partial P_i}{\partial |V_k|} = |V_i V_k Y_{ik}| \cos(\delta_i - \delta_k - \theta_{ik}) \quad i \neq k \quad (3.15)$$

$$\frac{\partial P_i}{\partial |V_k|} = 2 |V_i Y_{ii}| \cos \theta_{ii} + \sum_{\substack{k=1 \\ k \neq i}}^n |V_i Y_{ik}| \cos(\delta_i - \delta_k - \theta_{ik}) \quad (3.16)$$

Untuk M :

$$\frac{\partial Q_i}{\partial \delta_k} = |V_i V_k Y_{ik}| \cos(\delta_i - \delta_k - \theta_{ik}) \quad i \neq k \quad (3.17)$$

$$\frac{\partial Q_i}{\partial \delta_k} = - \sum_{\substack{k=1 \\ k \neq i}}^n |V_i V_k Y_{ik}| \cos(\delta_i - \delta_k - \theta_{ik}) \quad (3.18)$$

Untuk L :

$$\frac{\partial Q_i}{\partial |V_k|} = |V_i V_k Y_{ik}| \sin(\delta_i - \delta_k - \theta_{ik}) \quad i \neq k \quad (3.19)$$

$$\frac{\partial Q_i}{\partial |V_k|} = 2 |V_i Y_{ii}| \sin \theta_{ii} + \sum_{\substack{k=1 \\ k \neq i}}^n |V_i Y_{ik}| \sin(\delta_i - \delta_k - \theta_{ik}) \quad (3.20)$$

Untuk menghitung selisih daya, maka mula-mula ditentukan harga awal tegangan simpul dan sudut fasanya, kemudian daya aktif dan reaktif dihitung dengan menggunakan persamaan (3.10) dan (3.11). Selisih daya antara daya yang telah ditentukan dengan daya hasil perhitungan ini merupakan perubahan daya yang terjadi pada simpul.

Magnitude tegangan dan sudut fasa yang diasumsikan ($|V|$) dan (δ) serta selisih daya yang dihitung (ΔP_i dan ΔQ_i) digunakan untuk memperoleh elemen-elemen matrik Jacobian.

Persamaan (3.16) diselesaikan untuk menghitung vektor koreksi magnitude tegangan ($\Delta |V|$) dan sudut fasa tegangan ($\Delta \delta$) yang baru sehingga diperoleh harga magnitude tegangan dan sudut fasa yang baru :

$$|V^{k+1}| = |V|^k + \Delta |V|^k \quad \dots\dots\dots (3.21)$$

$$\Delta^k \delta^{k+1} = \delta^k + \Delta \delta^k \quad \dots\dots\dots (3.22)$$

Proses perhitungan akan berulang sampai selisih daya aktif dan reaktif antara yang dijadwalkan dan dihitung, yaitu ΔP dan ΔQ untuk semua simpul mendekati nilai toleransi atau proses perhitungan iterasi mencapai konvergen.

3.7. Metode *Incorporating Composite Load Models*^[1]

3.7.1. Pemodelan Beban^[1]

Dalam sistem tenaga, daya mengalir dari pusat-pusat pembangkit ke pusat-pusat beban. Dalam proses ini banyak hal yang perlu diperhatikan antara lain keadaan tegangan setiap titik/rel dan aliran daya dalam saluran.

Tegangan hasil perhitungan pada setiap titik/rel yang digunakan untuk menentukan hasil aliran daya dapat ditentukan dengan pendekatan pemodelan beban.

Umumnya pada beberapa metode aliran daya sebuah beban dianggap sebagai daya aktif dan reaktif yang konstan. Hal ini dikenal dengan model beban daya konstan dan tidak dipengaruhi *magnitude* tegangan. Dengan kata lain selain sebagai model daya beban daya konstan, sebuah beban dapat dimodelkan sebagai impedansi konstan dan arus konstan. Pada model beban arus konstan daya aktif dan daya reaktif pada beban berubah secara linier terhadap *magnitude* tegangan. Pada model beban impedansi konstan, daya aktif dan daya reaktif berubah secara kuadratik terhadap *magnitude* tegangan.

Pernyataan umum untuk daya aktif dan reaktif yang nyata pada suatu beban untuk model-model beban diatas adalah : (R.Ranjan, B. Venkatesh and D. Das, Vol.23 No.1 2003)

$$P^0(m2) = P(m2)(\alpha_0 + \alpha_1 V + \alpha_2 V^2 + \alpha_3 V^{*2}) \dots\dots\dots(3.23)$$

$$Q^0(m2) = Q(m2)(\beta_0 + \beta_1 V + \beta_2 V^2 + \beta_3 V^{*2}) \dots\dots\dots(3.24)$$

Variasi daya aktif dan reaktif dengan *magnitude* tegangan yang mempunyai karakteristik berbeda digunakan pada bentuk *eksponensial* untuk komponen aktif dan reaktif pada beban daya diatas. Didalam algoritma nilai $e_1 = 1.38^{[1]}$ dan $e_2 = 3.22^{[1]}$, sedangkan nilai aktual dari α dan β adalah sebagai berikut:

$$\alpha_0 + \alpha_1 + \alpha_2 + \alpha_3 = 1.0 \dots\dots\dots(3.25)$$

$$\beta_0 + \beta_1 + \beta_2 + \beta_3 = 1.0 \dots\dots\dots(3.26)$$

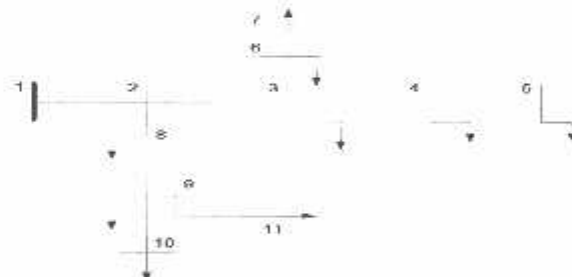
Berdasarkan referensi jurnal "Voltage Stability for Radial Distribution Networks", IE(I) Journal-EL, Vol. 84, Des 2003.^[7] Pengabungan model beban dengan metode *Incorporating Composite Load Models* seperti pada persamaan

(3.23) dan (3.24) mempunyai komposisi 40% untuk model beban daya konstan, 30% model beban arus konstan dan 30% model beban impedansi konstan.

3.7.2. Persamaan Aliran Daya dengan Model Beban¹¹

Struktur pada sistem distribusi seperti sebuah pohon dengan beberapa cabang dan dahan seperti terlihat pada gambar dibawah. Struktur umum dari sistem distribusi ini (satu sumber dan konfigurasi radial) telah dimanfaatkan sepenuhnya untuk mengembangkan beberapa metode aliran daya yang efisien. Pada skripsi ini dibahas persamaan aliran daya pada sistem distribusi radial dengan satu sumber, satu penyulang utama, beberapa saluran dan sub saluran. Untuk sebuah sistem yang seperti itu jumlah cabang n_b dan jumlah bus-nya n dihubungkan melalui :

$$n_b = n - 1 \dots\dots\dots\dots\dots (3.27)$$



Gambar 3-3. Jaringan Distribusi Radial

Sumber : R.Ranjan, B. Venkatesh and D. Das, "Load-Flow Algorithm of Radial Distribution Network Incorporating Composite Load Model", International Journal of Power an Energi Systems, Vol.23 No.1 2003

Dari gambar diatas, saluran j pada sistem distribusi terhubung antara rel m1 dan rel m2, rel m1 adalah sumber /rel utama. Impedansi saluran seri pada saluran masing-masing adalah ($R(j) + jX(j)$)



Gambar 3-4. Persamaan Elektrik Jaringan Distribusi Radial

Sumber : R.Ranjan, D. Venkatesh and D. Das, "Load-Flow Algorithm of Radial Distribution Network Incorporating Composite Load Model", International Journal of Power an Energi Systems, Vol.23 No.1 2003

Persamaan daya aktif dan reaktif yang menuju rel m2 adalah $P(m2)$ dan $Q(m2)$. Berdasarkan pertimbangan m2= 2 pernyataan matematika untuk $P(m2)$ dan $Q(m2)$, perhitungannya diberikan di bawah ini:

$$P(2) = \sum_{i=2}^{NB} PL(i) + \sum_{i=2}^{NB-1} LP(i) \dots \quad (3.28)$$

$$Q(2) = \sum_{i=2}^{NB} QL(i) + \sum_{i=2}^{NB-1} LQ(i) \dots \quad (3.29)$$

dimana:

$PL(i)$ = daya beban nyata dari i^{th} node

$QL(i)$ = daya beban reaktif dari i^{th} node

$LP(i)$ = rugi daya nyata dari cabang-i

$LQ(i)$ = rugi daya reaktif dari cabang-i

Suatu model matematika dari jaringan distribusi radial [6] dapat dengan mudah diperoleh dari gambar 3-4 diatas :

$$I(j) = \frac{|V(m1)| < \delta(m1) - |V(m2)| < \delta(m2)}{Z(j)} \dots \quad (3.30)$$

dan

$$P(m2) - jQ(m2) = V^*(m2) * I(j) \dots \quad (3.31)$$

dimana $Z(j) = R(j) + jX(j)$, dan m1 dan m2 rel sumber/pengirim dan rel penerima akhir yang berturut-turut.

$P(m2)$ = penjumlahan daya beban nyata dari semua node di luar *node m2*
ditambah daya beban nyata *node m2* itu sendiri ditambah rugi-rugi
daya nyata dari semua cabang di luar *node m2*.

$Q(m2)$ = penjumlahan daya beban reaktif dari semua node di luar *node m2*
ditambah daya beban reaktif *node m2* itu sendiri ditambah jumlah
rugi-rugi daya reaktif dari semua cabang di luar *node m2*.

Dari persamaan (3.30) dan (3.31) diperoleh :

$$|V(m2)| = \sqrt{\{B(j) - A(j)\}} \dots\dots\dots(3.32)$$

dimana

$$A(j) = P(m2) * R(j) + Q(m2) * X(j) - 0.5 * |V(m1)|^2 \dots\dots\dots(3.33)$$

$$B(j) = \sqrt{\{A^2(j) - \{Z^2(j) * \{P^2(m2) + Q^2(m2)\}\}\}} \dots\dots\dots(3.34)$$

Karena dalam metode penggabungan model beban ini dipertimbangkan untuk sistem, maka tegangan awal ($|V(i)| = 1.0$ p.u. untuk $i = 1 \dots NB$). Penggunaan (3.32) untuk menghitung tegangan pada masing-masing yang terhubung dengan node akhir. Tegangan baru dibandingkan tegangan lama pada setiap iterasi, dan jika *error* kurang dari 0.0001 p.u. untuk masing-masing *node* penyelesaiannya konvergen.

$$|V(m2) - V(m2)'| < 0.0001 \text{ pu} (\text{untuk } m2 = 1 \dots NB) \dots\dots\dots(3.36)$$

3.8. Algoritma Perhitungan

Analisa penyelesaian perhitungan tegangan tiap bus, aliran daya dan rugi-rugi daya tiap saluran dengan metode *Incorporating Composite Load Models* pada jaringan distribusi radial, mengikuti algoritma sebagai berikut :

1. Masukkan data saluran dan pembebanan
2. Memulai melakukan perhitungan waktu awal
3. Membentuk matrik $[A]$ menggunakan topologi jaringan radial dengan persamaan (3.9)
4. Mengasumsikan rugi-rugi saluran awal sama dengan 0, tegangan sumber sama dengan 1 pu dan iterasi dihitung mulai dari 0.
5. Menghitung pemodelan beban daya aktif dan daya reaktif awal dengan persamaan (3.23) dan (3.24)
6. Menghitung daya aktif dan daya reaktif tiap saluran dengan Metode *Backward* persamaan (3.28) dan (3.29)
7. Menghitung tegangan tiap bus dengan Metode *Forward* persamaan (3.32)
8. Mengecek konvergensi hasil perhitungan tegangan apakah hasilnya lebih kecil dari 0.0001 pu, bila tidak maka proses perhitungan diulangi dengan menambah iterasi semula + 1 sampai hasil yang didapat konvergen
9. Apabila konvergen, mengakhiri perhitungan waktu
10. Menghitung selisih perhitungan waktu akhir dengan perhitungan waktu awal
11. Cetak hasil

BAB IV

HASIL DAN ANALISIS HASIL

4.1. Umum

Perhitungan aliran daya banyak dilakukan dalam perencanaan sistem, perencanaan operasional, kontrol dan operasi. Pilihan suatu metode solusi untuk aplikasi praktis sering sulit, pilihan ini memerlukan analisis yang cermat atas kelebihan dan kekurangan pada banyak metode yang tersedia seperti karakteristik *convergence*, kecepatan dan penyimpangan (*error*).

Untuk solusi dari permasalahan-permasalahan diatas maka dipergunakan suatu alternatif metode yang disebut *Incorporating Composite Load Models*, dan kelebihan metode ini antara lain :

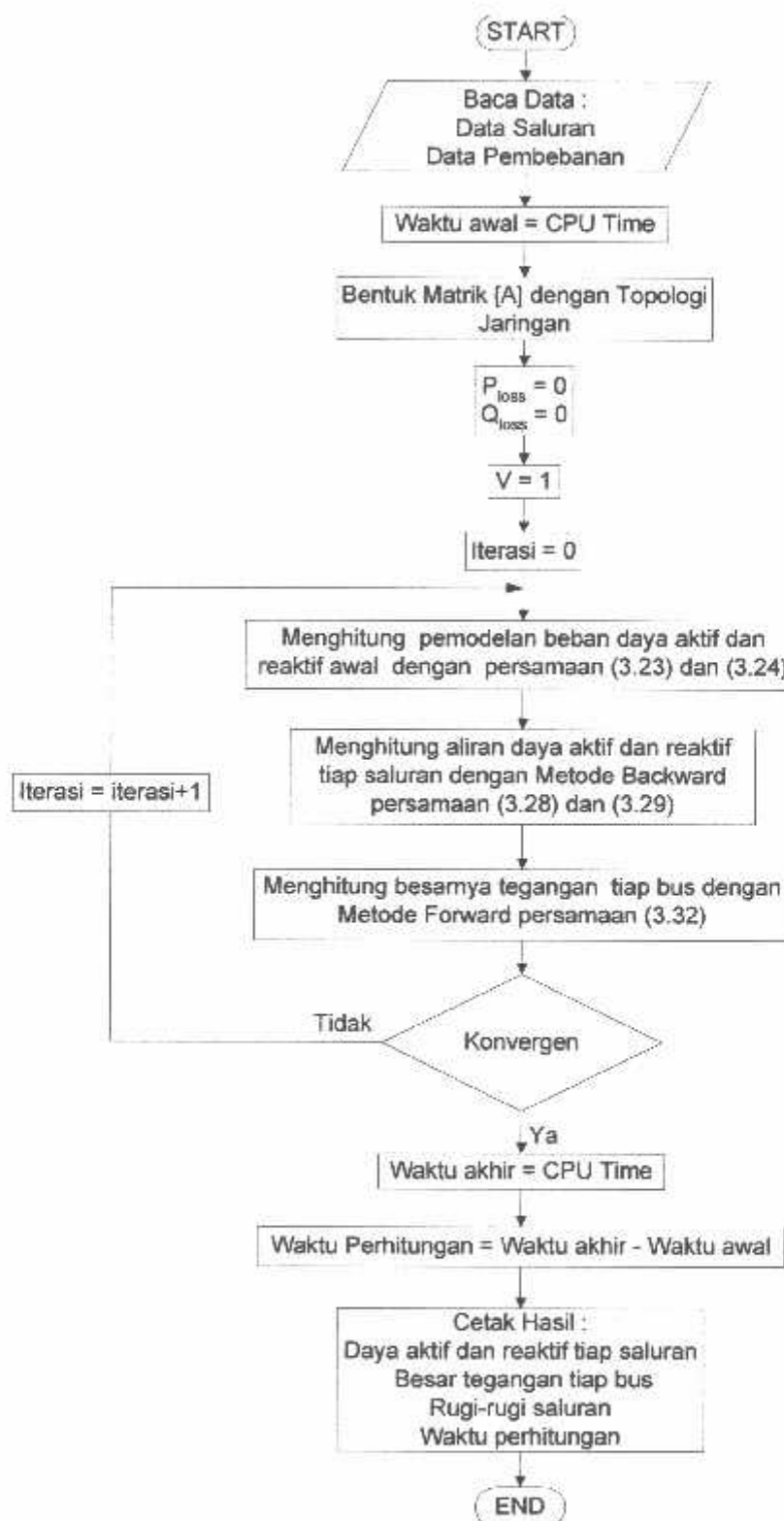
- Dapat dipakai untuk jaringan radial
- Perhitungan dengan metode ini lebih sederhana, sehingga konvergensi dari proses perhitungan akan tercapai lebih cepat
- Algoritma sederhana

Dalam perhitungan analisa aliran daya, kita bisa melakukan perhitungan secara manual dengan menggunakan program komputer. Apabila kita melakukan perhitungan secara manual maka kita perlu melakukan perhitungan sampai beberapa iterasi dan membutuhkan waktu yang lama, tetapi bila kita melakukan dengan program komputer maka perhitungan dengan beberapa/banyak iterasi dapat dilakukan secara otomatis sehingga tidak memerlukan waktu yang lama.

Pada prinsipnya penggunaan program komputer dapat menganalisa sebuah distribusi radial dengan jumlah cabang dan jumlah bus yang tidak terbatas, tergantung dari persediaan jumlah memori yang tersedia pada komputer yang digunakan.

Dalam penyusunan skripsi ini dilakukan beberapa tahapan, yaitu : tahap pertama mempelajari metode analisa daya yang digunakan untuk menghitung besar tegangan, aliran daya, rugi-rugi saluran. Tahap kedua adalah mencari data yang diperlukan sebagai penunjang dalam penyusunan skripsi ini dan data-data yang diperlukan adalah *single line diagram*, impedansi saluran dan data pembebanan rata-rata. Tahap ketiga yaitu mengolah data-data sebelum dimasukkan ke dalam program komputer. Tahap keempat yaitu pembuatan program komputer untuk menghitung aliran daya serta rugi-rugi daya dengan menggunakan program Matlab versi 6.1. Tahap kelima yaitu memasukkan data-data yang diperoleh kedalam program komputer.

4.2. Flowchart Penyelesaian Masalah



4.3. Data Perhitungan

Perhitungan aliran daya pada skripsi ini mengambil data dari GI Blimbings Malang yang melayani 9 (sembilan) buah penyulang, namun dalam skripsi ini hanya menganalisa satu penyulang saja, yaitu pada Penyulang Asahan. Sistem distribusi radial Penyulang Asahan memakai tegangan distribusi 20 kV. Untuk menyelesaikan perhitungan aliran daya terlebih dahulu ditetapkan *Single Line Diagram* yang akan dianalisa. Agar perhitungan lebih mudah maka digunakan sistem *per-unit* (pu), dimana dasar yang digunakan :

- Tegangan dasar : 20 kV
- Daya dasar : 100 kVA

Selanjutnya *node-node* yang ada diklasifikasikan, yaitu *Busbar* GI Blimbings diasumsikan sebagai *slack bus*, sedangkan *node-node* yang lain sepanjang saluran radial dipandang sebagai *load bus*. Dalam hal ini tidak ada bus generator karena sepanjang saluran tidak terdapat pembangkitan.

4.3.1. Data Saluran

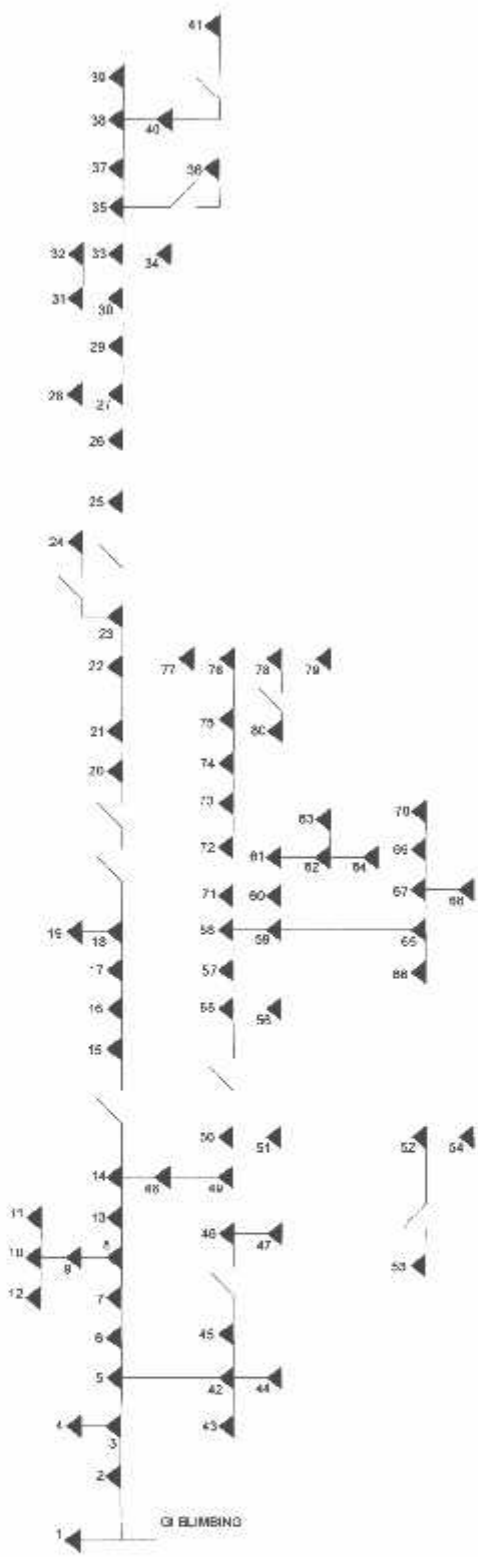
Jaringan distribusi primer GI Blimbings menggunakan saluran kabel udara dengan spesifikasi jenis konduktor yang digunakan seperti pada table 4-1 berikut :

Tabel 4-1

Data Jenis Konduktor Penyulang Asahan

| Jenis Konduktor | Penampang nominal (mm) ² | Impedansi Urutan Positif (Ω/km) | GMR (mm) | Kuat Hantar Arus (A) |
|-----------------|-------------------------------------|---------------------------------|----------|----------------------|
| AAAC | 150 | 0.2162+j0.3305 | 5.2365 | 425 |
| AAAC | 120 | 0.2688+j0.3378 | 4.6837 | 365 |
| AAAC | 70 | 0.4608+j0.3572 | 3.4262 | 255 |
| AAAC | 50 | 0.6452+j0.3678 | 2.8957 | 210 |

Sumber : PT. PLN (PERSEERO) Unit Bisnis Distribusi Jawa Timur Area Pelayanan Malang



Gambar 4-1. *Single Line Diagram Penyulang Asahan*

Sumber : PT PLN (PERSERO) Unit Distribusi Jawa Timur Area Pelayanan Malang

Untuk mengubah nilai impedansi saluran ke dalam satuan per-unit, maka sebelumnya harus ditentukan besarnya nilai impedansi dasar (Z_{dasar}) yang digunakan adalah :

$$Z_{\text{dasar}} = \frac{(Tegangan dasar, kV_{L-N})^2}{Dasar MVA_{16}} = \frac{20^2}{0,1} = 4000 \Omega$$

Sehingga besarnya nilai impedansi dalam satuan per-unit :

$$Z_{pu} = \frac{Z_{\Omega}}{4000}$$

Tabel 4-2

Data Impedansi Pada Tiap-tiap Saluran Penyulang Asahan

| No. Saluran | Dari node | Ke node | R (Ohm) | X (Ohm) | Panjang Saluran (m) |
|-------------|-----------|---------|----------|----------|---------------------|
| 1 | 1 | 2 | 0.117501 | 0.137560 | 405 |
| 2 | 2 | 3 | 0.111717 | 0.128036 | 376 |
| 3 | 3 | 4 | 0.154568 | 0.094196 | 92 |
| 4 | 3 | 5 | 0.010696 | 0.012259 | 36 |
| 5 | 5 | 6 | 0.014856 | 0.017026 | 50 |
| 6 | 6 | 7 | 0.001486 | 0.001703 | 5 |
| 7 | 7 | 8 | 0.009805 | 0.011237 | 33 |
| 8 | 8 | 9 | 0.024214 | 0.037016 | 112 |
| 9 | 9 | 10 | 0.001513 | 0.002314 | 7 |
| 10 | 10 | 11 | 0.010378 | 0.015864 | 48 |
| 11 | 10 | 12 | 0.003675 | 0.005619 | 17 |
| 12 | 8 | 13 | 0.018719 | 0.021453 | 63 |
| 13 | 13 | 14 | 0.016639 | 0.019069 | 56 |
| 14 | 14 | 15 | 0.136972 | 0.156980 | 461 |
| 15 | 15 | 16 | 0.013668 | 0.015664 | 46 |

Tabel 4-2. selengkapnya dapat dilihat pada lampiran

4.3.2. Data Pembelahan

Data pembelahan diperoleh dengan mengambil data dari masing-masing trafo distribusi dan persentase pembelahan dari tiap-tiap bus dengan asumsi bahwa sistem berada pada kondisi normal dengan faktor daya sebesar 0.85. Jika besarnya pembelahan adalah nol, maka pada node tidak terdapat trafo distribusi

tetapi hanya merupakan simpul (node penghubung). Pada tahap ini rugi-rugi yang terjadi pada trafo distribusi diabaikan. Contoh perhitungan dilakukan pada bus no. 2 sebagai berikut :

$$\text{Kapasitas Trafo} = 200 \text{ kVA}$$

$$\text{Beban Gardu} = 80.68\%$$

$$\text{Faktor Daya} - \cos \theta = 0.85$$

$$\sin \theta = 0.5267$$

$$\text{Pembebanan} = 200 \times 80.68\% = 161.36 \text{ kVA}$$

$$\text{Beban Aktif} = 161.36 \times \cos \theta = 161.36 \times 0.85 = 137.156 \text{ kW}$$

$$\text{Beban Reaktif} = 161.36 \times \sin \theta = 161.36 \times 0.5267 = 84.988 \text{ kVAR}$$

Dengan cara yang sama perhitungan dapat dilanjutkan untuk bus-bus yang lain, adapun data pembebanan seperti pada tabel 4-3.

Tabel 4-3

Data Pembebanan Pada Tiap-tiap Bus Penyalang Asahan

| No. Node | No. Gardu | Kapasitas (kVA) | Beban Gardu (%) | Data Beban | |
|-------------|--------------|--------------------|-----------------------|------------|-------------|
| | | | | P (kW) | Q (kVAR) |
| 1 | - | 0 | 0 | 0.00 | 0.00 |
| 2 | 39 | 200 | 80.68 | 137.16 | 84.99 |
| 3 | - | 0 | 0 | 0.00 | 0.00 |
| 4 | 267 | 100 | 80.24 | 68.20 | 42.26 |
| 5 | - | 0 | 0 | 0.00 | 0.00 |
| 6 | 125 | 160 | 137.56 | 187.08 | 115.92 |
| 7 | 124 | 100 | 33.96 | 28.89 | 17.90 |
| 8 | - | 0 | 0 | 0.00 | 0.00 |
| 9 | 128 | 160 | 19.95 | 27.13 | 16.81 |
| 10 | - | 0 | 0 | 0.00 | 0.00 |
| 11 | 623 | 200 | 17 | 28.90 | 17.91 |
| 12 | 757 | 630 | 70 | 374.85 | 232.27 |
| 13 | 622 | 100 | 88 | 74.80 | 46.35 |
| 14 | - | 0 | 0 | 0.00 | 0.00 |
| 15 | 286 | 200 | 70.41 | 119.70 | 74.17 |

Tabel 4-3. selengkapnya dapat dilihat pada lampiran

4.4. Analisa Perhitungan

Perhitungan aliran daya diawali dengan melakukan studi aliran daya dengan metode *Incorporating Composite Load Models*. Studi aliran daya dilakukan untuk mengetahui harga tegangan tiap-tiap bus. Setelah studi aliran daya dilakukan, barulah dilakukan perhitungan aliran daya dan rugi-rugi daya pada saluran.

Untuk memudahkan perhitungan dan analisa pada sistem tenaga, biasanya dipakai harga-harga dalam per-satuan. Harga per-satuan adalah harga yang sebenarnya dibagi dengan harga dasar. Harga yang dipilih pada studi aliran daya ini adalah 20 kV dan 100 kVA sebagai harga tegangan dasar dan daya dasar. Mengingat bahwa pada jaringan tidak dilakukan pengukuran faktor daya maka perhitungan ini diambil harga faktor daya sebesar 0,85.

4.5. Perhitungan Aliran Daya Penyulang

Perhitungan dapat dilakukan dengan menampilkan *single line diagram* dari penyulang yang mewakili keadaan sistem yang sesungguhnya. Dari gambar 4-1 diperlihatkan *single line diagram* dari penyulang Asahan. Pada penyulang ini jumlah bus dan jumlah saluran masing-masing adalah :

- ✓ Slack bus : 1
- ✓ Load bus : 80
- ✓ Jumlah saluran : 79

Dengan mengacu pada gambar 4-1 maka dapat dilakukan analisa perhitungan aliran daya pada penyulang Asahan. Perhitungan dimulai dengan menjumlahkan daya tiap-tiap node, dimulai dari node paling akhir sampai node

awal, dan diamsusikan tegangan awal adalah 1 pu atau 20 kV. Setelah semua daya pada setiap node dijumlahkan selanjutnya dilakukan dengan menghitung besar tegangan setiap node dengan memasukkan nilai daya yang baru, dimulai dari node paling awal sampai node akhir. Dengan menggunakan bantuan program komputer untuk analisa aliran daya metode *Incorporating Composite Load Models* maka didapatkan besar tegangan dan aliran daya tiap-tiap saluran serta besarnya rugi daya pada saluran penyulang Asahan seperti pada tabel 4-4 dan 4-5.

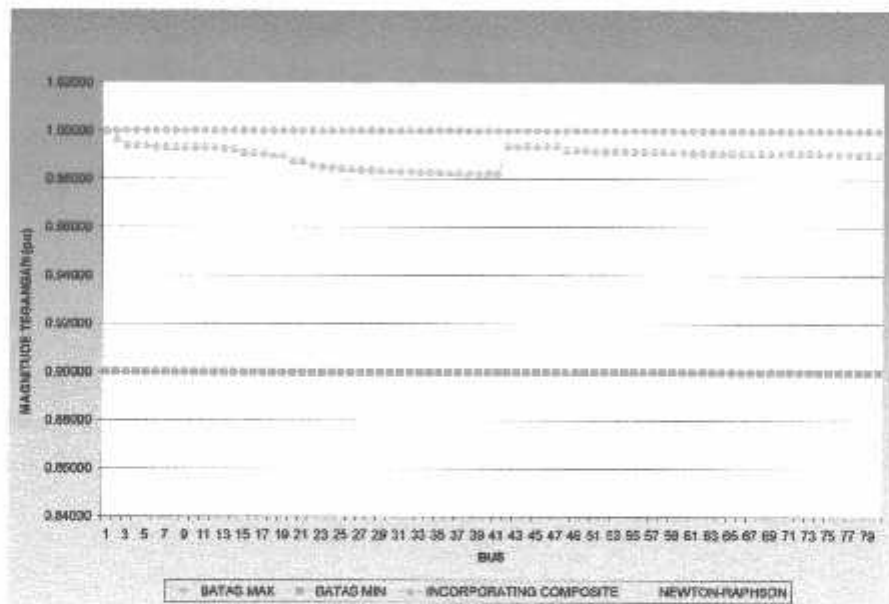
Tabel 4-4

Kondisi Tegangan Tiap-tiap Bus dengan Metode *Incorporating Composite Load Models* dan *Newton Raphson*

| <i>Incorporating Composite</i> | | <i>Newton-Raphson</i> | |
|--------------------------------|---------------|-----------------------|---------------|
| No. Bus | Tegangan (pu) | No. Bus | Tegangan (pu) |
| 1 | 1.00000 | 1 | 1.00000 |
| 2 | 0.99693 | 2 | 0.99691 |
| 3 | 0.99410 | 3 | 0.99407 |
| 4 | 0.99407 | 4 | 0.99403 |
| 5 | 0.99384 | 5 | 0.99380 |
| 6 | 0.99348 | 6 | 0.99345 |
| 7 | 0.99345 | 7 | 0.99341 |
| 8 | 0.99323 | 8 | 0.99319 |
| 9 | 0.99317 | 9 | 0.99313 |
| 10 | 0.99317 | 10 | 0.99313 |
| 11 | 0.99317 | 11 | 0.99313 |
| 12 | 0.99316 | 12 | 0.99312 |
| 13 | 0.99283 | 13 | 0.99279 |
| 14 | 0.99249 | 14 | 0.99244 |
| 15 | 0.99106 | 15 | 0.99099 |

Tabel 4-4 selengkapnya dapat dilihat pada lampiran

Disini terlihat pada hasil perhitungan tegangan pada masing-masing node nilainya mengalami penurunan dari asumsi tegangan awal yang digunakan yaitu 1 pu atau 20 kV. Dari tabel 4-4 dapat dilihat bahwa perubahan tegangan dari asumsi tegangan awal tiap-tiap node masih berkisar antara -10% sampai 5%. Ini berarti tegangan masih dalam batas-batas yang diijinkan, dengan tegangan terendah terjadi pada node ke 39(lihat lampiran), yang besarnya adalah 0.98244 pu atau 19.6488 kV untuk metode *Incorporating Composite Load Models*. Sedangkan untuk metode *Newton-Raphson* bcsarnya adalah 0.98226 pu atau 19.6452kV



Grafik 4-1. Perbandingan Tegangan Tiap-tiap Bus dengan Asumsi Tegangan Awal

Hasil perhitungan aliran daya untuk perhitungan pada sistem 20 kV dari hasil keluaran program dapat dilihat pada tabel-tabel berikut :

Tabel 4-5**Aliran Daya Tiap Saluran dengan Metode *Incorporating Composite Load Models* dan *Newton Raphson***

| No. Saluran | Dari Bus | Ke Bus | Incorporating Composite | | Newton-Raphson | |
|----------------|-------------|-----------|-------------------------|----------|----------------|----------|
| | | | P (kW) | Q (kVAR) | P (kW) | Q (kVAR) |
| 1 | 1 | 2 | 6011.736 | 3765.845 | 6065.296 | 3796.677 |
| 2 | 2 | 3 | 5860.072 | 3663.683 | 5913.094 | 3694.080 |
| 3 | 3 | 4 | 67.939 | 42.136 | 68.202 | 42.262 |
| 4 | 3 | 5 | 5778.610 | 3606.064 | 5831.230 | 3636.163 |
| 5 | 5 | 6 | 5509.539 | 3430.428 | 5561.319 | 3460.217 |
| 6 | 5 | 42 | 267.716 | 174.097 | 268.632 | 174.482 |
| 7 | 6 | 7 | 5321.869 | 3313.271 | 5372.626 | 3342.448 |
| 8 | 7 | 8 | 5292.901 | 3295.207 | 5343.585 | 3324.376 |
| 9 | 8 | 9 | 428.654 | 265.780 | 430.898 | 267.018 |
| 10 | 8 | 13 | 4863.182 | 3028.221 | 4911.703 | 3056.230 |
| 11 | 9 | 10 | 401.575 | 248.949 | 403.752 | 250.184 |
| 12 | 10 | 11 | 28.823 | 17.900 | 28.900 | 17.910 |
| 13 | 10 | 12 | 372.651 | 230.947 | 374.851 | 232.273 |
| 14 | 13 | 14 | 4787.206 | 2980.285 | 4835.315 | 3008.061 |
| 15 | 14 | 15 | 2415.173 | 1506.460 | 2447.204 | 1525.526 |

Tabel 4-5 selengkapnya dapat dilihat pada lampiran

Hasil perhitungan aliran daya dengan menggunakan bantuan program komputer dengan spesifikasi Intel Pentium IV 2,4 GHz dengan memori 256 MB. seperti terlihat pada tabel 4-5, serta dapat diketahui besar rugi daya aktif dan daya reaktif tiap saluran seperti terlihat pada tabel 4-6.

Tabel 4-6
Rugi-rugi Daya Tiap Saluran dengan Metode Incorporating Composite Load Models dan Newton Raphson

| No. Saluran | Dari Bus | Ke Bus | Incorporating Composite | | Newton-Raphson | |
|----------------|-------------|-----------|----------------------------|----------|----------------|----------|
| | | | P (kW) | Q (kVAR) | P (kW) | Q (kVAR) |
| 1 | 1 | 2 | 14.783 | 17.306 | 15.041 | 17.609 |
| 2 | 2 | 3 | 13.422 | 15.383 | 13.661 | 15.656 |
| 3 | 3 | 4 | 0.002 | 0.002 | 0.003 | 0.002 |
| 4 | 3 | 5 | 1.255 | 1.439 | 1.278 | 1.485 |
| 5 | 5 | 6 | 1.584 | 1.815 | 1.613 | 1.849 |
| 6 | 5 | 42 | 0.029 | 0.019 | 0.029 | 0.019 |
| 7 | 6 | 7 | 0.148 | 0.170 | 0.151 | 0.173 |
| 8 | 7 | 8 | 0.965 | 1.106 | 0.984 | 1.127 |
| 9 | 8 | 9 | 0.016 | 0.024 | 0.016 | 0.024 |
| 10 | 8 | 13 | 1.557 | 1.784 | 1.588 | 1.820 |
| 11 | 9 | 10 | 0.001 | 0.001 | 0.001 | 0.001 |
| 12 | 10 | 11 | 0.000 | 0.000 | 0.000 | 0.000 |
| 13 | 10 | 12 | 0.002 | 0.003 | 0.002 | 0.003 |
| 14 | 13 | 14 | 1.342 | 1.538 | 1.369 | 1.568 |
| 15 | 14 | 15 | 2.817 | 3.228 | 2.891 | 3.314 |

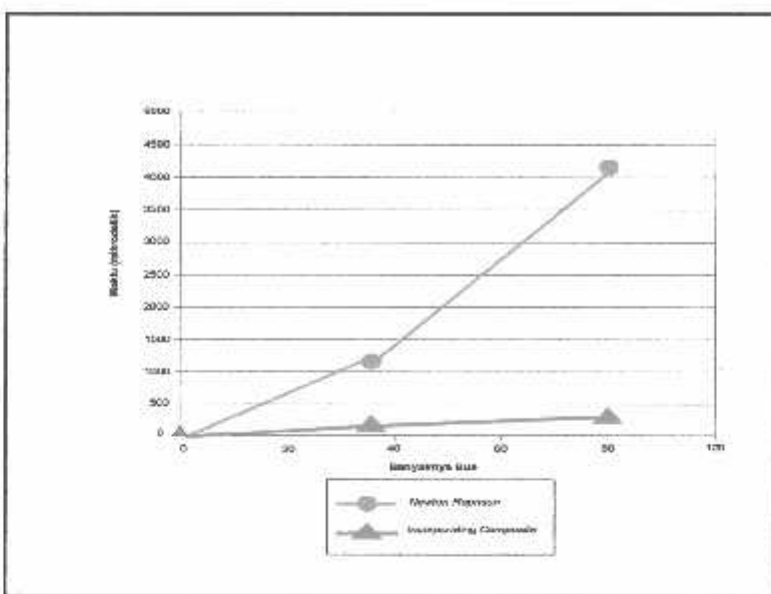
Tabel 4-6 selengkapnya dapat dilihat pada lampiran

Perhitungan pada metode *Incorporating Composite Load Models* dan *Newton-Raphson* mempunyai akurasi yang hampir sama, dalam hal ini menghasilkan perhitungan tegangan, aliran daya beserta rugi-rugi saluran.

Besar total rugi daya aktif 54.3112 kW dan besar daya reaktif 62.7803 kVAR. Dan waktu yang dibutuhkan untuk proses perhitungan 4.094 detik lebih cepat dibanding dengan metode *Newton-Raphson*. Perbandingan waktu perhitungan dapat dilihat pada tabel 4-7 dan grafik 4-2.

Tabel 4-7
Perbandingan Waktu Perhitungan Metode Incorporating Composite Load Models dan Newton-Raphson

| METODE | WAKTU (detik) | ITERASI |
|-------------------------|---------------|---------|
| Incorporating Composite | 0.281 | 3 |
| Newton-Raphson | 4.375 | 2 |



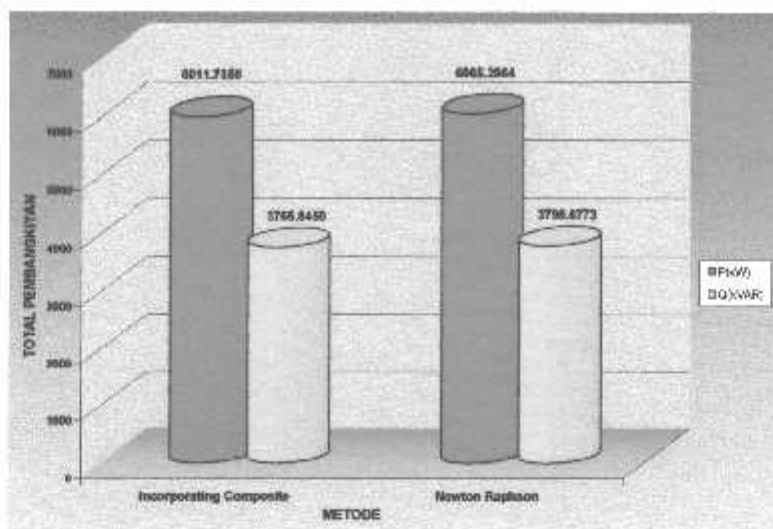
Grafik 4-2. Perbandingan Waktu Perhitungan Metode *Incorporating Composite Load Models* dan *Newton Raphson*

Berdasarkan grafik di atas, terjadi peningkatan waktu seiring dengan bertambahnya bus yang dihitung, hal ini karena semakin banyaknya bus yang dihitung maka proses waktu perhitungan aliran daya akan semakin bertambah. Namun metode *Incorporating Composite Load Models* masih tetap tetap menghasilkan waktu perhitungan lebih cepat dari metode *Newton Raphson*. Pada sistem 34 bus metode *Newton Raphson* adalah 1.140 detik dan metode *Incorporating Composite Load Models* 0.078 detik, sedangkan pada sistem 80 bus metode *Newton Raphson* adalah 4.375 detik dan metode *Incorporating Composite Load Models* adalah 0.281 detik

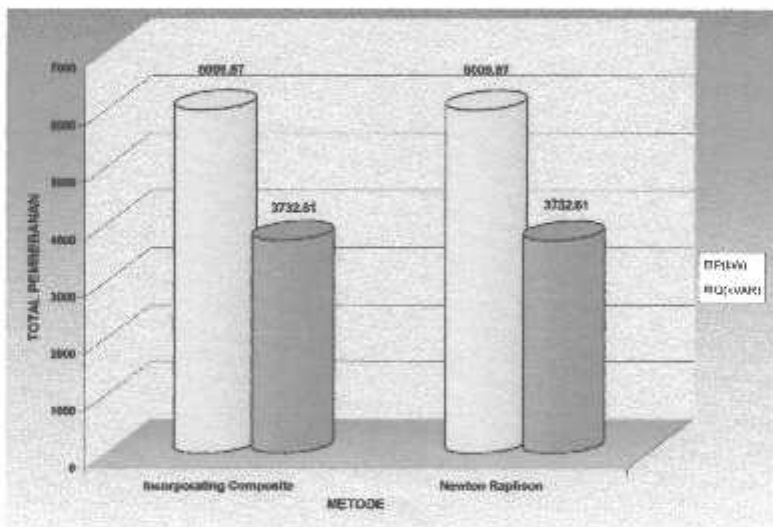
Tabel 4-8

Hasil Perhitungan Total Pembangkitan, Pembebanan dan Rugi Daya dengan metode *Incorporating Composite Load Models* dan *Newton Raphson*

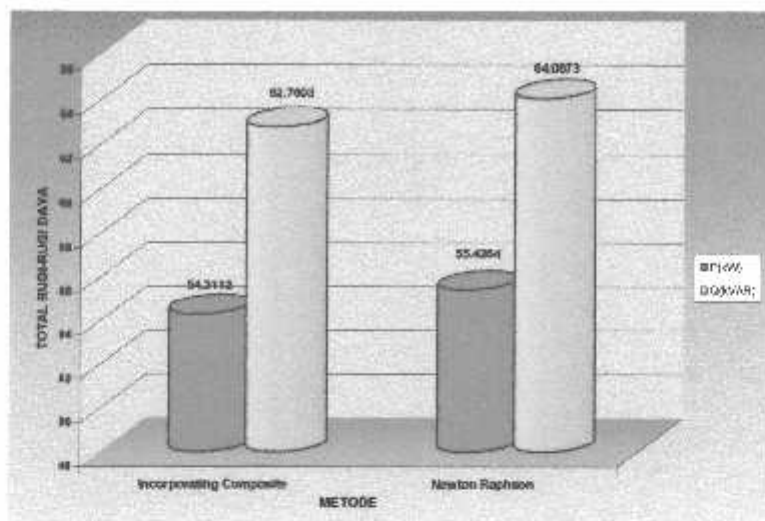
| Metode | Total Pembangkitan | | Total Pembebanan | | Total Rugi Daya | |
|-------------------------|--------------------|-----------|------------------|----------|-----------------|----------|
| | P (kW) | Q (kVAR) | P (kW) | Q (kVAR) | P (kW) | Q (kVAR) |
| Incorporating Composite | 6011.7358 | 3765.8450 | 6009.87 | 3732.61 | 54.3112 | 62.7803 |
| Newton Raphson | 6065.2964 | 3796.6773 | 6009.87 | 3732.61 | 55.4264 | 64.0673 |



Grafik 4-3. Perbandingan Total Pembangkitan Metode *Incorporating Composite Load Models* dan *Newton Raphson*



Grafik 4-4. Perbandingan Total Pembebanan Metode *Incorporating Composite Load Models* dan *Newton Raphson*



Grafik 4-5. Perbandingan Total Rugi-Rugi Daya Metode *Incorporating Composite Load Models* dan *Newton Raphson*

4.6. Persentase Rugi Daya dan Pembebatan Pada Penyalang Asahan

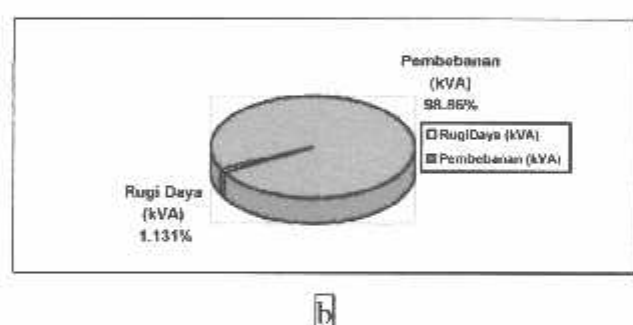
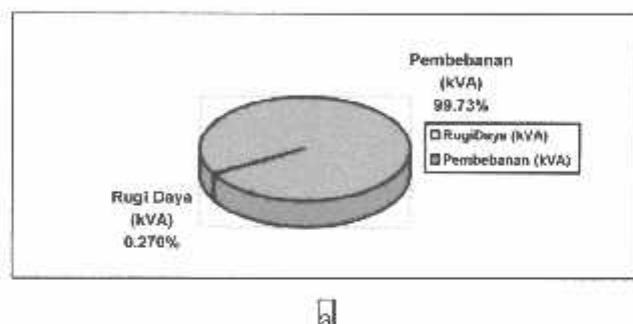
Metode *Incorporating Composite* :

$$\begin{aligned}
 \text{Rugi Daya (\%)} &= \frac{\text{Total Rugi Daya (kVA)}}{\text{Total Pembangkitan (kVA)}} \times 100\% \\
 &= \frac{\text{Total Pembangkitan} - \text{Total Pembebatan}}{\text{Total Pembangkitan}} \times 100\% \\
 &= \left(1 - \frac{\text{Total Pembebatan}}{\text{Total Pembangkitan}}\right) \times 100\% \\
 &= \left(1 - \frac{7074.6671}{7093.8393}\right) \times 100\% \\
 &= 0.270\%
 \end{aligned}$$

Metode *Newton Raphson* :

$$\text{Rugi Daya (\%)} = \frac{\text{Total Rugi Daya (kVA)}}{\text{Total Pembangkitan (kV\Delta)}} \times 100\%$$

$$\begin{aligned}
 & - \frac{\text{Total Pembangkitan} - \text{Total Pembebanan}}{\text{Total Pembangkitan}} \times 100\% \\
 & = \left(1 - \frac{\text{Total Pembebanan}}{\text{Total Pembangkitan}} \right) \times 100\% \\
 & = \left(1 - \frac{7074.6671}{7155.5977} \right) \times 100\% \\
 & = 1.131\%
 \end{aligned}$$



Grafik 4-6. Persentase Rugi Daya Dan pembebanan Pada Penyulang Asahan

- (a) Metode *Incorporating Composite Load Models*
- (b) Metode *Newton Raphson*

BAB V

KESIMPULAN DAN SARAN

5.1. Kesimpulan

Setelah dilakukan pengujian, metode *Incorporating Composite Load Models* dan *Newton Raphson* pada jaringan distribusi 20 kV di Gardu Induk Blimbing Penyulang Asahan maka dapat diambil beberapa kesimpulan sebagai berikut :

1. Metode *Incorporating Composite Load Models* mempunyai total rugi-rugi daya pada saluran sebesar : $54.3112 + j62.7803$. Dengan metode *Newton Raphson* total rugi-rugi pada saluran sebesar : $55.4264 + j64.0673$. Sehingga metode *Incorporating Composite Load Models* mempunyai hasil perhitungan yang tidak jauh berbeda dengan metode *Newton Raphson* dalam menghitung aliran daya dan rugi-rugi daya pada setiap saluran.
2. Dari hasil perhitungan, terlihat bahwa nilai tegangan tiap-tiap bus masih berada pada batas-batas yang diijinkan, yaitu antara -10% sampai +5% (0.9 pu - 1.05 pu). Diketahui bahwa nilai yang paling rendah terjadi pada bus no. 39 dengan nilai tegangan 0.98244 pu atau 19.6494 kV atau mengalami penurunan sebesar 1,756 % dari tegangan awal.
3. Metode *Incorporating Composite Load Models* terbukti efisien dalam menyelesaikan permasalahan aliran daya pada jaringan distribusi yang mempunyai jumlah cabang, jumlah bus yang banyak dan perbandingan rasio R/X yang tinggi, dengan tingkat ketelitian yang tidak jauh berbeda dengan

metode *Newton Raphson* dalam menghasilkan perhitungan aliran daya beserta rugi-rugi salurannya tetapi waktu perhitungan yang lebih cepat.

4. Waktu perhitungan dan jumlah iterasi metode *Incorporating Composite Load Models* dengan menggunakan Program Matlab versi 6.1 dijalankan pada prosesor Intel Pentium IV 2.4 GHz dengan memory 256 Mb hanya membutuhkan waktu 0.281 detik dengan 3 iterasi, metode *Newton-Raphson* membutuhkan waktu 4.375 detik dengan 2 iterasi. Ini disebabkan karena metode *Incorporating Composite Load Models* perhitungannya sederhana, penomoran titik/cabang tidak memerlukan teknik penomoran yang spesifik dan juga beban tergantung dengan tegangan, metode *Newton-Raphson* memerlukan perhitungan matrik jacobian, rangkaian perkalian matrik dan matrik pembalik.

5.2. Saran

Perhitungan aliran daya dengan menggunakan metode *Incorporating Composite Load Models* (penggabungan model beban) yang telah dibahas perlu dilakukan pengujian-pengujian lagi dengan jumlah cabang, jumlah bus, saluran dan pembebanan yang lebih banyak serta struktur distribusi tidak hanya terbatas pada jaringan radial.

DAFTAR PUSTAKA

- [1]. R. Ranjan, B. Venkatesh,D. Dash, "Load Flow Algorithm of Radial Distribution Networks Incorporating Composite Load Model", International Journal of Power and Energy Systems, Vol. 23, No. 1, 2003.
- [2]. M.E. El-Hawary & L.G. Dias, *Incorporating of Load Models in Load Flow Studies, IEE Proc. Part C*, 134(1), 1987, 27-30.
- [3] D. Thukaram, H.M. Wijekoon Banda & J. Jerome, "A Robust Three Phase Power Flow Algorithm For Radial Distribution System", Electrical Power System Research, 50(3), 1999, 227-236.
- [4] William D. Stevenson, JR "Analisis Sistem Tenaga Listrik", Edisi ke-4, Erlangga 1996.
- [5] Djiteng Marsudji " Operasi Sistem Tenaga listrik Listrik", Balai Penerbit Dan Humas ISTN 1990.
- [6] Hasan Basri, Ir "Sistem Distribusi Tenaga Listrik", Balai Penerbit dan Humas IST Bumi Sriengsreng Indah P. Minggu, Jakarta Selatan, 1996.
- [7]. S. Sivanagaraju, Dr N. Sreenivasulu, Dr M. Vijayakumar, "Voltage Stability for Radial Distribution Networks", *IE(I) Journal-EL*, Vol. 84, Des 2003.
- [8]. M.M.Salama, A.Y. Chikhani, "A Simplified Network Approach to the VAR Control Problem for Radial Distribution Systems", *IEEE Tran. Power DeliVery*, Vol.8, No.3, Jul 1993, pp1529-1535.
- [9]. Evi Arisanti, "Analisa Aliran Daya Menggunakan Metode Voltage Dependent Load Models Pada Jaringan Distribusi Radial Seimbang di Penyalang Asahan GI Blimbing, 96.12.115, April 2003, ITN Malang.

LAMPIRAN

Lampiran 1

Tabel 4-2
Data Impedansi Pada Tiap-tiap Saluran Penyulang Asahan

| No. Saluran | Dari node | Ke node | R (Ohm) | X (Ohm) | Panjang Saluran (m) |
|-------------|-----------|---------|-----------|----------|---------------------|
| 1 | 1 | 2 | 0.117501 | 0.137560 | 405 |
| 2 | 2 | 3 | 0.1111717 | 0.128036 | 376 |
| 3 | 3 | 4 | 0.154568 | 0.094196 | 92 |
| 4 | 3 | 5 | 0.010696 | 0.012259 | 36 |
| 5 | 5 | 6 | 0.014856 | 0.017026 | 50 |
| 6 | 6 | 7 | 0.001486 | 0.001703 | 5 |
| 7 | 7 | 8 | 0.009805 | 0.011237 | 33 |
| 8 | 8 | 9 | 0.024214 | 0.037016 | 112 |
| 9 | 9 | 10 | 0.001513 | 0.002314 | 7 |
| 10 | 10 | 11 | 0.010378 | 0.015864 | 48 |
| 11 | 10 | 12 | 0.003675 | 0.005619 | 17 |
| 12 | 8 | 13 | 0.018719 | 0.021453 | 63 |
| 13 | 13 | 14 | 0.016639 | 0.019069 | 56 |
| 14 | 14 | 15 | 0.136972 | 0.156980 | 461 |
| 15 | 15 | 16 | 0.013668 | 0.015664 | 46 |
| 16 | 16 | 17 | 0.014797 | 0.016958 | 49.8 |
| 17 | 17 | 18 | 0.106369 | 0.121906 | 358 |
| 18 | 18 | 19 | 0.046730 | 0.028478 | 78 |
| 19 | 18 | 20 | 0.232051 | 0.265946 | 781 |
| 20 | 20 | 21 | 0.005942 | 0.006810 | 20 |
| 21 | 21 | 22 | 0.188077 | 0.215549 | 633 |
| 22 | 22 | 23 | 0.095970 | 0.109988 | 323 |
| 23 | 23 | 24 | 0.031792 | 0.036436 | 107 |
| 24 | 23 | 25 | 0.041745 | 0.047843 | 140.3 |
| 25 | 25 | 26 | 0.068635 | 0.078660 | 231 |
| 26 | 26 | 27 | 0.029712 | 0.034052 | 100 |
| 27 | 27 | 28 | 0.029712 | 0.034052 | 100 |
| 28 | 27 | 29 | 0.097158 | 0.111350 | 327 |
| 29 | 29 | 30 | 0.019313 | 0.022134 | 65 |
| 30 | 30 | 31 | 0.078737 | 0.090238 | 265 |
| 31 | 31 | 32 | 0.055264 | 0.063337 | 186 |
| 32 | 30 | 33 | 0.048728 | 0.055845 | 164 |
| 33 | 33 | 34 | 0.009805 | 0.011237 | 33 |
| 34 | 33 | 35 | 0.030009 | 0.034393 | 101 |
| 35 | 35 | 36 | 0.050845 | 0.066131 | 197 |
| 36 | 35 | 37 | 0.058533 | 0.067082 | 197 |
| 37 | 37 | 38 | 0.078737 | 0.090238 | 265 |

| | | | | | |
|----|----|----|----------|----------|-------|
| 38 | 38 | 39 | 0.016215 | 0.024788 | 75 |
| 39 | 38 | 40 | 0.014262 | 0.016345 | 48 |
| 40 | 40 | 41 | 0.040408 | 0.046311 | 136 |
| 41 | 5 | 42 | 0.113182 | 0.072442 | 199.4 |
| 42 | 42 | 43 | 0.044329 | 0.034363 | 96.2 |
| 43 | 42 | 44 | 0.011675 | 0.017847 | 54 |
| 44 | 42 | 45 | 0.018801 | 0.014574 | 40.8 |
| 45 | 45 | 46 | 0.017234 | 0.013359 | 37.4 |
| 46 | 46 | 47 | 0.017945 | 0.027432 | 83 |
| 47 | 14 | 48 | 0.016561 | 0.025316 | 76.6 |
| 48 | 48 | 49 | 0.014918 | 0.022805 | 69 |
| 49 | 49 | 50 | 0.018161 | 0.027762 | 84 |
| 50 | 50 | 51 | 0.025255 | 0.028944 | 85 |
| 51 | 51 | 52 | 0.024928 | 0.028570 | 83.9 |
| 52 | 52 | 53 | 0.025056 | 0.031198 | 92.5 |
| 53 | 52 | 54 | 0.003565 | 0.004086 | 12 |
| 54 | 50 | 55 | 0.035803 | 0.041033 | 120.5 |
| 55 | 55 | 56 | 0.031565 | 0.048253 | 146 |
| 56 | 55 | 57 | 0.010378 | 0.015864 | 48 |
| 57 | 57 | 58 | 0.010378 | 0.015864 | 48 |
| 58 | 58 | 59 | 0.042854 | 0.033220 | 93 |
| 59 | 59 | 60 | 0.046080 | 0.035720 | 100 |
| 60 | 60 | 61 | 0.210125 | 0.162883 | 456 |
| 61 | 61 | 62 | 0.080279 | 0.048923 | 134 |
| 62 | 62 | 63 | 0.026960 | 0.016430 | 45 |
| 63 | 62 | 64 | 0.047928 | 0.029208 | 80 |
| 64 | 59 | 65 | 0.160819 | 0.124663 | 349 |
| 65 | 65 | 66 | 0.042624 | 0.033041 | 92.5 |
| 66 | 65 | 67 | 0.117043 | 0.090729 | 254 |
| 67 | 67 | 68 | 0.084787 | 0.065725 | 184 |
| 68 | 67 | 69 | 0.023040 | 0.017860 | 50 |
| 69 | 69 | 70 | 0.110592 | 0.085728 | 240 |
| 70 | 58 | 71 | 0.017837 | 0.027266 | 82.5 |
| 71 | 71 | 72 | 0.009945 | 0.015203 | 46 |
| 72 | 72 | 73 | 0.032835 | 0.033353 | 92 |
| 73 | 73 | 74 | 0.094464 | 0.073226 | 205 |
| 74 | 74 | 75 | 0.077875 | 0.060367 | 169 |
| 75 | 75 | 76 | 0.007567 | 0.011568 | 35 |
| 76 | 76 | 77 | 0.025944 | 0.039660 | 120 |
| 77 | 76 | 78 | 0.025944 | 0.039660 | 120 |
| 78 | 78 | 79 | 0.008648 | 0.013220 | 40 |
| 79 | 78 | 80 | 0.020736 | 0.016074 | 45 |

Lampiran 2

Tabel 4-3
Data Pembebanan Pada Tiap-tiap Bus Penyulang Asahan

| No. Node | No. Gardu | Kapasitas (kVA) | Beban Gardu (%) | Data Beban | |
|-------------|--------------|--------------------|-----------------------|------------|-------------|
| | | | | P (kW) | Q (kVAR) |
| 1 | - | 0 | 0 | 0.00 | 0.00 |
| 2 | 39 | 200 | 80.68 | 137.16 | 84.99 |
| 3 | - | 0 | 0 | 0.00 | 0.00 |
| 4 | 267 | 100 | 80.24 | 68.20 | 42.26 |
| 5 | - | 0 | 0 | 0.00 | 0.00 |
| 6 | 125 | 160 | 137.56 | 187.08 | 115.92 |
| 7 | 124 | 100 | 33.96 | 28.89 | 17.90 |
| 8 | - | 0 | 0 | 0.00 | 0.00 |
| 9 | 128 | 160 | 19.95 | 27.13 | 16.81 |
| 10 | - | 0 | 0 | 0.00 | 0.00 |
| 11 | 623 | 200 | 17 | 28.90 | 17.91 |
| 12 | 757 | 630 | 70 | 374.85 | 232.27 |
| 13 | 622 | 100 | 88 | 74.80 | 46.35 |
| 14 | - | 0 | 0 | 0.00 | 0.00 |
| 15 | 286 | 200 | 70.41 | 119.70 | 74.17 |
| 16 | 752 | 200 | 34 | 57.80 | 35.82 |
| 17 | 582 | 160 | 13 | 17.68 | 10.95 |
| 18 | 0 | 0 | 0 | 0.00 | 0.00 |
| 19 | 285 | 25 | 5 | 1.06 | 0.66 |
| 20 | 667 | 160 | 51 | 69.36 | 42.98 |
| 21 | 354 | 160 | 85.46 | 116.23 | 72.02 |
| 22 | 26A | 100 | 28.54 | 24.26 | 15.03 |
| 23 | - | 0 | 0 | 0.00 | 0.00 |
| 24 | 815 | 630 | 75 | 401.63 | 248.87 |
| 25 | 384 | 75 | 12.63 | 8.05 | 4.99 |
| 26 | 818 | 100 | 32.2 | 27.37 | 16.96 |
| 27 | - | 0 | 0 | 0.00 | 0.00 |
| 28 | 314 | 150 | 85.17 | 108.59 | 67.29 |
| 29 | 3 | 200 | 59.63 | 101.37 | 62.81 |
| 30 | - | 0 | 0 | 0.00 | 0.00 |
| 31 | 364 | 150 | 42.93 | 54.74 | 33.92 |
| 32 | 2 | 200 | 78.59 | 133.60 | 82.79 |
| 33 | 910 | 100 | 45 | 38.25 | 23.70 |
| 34 | 234 | 100 | 66.83 | 56.81 | 35.20 |
| 35 | - | 0 | 0 | 0.00 | 0.00 |
| 36 | 624 | 630 | 70 | 374.85 | 232.27 |
| 37 | 279A | 100 | 30 | 25.50 | 15.80 |

| | | | | | |
|----|-----|------|--------|--------|--------|
| 38 | - | 0 | 0 | 0.00 | 0.00 |
| 39 | 528 | 800 | 75 | 510.00 | 316.02 |
| 40 | 279 | 250 | 37.07 | 78.77 | 48.82 |
| 41 | 80A | 200 | 62 | 105.40 | 65.32 |
| 42 | - | 0 | 0 | 0.00 | 0.00 |
| 43 | 668 | 250 | 52 | 110.50 | 68.48 |
| 44 | 865 | 200 | 43 | 73.10 | 45.30 |
| 45 | 654 | 100 | 23 | 19.55 | 12.12 |
| 46 | - | 0 | 0 | 0.00 | 0.00 |
| 47 | 88 | 100 | 77 | 65.45 | 48.56 |
| 48 | 739 | 100 | 53 | 45.05 | 27.92 |
| 49 | 495 | 200 | 5 | 8.50 | 5.27 |
| 50 | - | 0 | 0 | 0.00 | 0.00 |
| 51 | 621 | 100 | 13 | 11.05 | 6.85 |
| 52 | - | 0 | 0 | 0.00 | 0.00 |
| 53 | 445 | 630 | 80 | 428.40 | 265.51 |
| 54 | 660 | 160 | 7 | 9.52 | 5.90 |
| 55 | - | 0 | 0 | 0.00 | 0.00 |
| 56 | 924 | 200 | 26 | 44.20 | 27.39 |
| 57 | 726 | 160 | 29.56 | 40.20 | 24.92 |
| 58 | - | 0 | 0 | 0.00 | 0.00 |
| 59 | - | 0 | 0 | 0.00 | 0.00 |
| 60 | 738 | 200 | 48.34 | 82.18 | 50.92 |
| 61 | - | 0 | 0 | 0.00 | 0.00 |
| 62 | - | 0 | 0 | 0.00 | 0.00 |
| 63 | 913 | 100 | 64 | 54.40 | 33.72 |
| 64 | 960 | 160 | 50 | 68.00 | 42.14 |
| 65 | - | 0 | 0 | 0.00 | 0.00 |
| 66 | 372 | 250 | 102.24 | 217.26 | 134.65 |
| 67 | - | 0 | 0 | 0.00 | 0.00 |
| 68 | 434 | 160 | 53 | 72.08 | 44.67 |
| 69 | 373 | 160 | 62.93 | 85.58 | 83.04 |
| 70 | 697 | 160 | 93.05 | 126.55 | 78.43 |
| 71 | 694 | 160 | 10 | 13.60 | 8.43 |
| 72 | 767 | 160 | 30 | 40.80 | 25.29 |
| 73 | 734 | 160 | 8.9 | 12.10 | 7.50 |
| 74 | 735 | 160 | 33.34 | 45.34 | 28.10 |
| 75 | 875 | 160 | 31.24 | 42.49 | 26.33 |
| 76 | - | 0 | 0 | 0.00 | 0.00 |
| 77 | 938 | 200 | 12.35 | 20.99 | 13.01 |
| 78 | - | 0 | 0 | 0.00 | 0.00 |
| 79 | 939 | 100 | 77 | 65.45 | 40.56 |
| 80 | 899 | 1250 | 80 | 850.00 | 526.80 |

Lampiran 3

Tabel 4-4

Kondisi Tegangan Tiap-tiap Bus dengan metode *Incorporating Composite Load Models* dan *Newton Raphson*

| Incorporating Composite | | Newton-Raphson | |
|-------------------------|---------------|----------------|---------------|
| No. Bus | Tegangan (pu) | No. Bus | Tegangan (pu) |
| 1 | 1.00000 | 1 | 1.00000 |
| 2 | 0.99693 | 2 | 0.99691 |
| 3 | 0.99410 | 3 | 0.99407 |
| 4 | 0.99407 | 4 | 0.99403 |
| 5 | 0.99384 | 5 | 0.99380 |
| 6 | 0.99348 | 6 | 0.99345 |
| 7 | 0.99345 | 7 | 0.99341 |
| 8 | 0.99323 | 8 | 0.99319 |
| 9 | 0.99317 | 9 | 0.99313 |
| 10 | 0.99317 | 10 | 0.99313 |
| 11 | 0.99317 | 11 | 0.99313 |
| 12 | 0.99316 | 12 | 0.99312 |
| 13 | 0.99283 | 13 | 0.99279 |
| 14 | 0.99249 | 14 | 0.99244 |
| 15 | 0.99106 | 15 | 0.99099 |
| 16 | 0.99092 | 16 | 0.99086 |
| 17 | 0.99078 | 17 | 0.99071 |
| 18 | 0.98976 | 18 | 0.98968 |
| 19 | 0.98976 | 19 | 0.98968 |
| 20 | 0.98753 | 20 | 0.98742 |
| 21 | 0.98747 | 21 | 0.98737 |
| 22 | 0.98582 | 22 | 0.98569 |
| 23 | 0.98498 | 23 | 0.98485 |
| 24 | 0.98493 | 24 | 0.98479 |
| 25 | 0.98469 | 25 | 0.98455 |
| 26 | 0.98422 | 26 | 0.98407 |
| 27 | 0.98401 | 27 | 0.98386 |
| 28 | 0.98400 | 28 | 0.98385 |
| 29 | 0.98340 | 29 | 0.98324 |
| 30 | 0.98328 | 30 | 0.98312 |
| 31 | 0.98322 | 31 | 0.98306 |
| 32 | 0.98319 | 32 | 0.98302 |
| 33 | 0.98303 | 33 | 0.98287 |
| 34 | 0.98303 | 34 | 0.98287 |
| 35 | 0.98289 | 35 | 0.98273 |
| 36 | 0.98281 | 36 | 0.98284 |
| 37 | 0.98271 | 37 | 0.98254 |

| | | | |
|----|---------|----|---------|
| 38 | 0.98248 | 38 | 0.98231 |
| 39 | 0.98244 | 39 | 0.98226 |
| 40 | 0.98247 | 40 | 0.98229 |
| 41 | 0.98245 | 41 | 0.98228 |
| 42 | 0.99373 | 42 | 0.99369 |
| 43 | 0.99371 | 43 | 0.99368 |
| 44 | 0.99372 | 44 | 0.99369 |
| 45 | 0.99372 | 45 | 0.99369 |
| 46 | 0.99372 | 46 | 0.99368 |
| 47 | 0.99371 | 47 | 0.99368 |
| 48 | 0.99230 | 48 | 0.99225 |
| 49 | 0.99213 | 49 | 0.99208 |
| 50 | 0.99192 | 50 | 0.99187 |
| 51 | 0.99187 | 51 | 0.99182 |
| 52 | 0.99182 | 52 | 0.99177 |
| 53 | 0.99178 | 53 | 0.99172 |
| 54 | 0.99182 | 54 | 0.99177 |
| 55 | 0.99163 | 55 | 0.99158 |
| 56 | 0.99162 | 56 | 0.99157 |
| 57 | 0.99154 | 57 | 0.99148 |
| 58 | 0.99145 | 58 | 0.99139 |
| 59 | 0.99133 | 59 | 0.99128 |
| 60 | 0.99130 | 60 | 0.99124 |
| 61 | 0.99120 | 61 | 0.99115 |
| 62 | 0.99117 | 62 | 0.99111 |
| 63 | 0.99116 | 63 | 0.99111 |
| 64 | 0.99116 | 64 | 0.99110 |
| 65 | 0.99103 | 65 | 0.99098 |
| 66 | 0.99100 | 66 | 0.99094 |
| 67 | 0.99091 | 67 | 0.99085 |
| 68 | 0.99089 | 68 | 0.99083 |
| 69 | 0.99089 | 69 | 0.99084 |
| 70 | 0.99084 | 70 | 0.99078 |
| 71 | 0.99135 | 71 | 0.99130 |
| 72 | 0.99130 | 72 | 0.99124 |
| 73 | 0.99116 | 73 | 0.99110 |
| 74 | 0.99080 | 74 | 0.99074 |
| 75 | 0.99052 | 75 | 0.99046 |
| 76 | 0.99048 | 76 | 0.99042 |
| 77 | 0.99048 | 77 | 0.99042 |
| 78 | 0.99037 | 78 | 0.99031 |
| 79 | 0.99036 | 79 | 0.99030 |
| 80 | 0.99030 | 80 | 0.99024 |

Lampiran 4

Tabel 4-5
Aliran Daya Tiap Saluran dengan metode *Incorporating Composite Load Models* dan *Newton Raphson*

| No. Saluran | Dari Bus | Ke Bus | Incorporating Composite | | Newton-Raphson | |
|-------------|----------|--------|-------------------------|----------|----------------|----------|
| | | | P (kW) | Q (kVAR) | P (kW) | Q (kVAR) |
| 1 | 1 | 2 | 6011.736 | 3765.845 | 6065.296 | 3796.677 |
| 2 | 2 | 3 | 5860.072 | 3663.683 | 5913.094 | 3694.080 |
| 3 | 3 | 4 | 67.939 | 42.136 | 68.202 | 42.262 |
| 4 | 3 | 5 | 5778.610 | 3606.064 | 5831.230 | 3636.163 |
| 5 | 5 | 6 | 5509.539 | 3430.428 | 5561.319 | 3460.217 |
| 6 | 5 | 42 | 267.716 | 174.097 | 268.632 | 174.482 |
| 7 | 6 | 7 | 5321.869 | 3313.271 | 5372.626 | 3342.448 |
| 8 | 7 | 8 | 5292.901 | 3295.207 | 5343.585 | 3324.376 |
| 9 | 8 | 9 | 428.654 | 265.780 | 430.898 | 267.018 |
| 10 | 8 | 13 | 4863.182 | 3028.221 | 4911.703 | 3056.230 |
| 11 | 9 | 10 | 401.575 | 248.949 | 403.752 | 250.184 |
| 12 | 10 | 11 | 28.823 | 17.900 | 28.900 | 17.910 |
| 13 | 10 | 12 | 372.651 | 230.947 | 374.851 | 232.273 |
| 14 | 13 | 14 | 4787.206 | 2980.285 | 4835.315 | 3008.061 |
| 15 | 14 | 15 | 2415.173 | 1506.460 | 2447.204 | 1525.526 |
| 16 | 14 | 48 | 2370.591 | 1472.187 | 2386.741 | 1480.968 |
| 17 | 15 | 16 | 2293.517 | 1429.557 | 2324.613 | 1448.043 |
| 18 | 16 | 17 | 2235.833 | 1393.637 | 2266.552 | 1411.924 |
| 19 | 17 | 18 | 2217.938 | 1382.378 | 2248.603 | 1400.666 |
| 20 | 18 | 19 | 1.150 | 0.754 | 1.060 | 0.660 |
| 21 | 18 | 20 | 2214.837 | 1379.404 | 2245.640 | 1397.826 |
| 22 | 20 | 21 | 2142.121 | 1332.183 | 2172.136 | 1350.100 |
| 23 | 21 | 22 | 2026.999 | 1260.761 | 2055.806 | 1277.966 |
| 24 | 22 | 23 | 2000.199 | 1242.673 | 2028.719 | 1259.699 |
| 25 | 23 | 24 | 396.328 | 245.632 | 401.646 | 248.891 |
| 26 | 23 | 25 | 1602.403 | 995.372 | 1625.664 | 1009.194 |
| 27 | 25 | 26 | 1593.980 | 989.912 | 1617.220 | 1003.753 |
| 28 | 26 | 27 | 1566.274 | 972.377 | 1589.209 | 986.058 |
| 29 | 27 | 28 | 107.136 | 66.428 | 108.590 | 67.291 |
| 30 | 27 | 29 | 1458.777 | 905.551 | 1480.350 | 918.460 |
| 31 | 29 | 30 | 1358.074 | 842.727 | 1378.219 | 854.777 |
| 32 | 30 | 31 | 185.721 | 115.170 | 188.352 | 116.726 |
| 33 | 30 | 33 | 1172.125 | 727.310 | 1189.735 | 737.901 |
| 34 | 31 | 32 | 131.693 | 81.648 | 133.602 | 82.794 |
| 35 | 33 | 34 | 56.048 | 34.766 | 56.810 | 35.200 |
| 36 | 33 | 35 | 1078.069 | 668.830 | 1094.429 | 678.718 |
| 37 | 35 | 36 | 368.716 | 228.829 | 374.372 | 232.303 |

| | | | | | | |
|----|----|----|----------|----------|----------|----------|
| 38 | 36 | 37 | 709.128 | 439.757 | 719.927 | 446.267 |
| 39 | 37 | 38 | 683.817 | 423.981 | 694.319 | 430.343 |
| 40 | 38 | 39 | 502.102 | 311.177 | 510.010 | 316.044 |
| 41 | 38 | 40 | 181.483 | 112.552 | 184.172 | 114.144 |
| 42 | 40 | 41 | 103.847 | 64.396 | 105.401 | 65.322 |
| 43 | 42 | 43 | 109.978 | 68.195 | 110.502 | 68.481 |
| 44 | 42 | 44 | 72.788 | 45.145 | 73.100 | 45.300 |
| 45 | 42 | 45 | 84.821 | 60.639 | 85.001 | 60.681 |
| 46 | 45 | 46 | 65.281 | 48.486 | 65.451 | 48.561 |
| 47 | 46 | 47 | 65.181 | 48.386 | 65.450 | 48.560 |
| 48 | 48 | 49 | 2325.425 | 1443.860 | 2341.359 | 1452.541 |
| 49 | 49 | 50 | 2316.602 | 1438.093 | 2332.572 | 1446.832 |
| 50 | 50 | 51 | 446.108 | 276.666 | 449.020 | 278.320 |
| 51 | 50 | 55 | 1870.051 | 1160.803 | 1883.205 | 1167.980 |
| 52 | 51 | 52 | 435.021 | 269.746 | 437.952 | 271.449 |
| 53 | 52 | 53 | 425.354 | 263.670 | 428.416 | 265.530 |
| 54 | 52 | 54 | 9.550 | 5.957 | 9.520 | 5.900 |
| 55 | 55 | 56 | 43.968 | 27.284 | 44.200 | 27.390 |
| 56 | 55 | 57 | 1825.542 | 1132.913 | 1838.557 | 1140.078 |
| 57 | 57 | 58 | 1785.426 | 1107.896 | 1798.233 | 1114.969 |
| 58 | 58 | 59 | 701.844 | 435.464 | 706.342 | 437.796 |
| 59 | 58 | 71 | 1083.366 | 672.155 | 1091.774 | 676.993 |
| 60 | 59 | 60 | 203.490 | 126.298 | 204.603 | 126.797 |
| 61 | 59 | 65 | 498.179 | 309.008 | 501.664 | 310.941 |
| 62 | 60 | 61 | 121.845 | 75.670 | 122.416 | 75.872 |
| 63 | 61 | 62 | 121.734 | 75.562 | 122.405 | 75.863 |
| 64 | 62 | 63 | 54.069 | 33.553 | 54.400 | 33.720 |
| 65 | 62 | 64 | 67.561 | 41.906 | 68.001 | 42.140 |
| 66 | 65 | 66 | 215.613 | 133.668 | 217.267 | 134.655 |
| 67 | 65 | 67 | 282.326 | 175.131 | 284.254 | 176.175 |
| 68 | 67 | 68 | 71.594 | 44.407 | 72.081 | 44.671 |
| 69 | 67 | 69 | 210.604 | 130.602 | 212.140 | 131.478 |
| 70 | 69 | 70 | 125.616 | 77.890 | 126.556 | 78.435 |
| 71 | 71 | 72 | 1069.697 | 663.577 | 1078.099 | 668.448 |
| 72 | 72 | 73 | 1029.076 | 638.324 | 1037.259 | 643.096 |
| 73 | 73 | 74 | 1016.849 | 630.659 | 1025.035 | 635.469 |
| 74 | 74 | 75 | 971.439 | 602.424 | 979.345 | 607.098 |
| 75 | 75 | 76 | 928.952 | 576.017 | 936.591 | 580.564 |
| 76 | 76 | 77 | 20.911 | 12.999 | 20.990 | 13.010 |
| 77 | 76 | 78 | 907.918 | 562.883 | 915.577 | 567.519 |
| 78 | 78 | 79 | 64.984 | 40.310 | 65.450 | 40.560 |
| 79 | 78 | 80 | 842.758 | 522.358 | 850.052 | 526.841 |

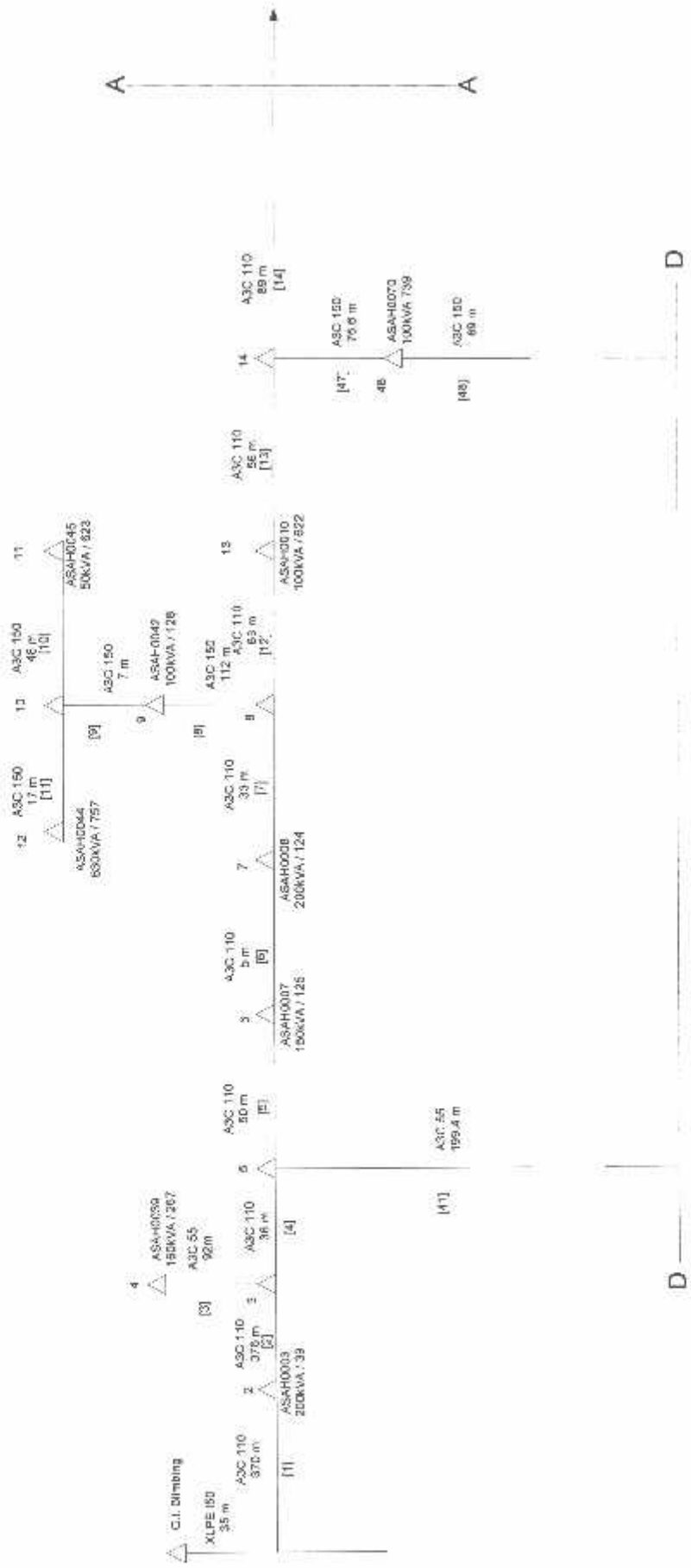
Lampiran 5

Tabel 4-6
Rugi-rugi Daya Tiap Saluran dengan metode *Incorporating Composite Load Models* dan *Newton Raphson*

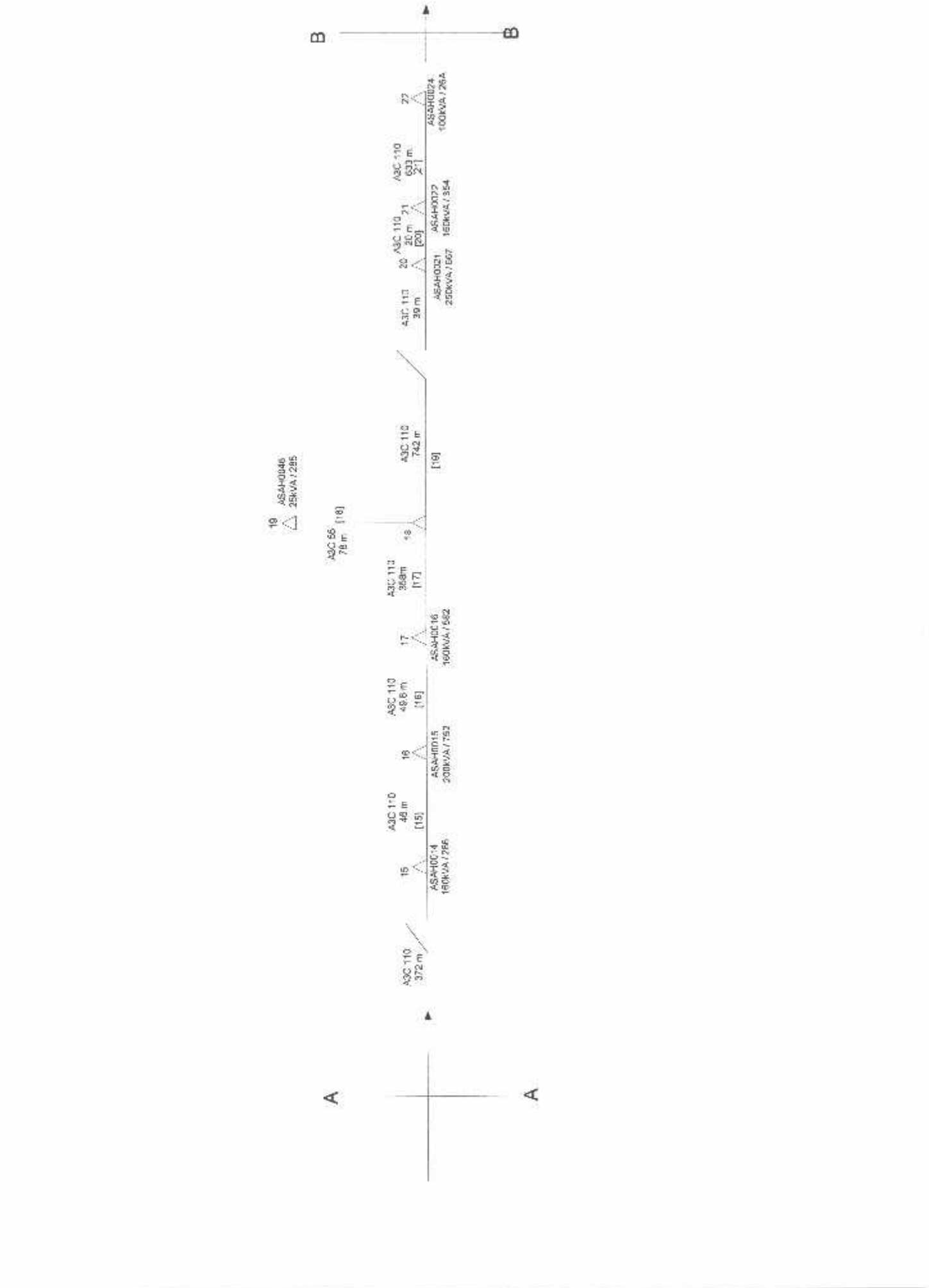
| No. Saluran | Dari Bus | Ke Bus | Incorporating Composite | | Newton-Raphson | |
|-------------|----------|--------|-------------------------|----------|----------------|----------|
| | | | P (kW) | Q (kVAR) | P (kW) | Q (kVAR) |
| 1 | 1 | 2 | 14.783 | 17.306 | 15.041 | 17.609 |
| 2 | 2 | 3 | 13.422 | 15.383 | 13.661 | 15.656 |
| 3 | 3 | 4 | 0.002 | 0.002 | 0.003 | 0.002 |
| 4 | 3 | 5 | 1.255 | 1.439 | 1.278 | 1.465 |
| 5 | 5 | 6 | 1.584 | 1.815 | 1.613 | 1.849 |
| 6 | 5 | 42 | 0.029 | 0.019 | 0.029 | 0.019 |
| 7 | 6 | 7 | 0.148 | 0.170 | 0.151 | 0.173 |
| 8 | 7 | 8 | 0.965 | 1.106 | 0.984 | 1.127 |
| 9 | 8 | 9 | 0.016 | 0.024 | 0.016 | 0.024 |
| 10 | 8 | 13 | 1.557 | 1.784 | 1.588 | 1.820 |
| 11 | 9 | 10 | 0.001 | 0.001 | 0.001 | 0.001 |
| 12 | 10 | 11 | 0.000 | 0.000 | 0.000 | 0.000 |
| 13 | 10 | 12 | 0.002 | 0.003 | 0.002 | 0.003 |
| 14 | 13 | 14 | 1.342 | 1.538 | 1.369 | 1.568 |
| 15 | 14 | 15 | 2.817 | 3.228 | 2.891 | 3.314 |
| 16 | 14 | 48 | 0.327 | 0.500 | 0.332 | 0.507 |
| 17 | 15 | 16 | 0.254 | 0.291 | 0.261 | 0.299 |
| 18 | 16 | 17 | 0.261 | 0.300 | 0.269 | 0.308 |
| 19 | 17 | 18 | 1.850 | 2.121 | 1.901 | 2.179 |
| 20 | 18 | 19 | 0.000 | 0.000 | 0.000 | 0.000 |
| 21 | 18 | 20 | 4.032 | 4.621 | 4.144 | 4.749 |
| 22 | 20 | 21 | 0.097 | 0.111 | 0.100 | 0.114 |
| 23 | 21 | 22 | 2.748 | 3.149 | 2.826 | 3.239 |
| 24 | 22 | 23 | 1.369 | 1.569 | 1.408 | 1.614 |
| 25 | 23 | 24 | 0.018 | 0.020 | 0.018 | 0.021 |
| 26 | 23 | 25 | 0.383 | 0.439 | 0.394 | 0.451 |
| 27 | 25 | 26 | 0.623 | 0.714 | 0.641 | 0.735 |
| 28 | 26 | 27 | 0.261 | 0.299 | 0.268 | 0.307 |
| 29 | 27 | 28 | 0.001 | 0.001 | 0.001 | 0.001 |
| 30 | 27 | 29 | 0.740 | 0.848 | 0.762 | 0.873 |
| 31 | 29 | 30 | 0.128 | 0.146 | 0.131 | 0.151 |
| 32 | 30 | 31 | 0.010 | 0.011 | 0.010 | 0.011 |
| 33 | 30 | 33 | 0.240 | 0.275 | 0.247 | 0.283 |
| 34 | 31 | 32 | 0.003 | 0.004 | 0.004 | 0.004 |
| 35 | 33 | 34 | 0.000 | 0.000 | 0.000 | 0.000 |
| 36 | 33 | 35 | 0.125 | 0.143 | 0.129 | 0.158 |
| 37 | 35 | 36 | 0.025 | 0.032 | 0.026 | 0.033 |
| 38 | 36 | 37 | 0.105 | 0.121 | 0.109 | 0.125 |

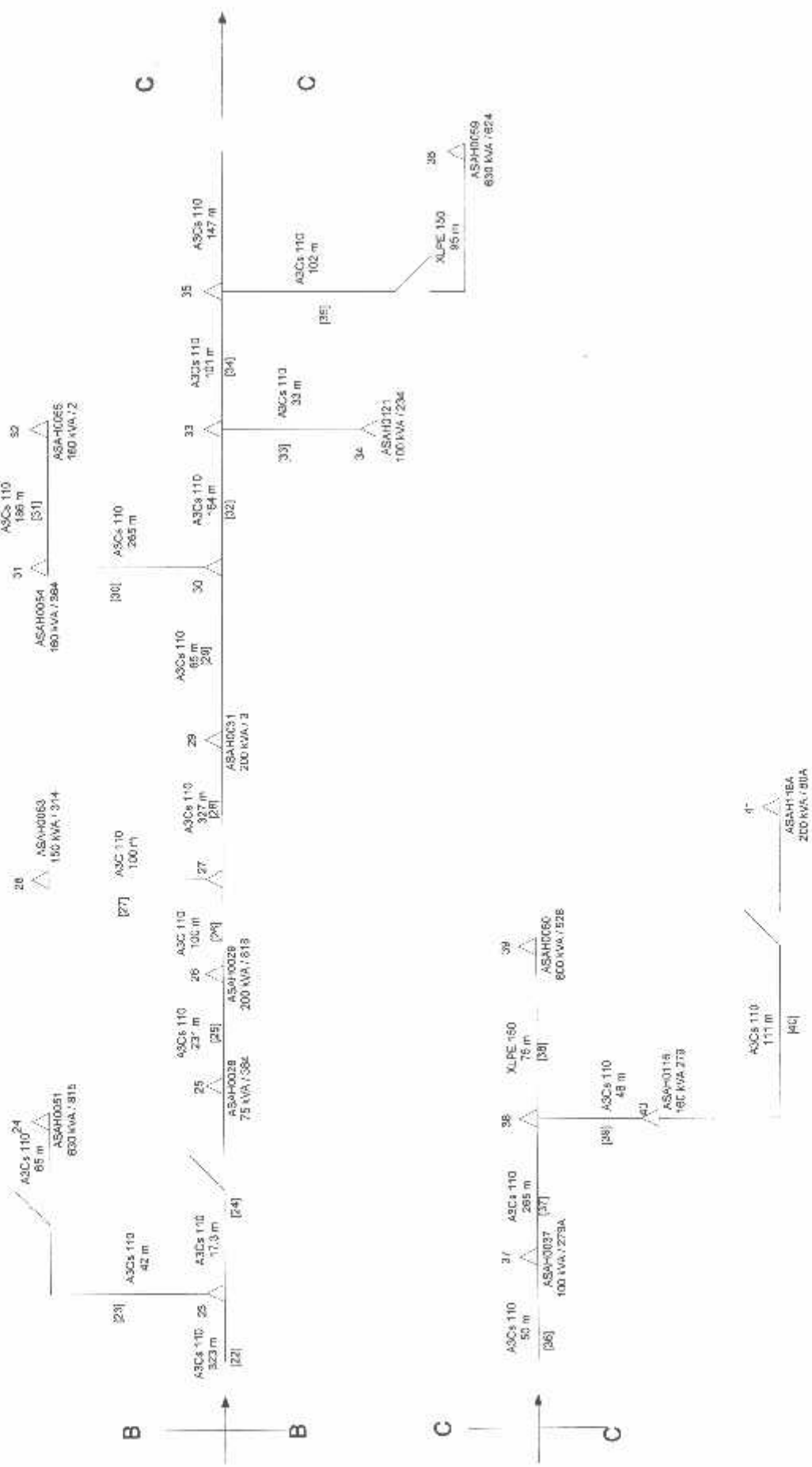
| | | | | | | |
|----|----|----|-------|-------|-------|-------|
| 39 | 37 | 38 | 0.132 | 0.151 | 0.136 | 0.156 |
| 40 | 38 | 39 | 0.015 | 0.022 | 0.015 | 0.023 |
| 41 | 38 | 40 | 0.002 | 0.002 | 0.002 | 0.002 |
| 42 | 40 | 41 | 0.002 | 0.002 | 0.002 | 0.002 |
| 43 | 42 | 43 | 0.002 | 0.001 | 0.002 | 0.001 |
| 44 | 42 | 44 | 0.000 | 0.000 | 0.000 | 0.000 |
| 45 | 42 | 45 | 0.001 | 0.000 | 0.001 | 0.000 |
| 46 | 45 | 46 | 0.000 | 0.000 | 0.000 | 0.000 |
| 47 | 46 | 47 | 0.000 | 0.000 | 0.000 | 0.000 |
| 48 | 48 | 49 | 0.284 | 0.434 | 0.288 | 0.440 |
| 49 | 49 | 50 | 0.343 | 0.524 | 0.348 | 0.531 |
| 50 | 50 | 51 | 0.018 | 0.020 | 0.018 | 0.021 |
| 51 | 50 | 55 | 0.441 | 0.505 | 0.447 | 0.512 |
| 52 | 51 | 52 | 0.017 | 0.019 | 0.017 | 0.019 |
| 53 | 52 | 53 | 0.016 | 0.020 | 0.016 | 0.020 |
| 54 | 52 | 54 | 0.000 | 0.000 | 0.000 | 0.000 |
| 55 | 55 | 56 | 0.000 | 0.000 | 0.000 | 0.000 |
| 56 | 55 | 57 | 0.122 | 0.186 | 0.123 | 0.189 |
| 57 | 57 | 58 | 0.117 | 0.178 | 0.118 | 0.181 |
| 58 | 58 | 59 | 0.074 | 0.058 | 0.075 | 0.058 |
| 59 | 58 | 71 | 0.074 | 0.113 | 0.075 | 0.114 |
| 60 | 59 | 60 | 0.007 | 0.005 | 0.007 | 0.005 |
| 61 | 59 | 65 | 0.141 | 0.109 | 0.143 | 0.110 |
| 62 | 60 | 61 | 0.011 | 0.009 | 0.011 | 0.009 |
| 63 | 61 | 62 | 0.004 | 0.003 | 0.004 | 0.003 |
| 64 | 62 | 63 | 0.000 | 0.000 | 0.000 | 0.000 |
| 65 | 62 | 64 | 0.001 | 0.000 | 0.001 | 0.000 |
| 66 | 65 | 66 | 0.007 | 0.005 | 0.007 | 0.005 |
| 67 | 65 | 67 | 0.033 | 0.025 | 0.033 | 0.026 |
| 68 | 67 | 68 | 0.002 | 0.001 | 0.002 | 0.001 |
| 69 | 67 | 69 | 0.004 | 0.003 | 0.004 | 0.003 |
| 70 | 69 | 70 | 0.006 | 0.005 | 0.006 | 0.005 |
| 71 | 71 | 72 | 0.040 | 0.061 | 0.041 | 0.062 |
| 72 | 72 | 73 | 0.122 | 0.124 | 0.124 | 0.126 |
| 73 | 73 | 74 | 0.344 | 0.267 | 0.350 | 0.271 |
| 74 | 74 | 75 | 0.259 | 0.201 | 0.263 | 0.204 |
| 75 | 75 | 76 | 0.023 | 0.035 | 0.023 | 0.036 |
| 76 | 76 | 77 | 0.000 | 0.000 | 0.000 | 0.000 |
| 77 | 76 | 78 | 0.075 | 0.115 | 0.077 | 0.117 |
| 78 | 78 | 79 | 0.000 | 0.000 | 0.000 | 0.000 |
| 79 | 78 | 80 | 0.052 | 0.040 | 0.053 | 0.041 |

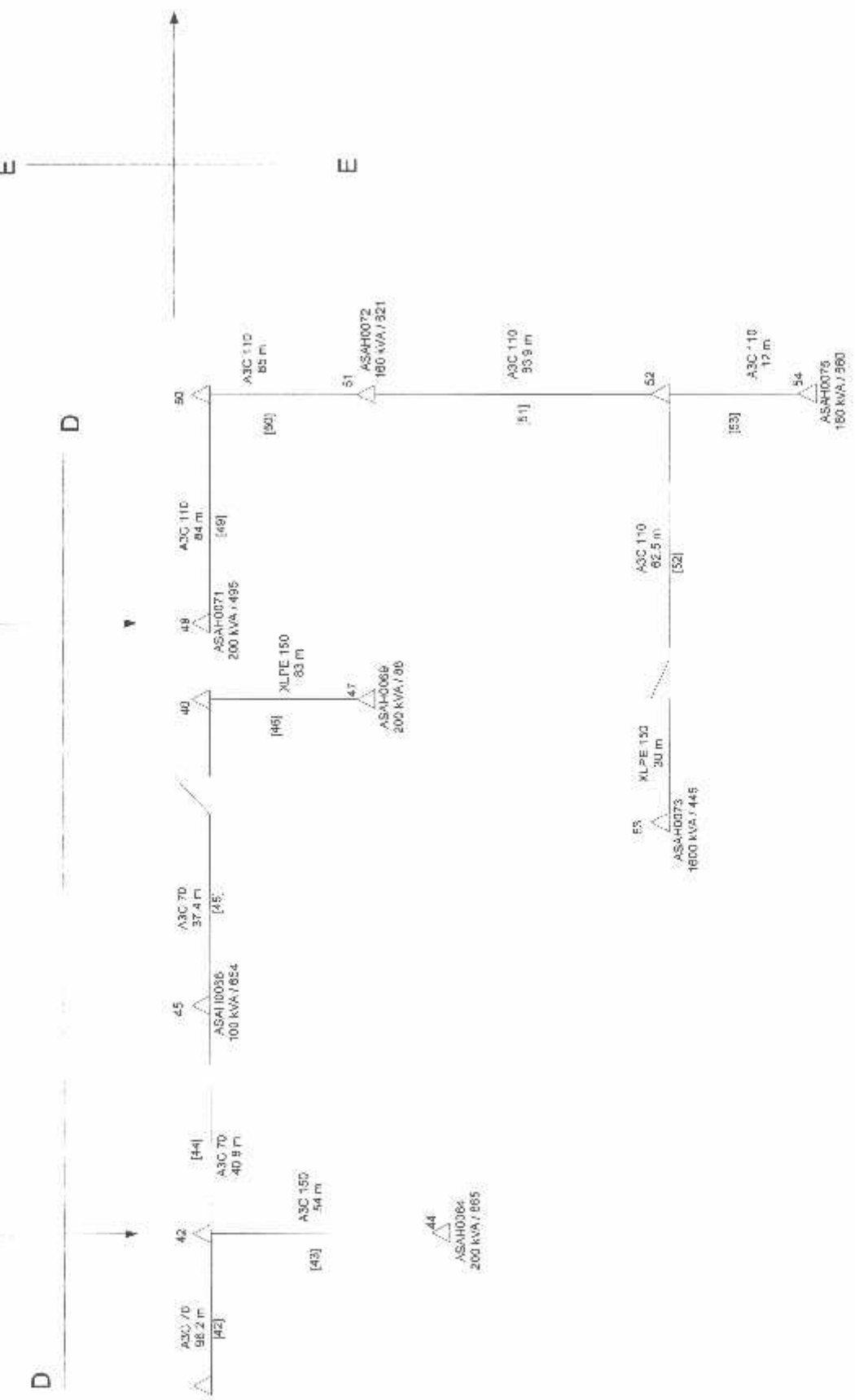
PENYULANG ASAHDAN

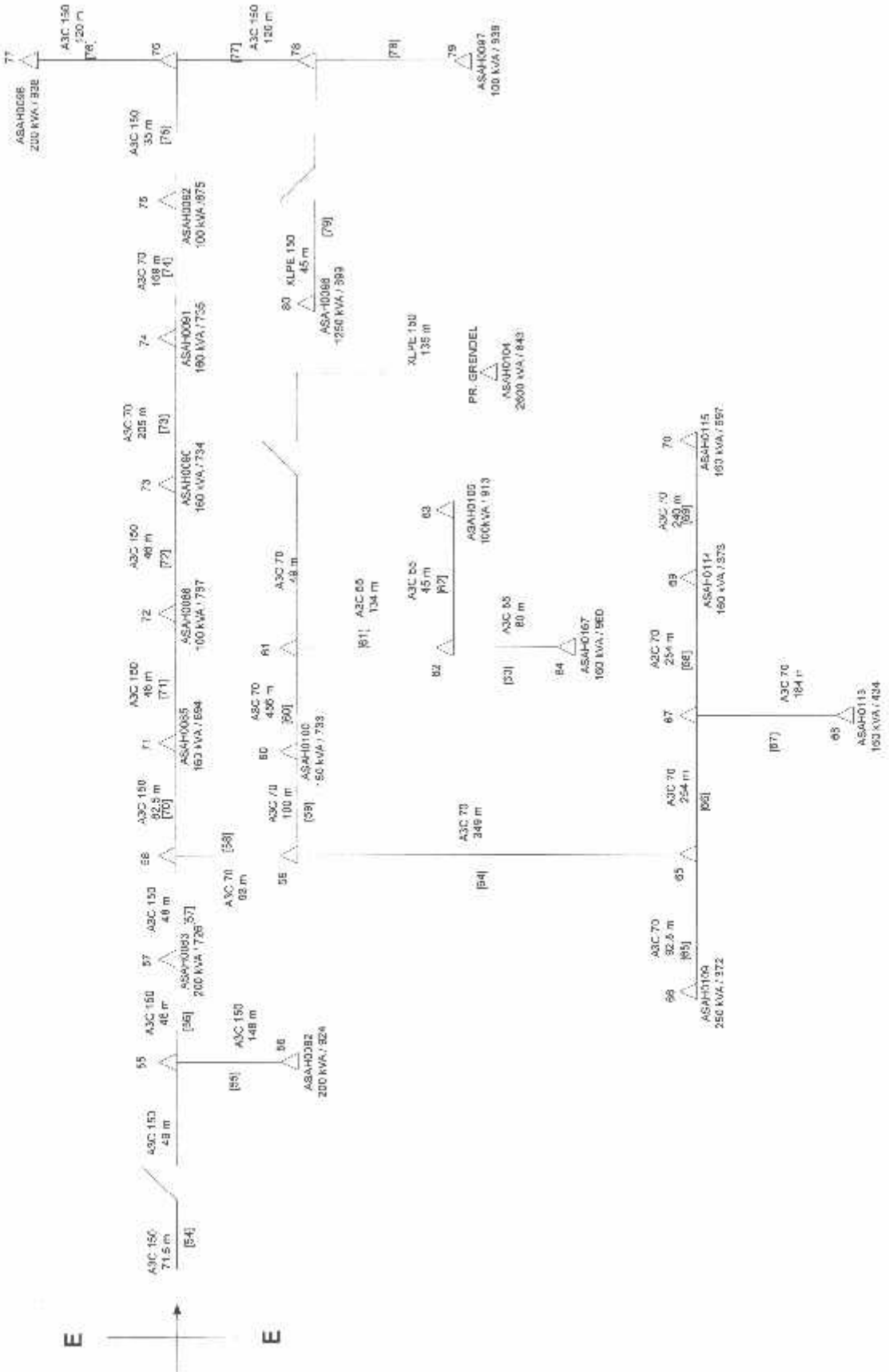


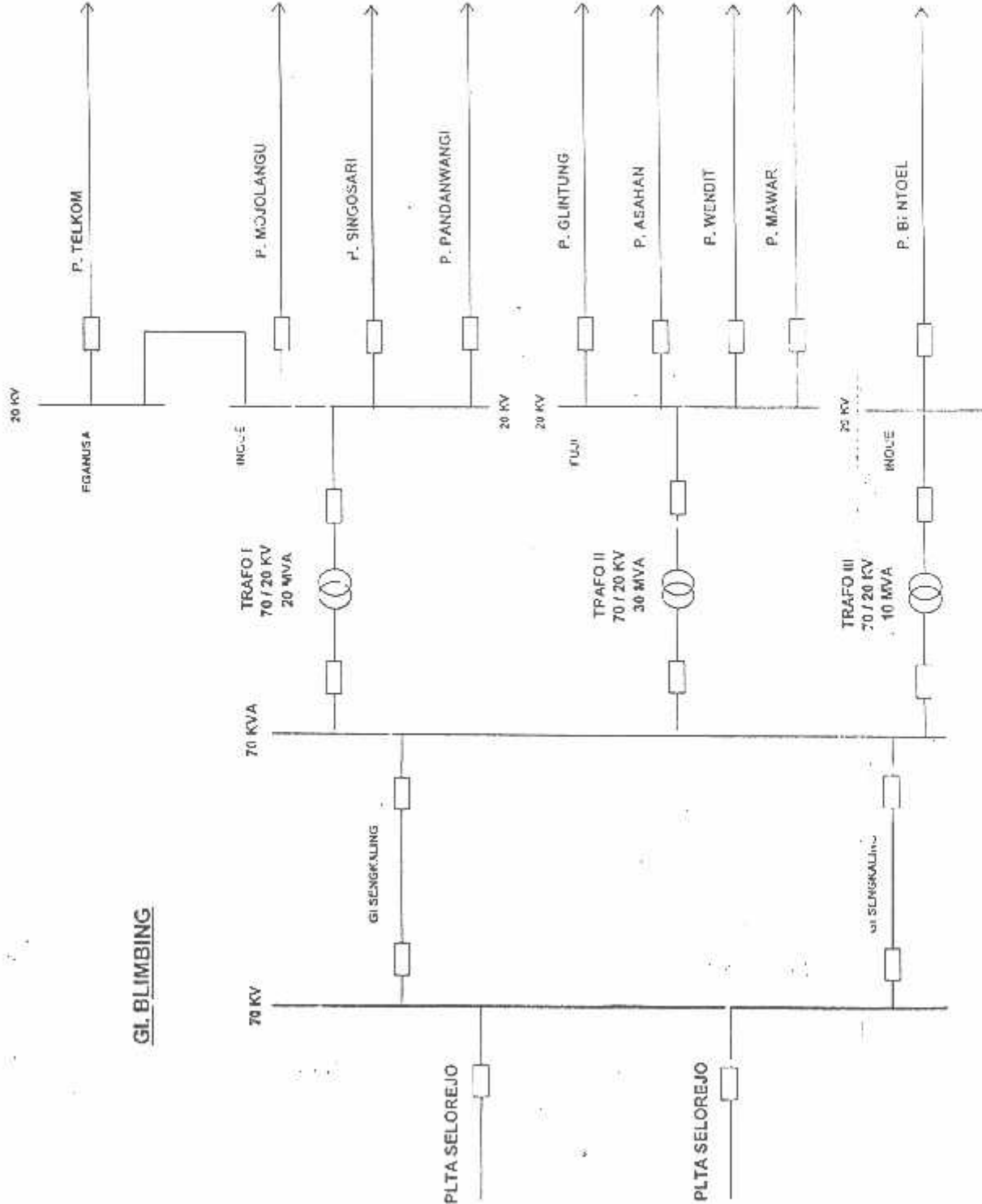
▼ *Single Line Diagram Sistem 20kV Penyulang Asahan*
Sumber : PT. PLN (PLRSLRO) Distribusi JATIM - CABANG MALANG









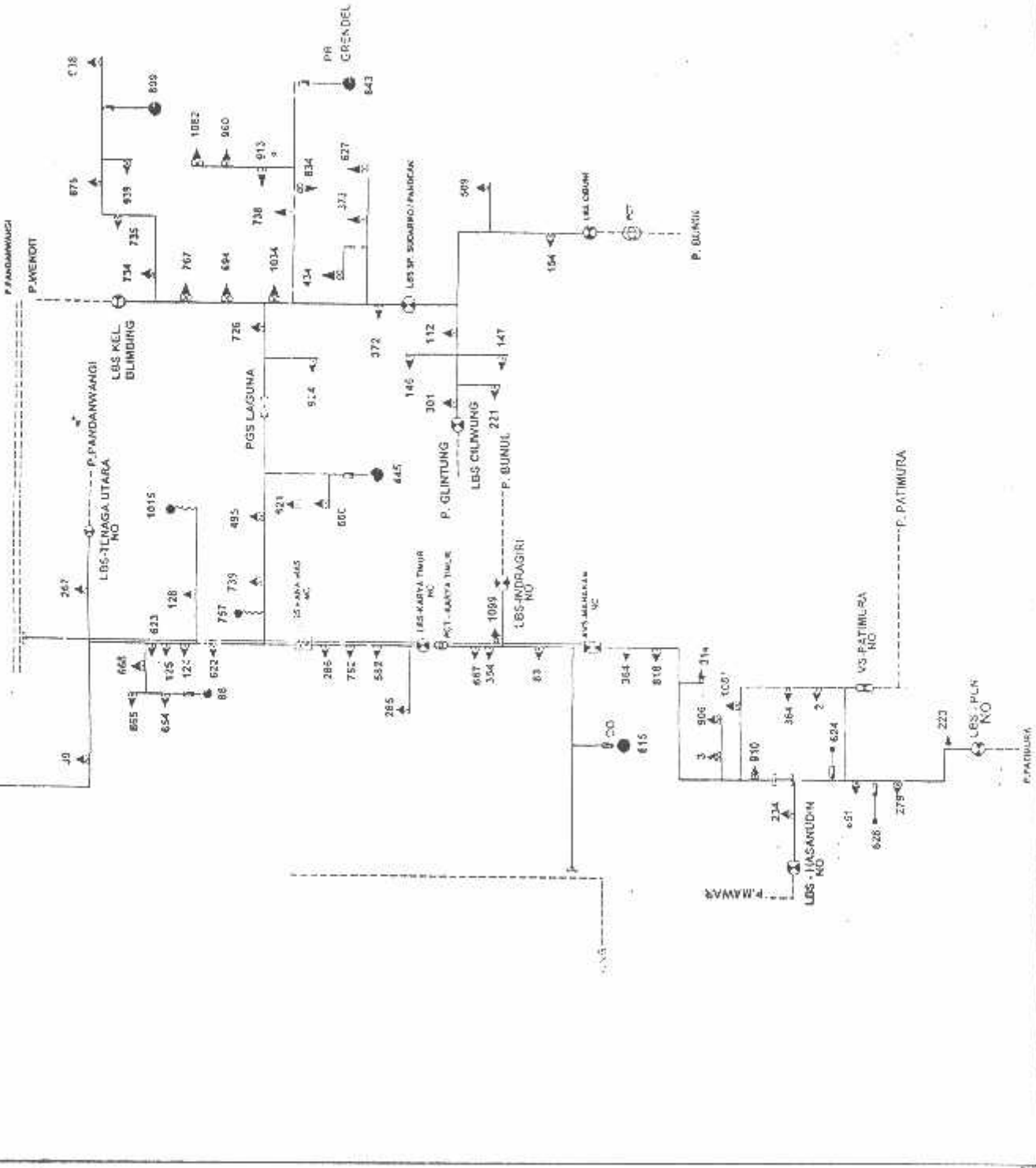


○ TRANSFORMATOR
□ PEMUTUS
→ PENYULANG

SINGLE LINE DIAGRAM
GARDU INDUK BLIMBING

| | | |
|-------------------|-----------|--------|
| DR. SAMIHAR | DPL. UNSA | DISEWA |
| Orang : LUDIADI O | Arief H | |

GL. BLIMBING



**DATA TRAFO DISTRIBUSI
UNIT JARINGAN MALANG**

**SEKSI : MAPPING
BULAN : MEI 2005**



PT. PLN (PERSERO)
AREA PELAYANAN DAN JARINGAN MALANG
JL. JEND. BASUKI RACHMAD 100 MALANG

**DATA TRAFO DISTRIBUSI
 UP KOTA**

| GTT | DAYA | BEBAN | % | ALAMAT | PENYULANG 20 KV | PELANGGAN |
|--------|------|--------|-------|--------------------------------|-----------------|-----------|
| T.8 | 200 | 105,12 | 52,56 | Jl. Kebalen | P. Agus Salim | 305 |
| T.10 | 1600 | 0,00 | 0,00 | Jl. Merdeka Timur | P. Agus Salim | 1 |
| T.19 | 250 | 175,1 | 70,25 | Jl. Aris Munandar | P. Agus salim | 400 |
| T.64 | 400 | 150,90 | 75,47 | Jl. Agus Salim (Bank Lippo) | P. Agus Salim | 1 |
| T.73 | 200 | 150,9 | 75,47 | Jl. Kebalen | P. Agus Salim | 477 |
| T.116 | 250 | 225,26 | 90,11 | Jl. Kresno | P. Agus Salim | 594 |
| T.119 | 200 | 136,4 | 68,25 | Jl. Juanda | P. Agus Salim | 415 |
| T.139 | 3x50 | 26,22 | 17,48 | Jl. Aris Munandar | P. Agus Salim | 24 |
| T.144 | 160 | 22,6 | 14,13 | Jl. Merdeka Timur | P. Agus Salim | 25 |
| T.155 | 250 | 153,94 | 61,58 | Jl. Kebalen | P. Agus Salim | 555 |
| T.170 | 3x50 | 12,68 | 8,44 | Jl. KH. Ahmad Dahlan | P. Agus Salim | 198 |
| T.195 | 250 | 156,7 | 62,71 | Jl. Juanda | P. Agus Salim | 491 |
| T.199 | 250 | 79,42 | 31,77 | Jl. Agus Salim | P. Agus Salim | 53 |
| T.212 | 200 | 119,02 | 59,51 | Jl. Kebalen | P. Agus Salim | 216 |
| T.277 | 250 | 18,92 | 7,57 | Jl. Merdeka timur | P. Agus Salim | 1 |
| T.350 | 160 | 85,5 | 53,44 | Jl. Merdeka Kantor Kabupaten | P. Agus Salim | 15 |
| T.351 | 3x50 | 22,62 | 14,14 | Jl. Merdeka Timur | P. Agus Salim | 2 |
| T.395 | 200 | 21,41 | 13,38 | Jl. KH. Ahmad Dahlan | P. Agus Salim | 2 |
| T.417 | 3X25 | 19,01 | 25,34 | Jl. Mangun saskoro (Boldy) | P. Agus Salim | 47 |
| T.427 | 800 | 0,00 | 0,00 | Malang Plaza | P. Agus Salim | 1 |
| T.450 | 630 | 0,00 | 0,00 | KH.Agus salim (Mitra I) | P. Agus Salim | 1 |
| T.472 | 630 | 0,00 | 0,00 | Gajahmada Plaza | P. Agus Salim | 1 |
| T.477 | 160 | 63,95 | 39,97 | Gajahmada Plaza | P. Agus Salim | 147 |
| T.510 | 200 | 141,19 | 70,6 | Jl. Zaenal Arifin | P. Agus Salim | 325 |
| T.552 | 160 | 0,00 | 0,00 | Jl. Kebalen (Pabrik kulit) | P. Agus Salim | 1 |
| T.563 | 160 | 110,06 | 68,79 | Jl. Aris Munandar | P. Agus Salim | 245 |
| T.819 | 160 | 52,9 | 33,06 | Jl. Sugijo wiryo Pranoto | P. Agus Salim | 1 |
| T.908 | 200 | 6,24 | 3,12 | Jl. Mangun Sarkoro | P. Agus Salim | 3 |
| T.1053 | 160 | 0,00 | 0,00 | Kantor Perda Kab. Malang | P. Agus Salim | 1 |
| T.1136 | 160 | 0,00 | 0,00 | Jl. Merdeka (Bank Indonesia) | P. Agus Salim | 1 |
| T.2 | 200 | 147,17 | 78,59 | Jl. Diponegoro | P. Asahan | 250 |
| T.3 | 200 | 119,25 | 59,63 | Jl. Jagung Suprapto | P. Asahan | 98 |
| T.83 | 100 | 56 | 35 | Jl. Mahakam | P. Asahan | 66 |
| T.223 | 3x25 | 0,00 | 0,00 | Jl. Jagung Suprapto | P. Asahan | 0 |
| T.234 | 100 | 66,83 | 66,83 | Jl. Hasanuddin | P. Asahan | 118 |
| T.279 | 250 | 74,15 | 37,07 | Jl. Jagung Suprapto (Tiara) | P. Asahan | 103 |
| T.314 | 3x50 | 127,75 | 85,17 | Jl. Wahidin | P. Asahan | 380 |
| T.354 | 160 | 128,18 | 85,46 | Jl. Karya Timur | P. Asahan | 77 |
| T.364 | 3x50 | 64,37 | 42,93 | Jl. Diponegoro | P. Asahan | 5 |

DATA TRAFO DISTRIBUSI
UP KOTA

| GTT | DAYA | BEBAN | % | ALAMAT | PENYULANG 20 KV | PELANGGAN |
|--------|------|--------|-------|-----------------------------------|-----------------|-----------|
| T.528 | 800 | 0,00 | 0,00 | Jl.J.A.Suprapto Hotel Kartika | P. Asahan | 1 |
| T.624 | 630 | 0,00 | 0,00 | Jl. J.A. Suprapto Hotel Reagent | P. Asahan | 1 |
| T.667 | 160 | 81,60 | 51,00 | Jl. Karya Timur | P. Asahan | 4 |
| T.815 | 630 | 472,50 | 75,00 | Jl. Letjen. Sutoyo (Mitra II) | P. Asahan | 1 |
| T.818 | 100 | 32,2 | 32,2 | Jl. Mahakam | P. Asahan | 218 |
| T.851 | 160 | 49,28 | 30,84 | Jl. JA. Suprapto | P. Asahan | 18 |
| T.906 | 160 | 0,00 | 0,00 | Jl. JA. Suprapto (Dunkin donat) | P. Asahan | 2 |
| T.910 | 100 | 0,00 | 0,00 | Jl. JA. Suprapto (BPD Jatim) | P. Asahan | 4 |
| T.1081 | 160 | 100,05 | 62,53 | Jl. Dr. Cipto | P. Asahan | 55 |
| T.1099 | 100 | 47,61 | 47,61 | Jl. Ciwulan | P. Asahan | 105 |
| T.384 | 3X25 | 9,47 | 12,63 | Jl.Mahakam | P. Asahan | 40 |
| T.80 | 200 | 124 | 62 | Jl. Jend. Basuki Rachmad (PLN) | P. Asahan | 297 |
| T.5 | 100 | 73,25 | 73,25 | Jl. Urip Sumoharjo | P. Bunul | 186 |
| T.12 | 3x50 | 93,15 | 62,1 | Jl. P. Sudirman | P. Bunul | 27 |
| T.13 | 160 | 65,49 | 40,93 | Jl. Kesatrian Utara | P. Bunul | 173 |
| T.26 | 100 | 28,54 | 28,54 | Jl. Indragiri | P. Bunul | 147 |
| T.63 | 150 | 84,97 | 42,49 | Jl. Hamid Rusdi | P. Bunul | 386 |
| T.67 | 3x50 | 0,00 | 0,00 | Jl. Ronggo Lawe | P. Bunul | 3 |
| T.89 | 200 | 147,15 | 73,58 | Jl.Kesatrian | P. Bunul | 311 |
| T.90 | 3X50 | 79,74 | 53,16 | Jl.Hamid rusdi | P. Bunul | 345 |
| T.95 | 160 | 95,89 | 87,05 | Jl. Pattimura | P. Bunul | 5 |
| T.126 | 3x50 | 104,78 | 69,86 | Jl. Amandit | P. Bunul | 103 |
| T.151 | 25 | 62,94 | 41,94 | Jl. P. Sudirman | P. Bunul | 195 |
| T.161 | 3X50 | 73,44 | 48,96 | Jl.Sanan | P. Bunul | 188 |
| T.168 | 100 | 60,88 | 60,88 | Jl. Kapuas | P. Bunul | 97 |
| T.171 | 200 | 160,45 | 80,22 | Jl. P. Sudirman | P. Bunul | 139 |
| T.184 | 3x50 | 78,72 | 52,48 | Jl. Pandan Laras | P. Bunul | 332 |
| T.232 | 200 | 188,51 | 75,41 | Jl. Hamid Rusdi | P. Bunul | 407 |
| T.271 | 25 | 1,58 | 0,99 | Jl.Narotama | P. Bunul | 7 |
| T.292 | 100 | 10,03 | 10,03 | Jl.Wr.Supratman (RS.Lavalete) | P. Bunul | 1 |
| T.313 | 3x25 | 0,00 | 0,00 | Jl. Musi | P. Bunul | 75 |
| T.316 | 3x25 | 56,42 | 75,23 | Jl. Serayu | P. Bunul | 51 |
| T.317 | 160 | 91,54 | 57,21 | Jl. Indragiri | P. Bunul | 226 |
| T.326 | 160 | 62,66 | 31,33 | Jl. Amprong | P. Bunul | 213 |
| T.327 | 3x50 | 55,76 | 74,34 | Jl. Hamid Rusdi | P. Bunul | 134 |
| T.328 | 3x25 | 8,1 | 10,8 | Jl. Hamid Rusdi | P. Bunul | 228 |
| T.329 | 160 | 81,81 | 54,54 | Jl. Ters. Kesatrian | P. Bunul | 113 |
| T.330 | 3x25 | 36,55 | 48,73 | Jl. Kesatrian | P. Bunul | 55 |
| T.352 | 100 | 56,03 | 56,03 | Jl.Ngujil Puskopad | P. Bunul | 214 |

DATA TRAFO DISTRIBUSI
UP BLIMBING

| No | GTT | DAYA | BEBAN | % | ALAMAT | PENYULANG 20 kV | PELANGGAN |
|----|--------|------|--------|--------|------------------------------------|-----------------|-----------|
| 0 | T.951 | 160 | 38,84 | 24,28 | BTN Asrikaton | P. AR. Saleh | 334 |
| 1 | T.952 | 160 | 78,75 | 49,22 | BTN Asrikaton | P. AR. Saleh | 582 |
| 2 | T.953 | 160 | 0,00 | 0,00 | Jl. Bogis (P.Sepatu Sani) | P. AR. Saleh | 1 |
| 3 | T.1062 | 100 | 61,06 | 61,06 | Ds. Asrikaton | P. AR. Saleh | 165 |
| 4 | T.1066 | 160 | 80,00 | 50,00 | Jl. Teluk Grajakan | P. AR. Saleh | 288 |
| 5 | T.39 | 200 | 161,36 | 80,68 | Jl. Borobudur | P. Asahan | 350 |
| 6 | T.88 | 100 | 77,00 | 77,00 | Jl. Tenaga (Panamas) | P. Asahan | 1 |
| 7 | T.112 | 250 | 0,00 | 0,00 | Jl. Ciliwung | P. Asahan | 238 |
| 8 | T.124 | 100 | 67,98 | 33,99 | Jl. Tenaga Utara (Koya Nanas) | P. Asahan | 1 |
| 9 | T.125 | 160 | 206,34 | 137,56 | Jl. Karya timur (PT.Bentoel) | P. Asahan | 94 |
| 10 | T.128 | 160 | 19,95 | 19,95 | Jl. Karya Timur | P. Asahan | 1 |
| 11 | T.146 | 250 | 0,00 | 0,00 | Jl. Purwantoro | P. Asahan | 470 |
| 12 | T.147 | 250 | 103,70 | 41,48 | Jl. Citarum | P. Asahan | 167 |
| 13 | T.154 | 160 | 116,47 | 72,80 | Jl. Tumenggung suryo | P. Asahan | 359 |
| 14 | T.221 | 160 | 36,29 | 22,68 | Jl. Ciujung | P. Asahan | 68 |
| 15 | T.267 | 100 | 109,44 | 80,24 | Jl. Tenaga (P. Sabun Asoka) | P. Asahan | 120 |
| 16 | T.285 | 25 | 1,25 | 5,00 | Jl. Karya Timur (PT. Grendel) | P. Asahan | 1 |
| 17 | T.286 | 200 | 140,82 | 70,41 | Jl. Karya Timur | P. Asahan | 342 |
| 18 | T.301 | 160 | 0,00 | 0,00 | Jl. Ciliwung | P. Asahan | 229 |
| 19 | T.372 | 250 | 264,02 | 102,24 | Jl. S.Priyo Sudarmo | P. Asahan | 375 |
| 20 | T.373 | 160 | 100,72 | 62,93 | Jl. Tembaga | P. Asahan | 174 |
| 21 | T.434 | 160 | 84,80 | 53,00 | Jl. Patuk salam (Keramik) | P. Asahan | 1 |
| 22 | T.445 | 630 | 504,00 | 60,00 | Jl. Tenaga selatan PT.Kamia | P. Asahan | 2 |
| 23 | T.509 | 160 | 112,92 | 87,05 | Jl. Pandean | P. Asahan | 0 |
| 24 | T.582 | 160 | 20,80 | 13,00 | Jl. Karya Timur (Perush. Sepatu) | P. Asahan | 6 |
| 25 | T.621 | 100 | 13,00 | 13,00 | Jl. Simp. Tenaga | P. Asahan | 1 |
| 26 | T.622 | 100 | 88,00 | 88,00 | Jl. Tenaga barat | P. Asahan | 2 |
| 27 | T.623 | 200 | 34,00 | 17,00 | Jl. Tenaga utara (PR.Bentoel) | P. Asahan | 1 |
| 28 | T.654 | 100 | 23,00 | 23,00 | Jl. Industri Barat (Pbr.Plastik) | P. Asahan | 6 |
| 29 | T.660 | 160 | 11,20 | 7,00 | Jl. Tenaga (Karoseri Podojoyo) | P. Asahan | 1 |
| 30 | T.668 | 250 | 130,00 | 52,00 | Jl. Tenaga (PT. Kamia) | P. Asahan | 2 |
| 31 | T.694 | 160 | 16,00 | 10,00 | Jl. P. Sudarmo (Bengkel HOK) | P. Asahan | 2 |
| 32 | T.697 | 160 | 150,22 | 93,05 | Jl. Emas (BTN Puskopad) | P. Asahan | 325 |
| 33 | T.726 | 160 | 47,84 | 29,56 | Jl. Tenaga (Vinsan Motor) | P. Asahan | 3 |
| 34 | T.734 | 160 | 13,39 | 8,90 | Jl. Tenaga Baru I | P. Asahan | 16 |
| 35 | T.735 | 160 | 53,33 | 33,34 | Jl. Tenaga Baru IV | P. Asahan | 9 |
| 36 | T.738 | 200 | 96,78 | 48,34 | Jl. Taman Tenaga | P. Asahan | 58 |
| 37 | T.739 | 100 | 53,00 | 53,00 | Jl. Tenaga Selatan (PT.Kamia) | P. Asahan | 1 |
| 38 | T.752 | 200 | 68,00 | 34,00 | Jl. Karya Timur (Delta Mas.) | P. Asahan | 2 |

**DATA TRAFO DISTRIBUSI
 UP BLIMBING**

| GTT | DAYA | BEBAN | % | ALAMAT | PENYULANG 20 KV | PELANGGAN |
|--------|------|--------|-------|-----------------------------------|-----------------|-----------|
| T.757 | 630 | 441,00 | 70,00 | Jl. Tenaga (Pabrik pemen) | P. Asahan | 1 |
| T.767 | 160 | 48,00 | 30,00 | Jl. Tumenggung Suryo | P. Asahan | 3 |
| T.834 | 160 | 29,40 | 18,39 | Jl. Tenaga (Pabrik Cat) | P. Asahan | 10 |
| T.843 | 2600 | 0,00 | 0,00 | Jl. Teis. Batu Bera PR.Grendel | P. Asahan | 1 |
| T.865 | 200 | 0,00 | 0,00 | Jl. Tenaga Pabrik Plastik | P. Asahan | 1 |
| T.875 | 160 | 40,59 | 31,24 | Jl. Tenaga Baru | P. Asahan | 16 |
| T.899 | 1250 | 1000 | 80,00 | Jl. Tenaga Baru III | P. Asahan | 1 |
| T.913 | 100 | 0,00 | 0,00 | Jl. Tenaga Baru Gereja Bhetany | P. Asahan | 1 |
| T.924 | 200 | 0,00 | 0,00 | Jl. Priyo Sudarmo | P. Asahan | 1 |
| T.938 | 200 | 21,74 | 12,35 | Jl. Tenaga Baru V | P. Asahan | 1 |
| T.939 | 100 | 77,00 | 77,00 | Jl.Tenaga Gudang Kulit | P. Asahan | 0 |
| T.960 | 160 | 80,00 | 50,00 | Jl. Tenaga Baru IV (Percetakan) | P. Asahan | 1 |
| T.1034 | 200 | 0,00 | 0,00 | Jl. Priyo Sudarmo | P. Asahan | 1 |
| T.1015 | 630 | 0,00 | 0,00 | Jl. Tenaga Tengah | P. Asahan | 1 |
| T.1082 | 100 | 0,00 | 0,00 | Jl.Tenaga IV | P. Asahan | 2 |
| T.1046 | 50 | 0,00 | 0,00 | Ds. Ampeldento | P. Asrikaton | 200 |
| T.205 | 250 | 118,94 | 47,58 | Ds. Madyopuro | P. Banjarejo | 361 |
| T.441 | 160 | 83,47 | 52,17 | Ds. Cemoro Kandang | P. Banjarejo | 330 |
| T.442 | 160 | 123,20 | 77,00 | Ds. Cemoro Kandang | P. Banjarejo | 535 |
| T.479 | 160 | 88,40 | 55,28 | Ds. Kedungrejo | P. Banjarejo | 278 |
| T.480 | 100 | 64,00 | 64,00 | Ds. Kedung Boto | P. Banjarejo | 335 |
| T.481 | 100 | 47,94 | 47,94 | Ds. Amprong | P. Banjarejo | 202 |
| T.507 | 200 | 129,41 | 64,56 | Ds. Sekarpuro | P. Banjarejo | 392 |
| T.750 | 100 | 44,40 | 44,40 | Perum Buring Satelit | P. Banjarejo | 236 |
| T.753 | 160 | 31,05 | 19,41 | Jl. Pal Merah | P. Banjarejo | 188 |
| T.754 | 100 | 28,42 | 17,76 | Jl. Pal Merah | P. Banjarejo | 190 |
| T.814 | 160 | 124,20 | 77,63 | Ds. Madyopuro | P. Banjarejo | 373 |
| T.833 | 100 | 80,10 | 80,10 | Ds. Ampeldento | P. Banjarejo | 256 |
| T.837 | 160 | 24,64 | 15,40 | Jl. Kemayoran (Buring Satelit) | P. Banjarejo | 176 |
| T.838 | 160 | 24,26 | 15,18 | Jl. Kemayoran (Buring Satelit) | P. Banjarejo | 148 |
| T.888 | 100 | 24,42 | 24,42 | Ds. Baran Ganitri | P. Banjarejo | 111 |
| T.896 | 100 | 8,44 | 8,44 | Jl. Polonia | P. Banjarejo | 54 |
| T.897 | 160 | 0,00 | 0,00 | Jl. Polonia III Buring Selatan | P. Banjarejo | 17 |
| T.919 | 50 | 16,26 | 32,53 | Jl. Eltar | P. Banjarejo | 144 |
| T.958 | 160 | 0,00 | 0,00 | PDAM Buring Satelit | P. Banjarejo | 1 |
| T.1130 | 200 | 0,00 | 0,00 | Jl.Bandara Narita | P. Banjarejo | 0 |
| T.1131 | 200 | 0,00 | 0,00 | Jl.Bandara Narita | P. Banjarejo | 0 |
| T.526 | 160 | 122,88 | 76,80 | Ds. Glegah Urik (BTN Puskopad | P. Bunul | 246 |
| T.709 | 160 | 47,70 | 29,81 | Ds. Jembangan | P. Bunul | 196 |

```

function [V,ite,S,Sloss,Sup]=DVLoadflow(N,z,Beban>Type,a0,a1,a2,a3,e1,e2)
% Load Flow Metode Incorporating Composite Load Models
%-----
[Vc,d]=InitialData(N);
[A]=MatrikA(N,z);
[Z]=Saluran(N,z);
V=ones(N-1,1);
[Load]=UbahNoBeban(N,Beban);
%-----
Cek=0;
ite=0;
for i=1:10
    if Cek==1
        break;
    end
    [V0]=SimpanTeg(N,V);
    [PL,QL,SL]=UbahBeban(N,V,Load>Type,a0,a1,a2,a3,e1,e2);
    [P,Q,Sloss,Sup]=SumOfPower(N,A,Z,PL,QL,V);
    [V]=UpdateTegangan(N,P,Q,z,V);
    [Cek]=Konvergen(N,V0,V);
    ite=ite+1;
end
S=zeros(N-1,1);
for i=1:N-1
    S(i)=complex(P(i),Q(i));
end

function [Vc,d]=InitialData(N)
n=N-1;
Vc=zeros(n,1);
d=zcros(n,1);
for i=1:n
    Vc(i)=complex(1,0);
end

function [A]=MatrikA(N,z)

%Menghitung Matrik A untuk topologi jaringan
n=N-1;
A=zeros(n,n);
for i=1:N
    for j=1:N
        Xa=imag(z(i,j));
        if Xa==0
            A(j-1,j-1)=1;
            for k=j:N
                Xa=imag(z(j,k));
                if Xa==0
                    A(j-1,k-1)=1;
                end
            end
        end
    end
end

```

```

function [Z]=Saluran(N,z)
%Metode untuk mempermudah perhitungan
n=N-1;
Z=zcros(n,1);
for i=1:N
    for j=1:N
        Xa=imag(z(i,j));
        if Xa==0
            Z(j-1)=z(i,j);
        end
    end
end

function [Load]=UbahNoBeban(N,Beban)
%Metode mengubah penomoran Beban
n=N-1;
Load=zeros(n,1);
for i=1:n
    Load(i)=complex(Beban(i+1,5),Beban(i+1,6));
end

function [V0]=SimpanTeg(N,V)
n=N-1;
V0=zeros(n,1);
for i=1:n
    V0(i)=V(i);
end

function [PL,QL,SL]=UbahBeban(N,V,Load,Type,a0,a1,a2,a3,e1,e2)
%Menghitung beban yang tergantung dengan tegangan
n=N-1;
PL=zeros(n,1);
QL=zeros(n,1);
SL=0+0i;
for i=1:n
    if Type==1
        PL(i)=real(Load(i))*V(i)^y;
        QL(i)=imag(Load(i))*V(i)^y;
    elseif Type==2
        PL(i)=real(Load(i))*V(i)^a;
        QL(i)=imag(Load(i))*V(i)^b;
    elseif Type==3
        PL(i)=real(Load(i))*(a0+a1*V(i)+a2*V(i)^2+a3*V(i)^c1);
        QL(i)=imag(Load(i))*(a0+a1*V(i)+a2*V(i)^2+a3*V(i)^c2);
    end
    SL=SL+complex(PL(i),QL(i));
end

function [P,Q,Sloss,Sup]=SumOfPower(N,A,Z,PL,QL,V)
%Metode Backward Sweep untuk menjumlahkan Daya
n=N-1;
P=zeros(n,1);
Q=zeros(n,1);
Sloss=zeros(n,1);
Sup=0+0i;
for i=n:-1:1

```

```

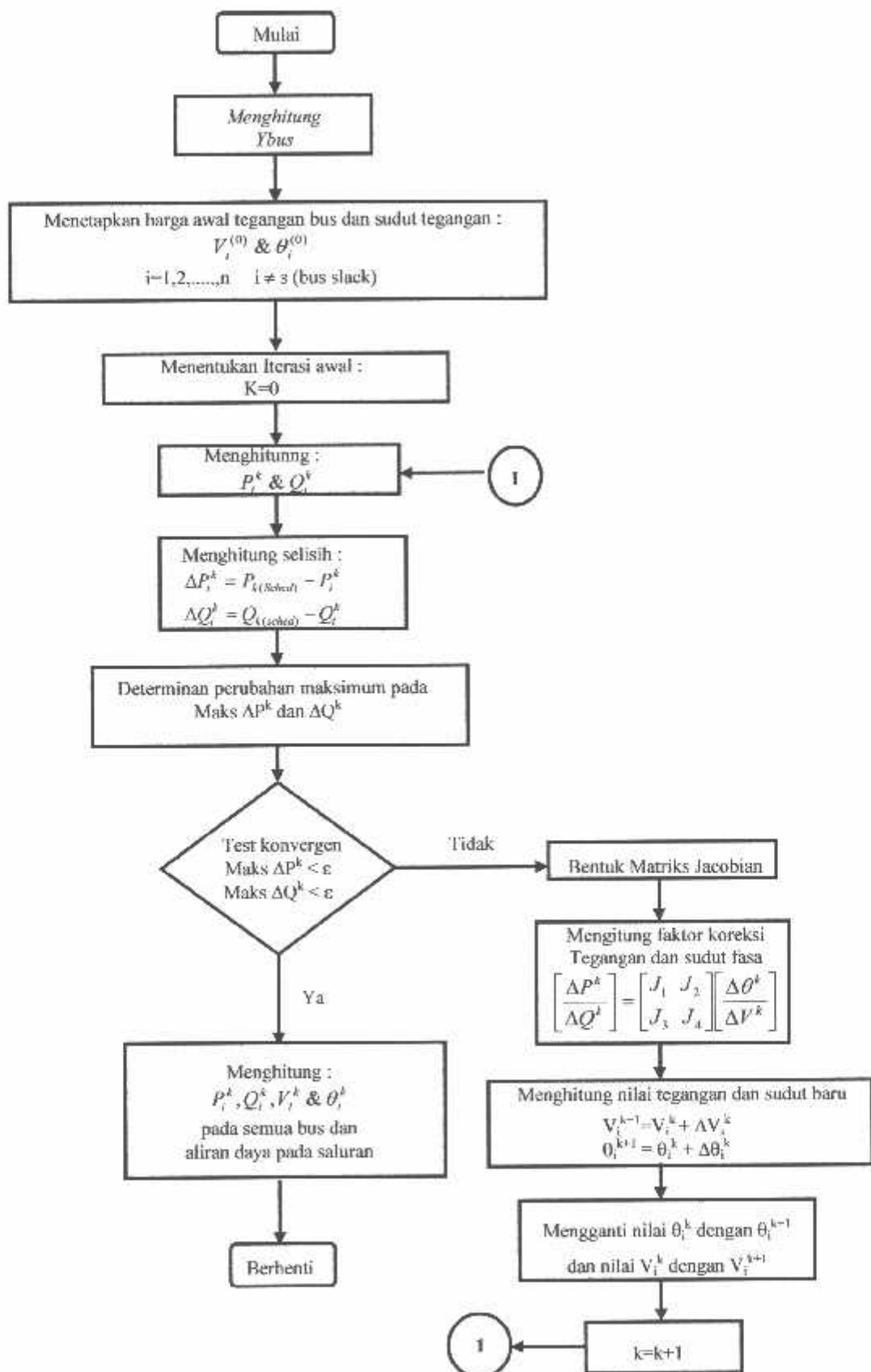
P(i)=PL(i);
Q(i)=QL(i);
if i==n
    for j=i+1:n
        if A(i,j)==0
            P(i)=P(i)+P(j);
            Q(i)=Q(i)+Q(j);
        end
    end
    Ploss=real(Z(i))*(P(i)^2+Q(i)^2)/(V(i)^2);
    Qloss=imag(Z(i))*(P(i)^2+Q(i)^2)/(V(i)^2);
    P(i)=P(i)+Ploss;
    Q(i)=Q(i)+Qloss;
    Sloss(i)=complex(Ploss,Qloss);
end
Sup=complex(P(1),Q(1));

function [V,Vc,d]=UpdateTegangan(N,P,Q,z,V,Vc)
%Metode Forward Sweep untuk Update Tegangan
Vs=1.0;
n=N-1;
for i=1:N
    for j=1:N
        Xa=imag(z(i,j));
        if Xa==0
            Ri=real(z(i,j));
            Xi=imag(z(i,j));
            if i==1
                V(j-1)=(((P(j-1)*Ri+Q(j-1)*Xi-0.5*Vs^2)^2-((Ri^2+Xi^2)*(P(j-1)^2+Q(j-1)^2)))^0.5)-(P(j-1)*Ri+Q(j-1)*Xi-0.5*Vs^2))^0.5;
            else
                V(j-1)=(((P(j-1)*Ri+Q(j-1)*Xi-0.5*V(i-1)^2)^2-((Ri^2+Xi^2)*(P(j-1)^2+Q(j-1)^2)))^0.5)-(P(j-1)*Ri+Q(j-1)*Xi-0.5*V(i-1)^2))^0.5;
            end
        end
    end
end

function [Cek]=Konvergen(N,V0,V)
Cek=1;
n=N-1;
tol=0.00001;
for i=1:n
    dV=V(i)-V0(i);
    dV=abs(dV);
    if dV>tol
        Cek=0;
    end
end

```

Flowchart Perhitungan Aliran Daya Metode Newton Raphson .



```

function [V,ite,Alir,Sg,SL,SumG,SumL,Rr,RugiS,Jq]=NewtonPolar(N,z,Lc,Tr,Cap,Beban,Pbase)
%Loadflow Metode Newton Raphson Polar

%Baca Data-----
ite=0;
[V,Sg,SL,TypeBus]=BacaData(N,Beban,Pbase);
[Y]=Admitansi(N,z,Lc,Tr,Cap);
for i=1:15
    [dS]=PowerMismatch(N,Y,Lc,Sg,SL,TypeBus,V);
    [Cek]=CckKonvergen(N,dS,TypeBus);
    if Cek==1
        break;
    end
    [Jq]=Jaqobian(N,V,Y,TypeBus);
    [V]=UpdateTegangan(N,V,Jq,dS,TypeBus);
    ite=ite+1;
end
[Vr]=UbahRectangular(N,V);
[Alir]=AlirDaya(N,Vr,Y,Lc,Pbase);
[Sg]=Daya(N,Vr,TypeBus,Sg,SL,Y,Phase,Alir);
SL=Pbase*SL;
[SumG,SumL,Rr]=RugiRugi(N,Sg,SL);
[RugiS]=RugiSaluran(N,z,Alir);

function [V,Sg,SL,TypeBus]=BacaData(N,Beban,Pbase)
V=zeros(N,1);
Sg=zeros(N,1);
SL=zeros(N,1);
TypeBus=zeros(N,1);
for i=1:N
    V(i)=complex(Beban(i,1),Beban(i,2));
    Sg(i)=complex(Beban(i,3)/Pbase,Beban(i,4)/Pbase);
    SL(i)=complex(Beban(i,5)/Pbase,Beban(i,6)/Pbase);
    TypeBus(i)=Beban(i,7);
end

function [Y]=Admitansi(N,z,Lc,Tr,Cap)
Y=zeros(N,N);
C=zeros(N,N);
for i=1:N
    for j=1:N
        xa=imag(z(i,j));
        if xa~=0
            z(j,i)=z(i,j);
            Lc(j,i)=Lc(i,j);
        end
    end
end
for i=1:N
    for j=1:N
        xa=imag(z(i,j));
        if xa~=0
            C(i,j)=1/z(i,j);
        end
    end
end

```

```

for i=1:N
    for j=1:N
        if i==j
            sumA=0;
            sumB=0;
            for k=1:N
                if i==k
                    sumA=sumA+real(C(i,k));
                    sumB=sumB+imag(C(i,k))+l.c(i,k);
                end
            end
            if Cap(i)==0
                sumB=sumB-Cap(i);
            end
            Y(i,j)=complex(sumA,sumB);
        else
            Y(i,j)=complex(-real(C(i,j)), -imag(C(i,j)));
        end
    end
    for i=1:N
        for j=1:N
            if Tr(i,j)==0
                Tr(i,j)=1/Tr(i,j);
                Y(i,i)=Y(i,i)-C(i,j);
                Y(i,j)=Y(i,i)+C(i,j)*Tr(i,j)^2;
                Y(j,i)=Tr(i,j)*Y(i,j);
                Y(j,j)=Y(i,j);
            end
        end
    end
    for i=1:N
        if Cap(i)==0
            re=real(Y(i,i));
            im=imag(Y(i,i))+Cap(i);
            Y(i,i)=complex(re,im);
        end
    end
end

```

```

function [dS]=PowerMismatch(N,Y,Lc,Sg,SL,TypBus,V)
%Fungsi ini untuk menghitung selisih daya
PV=0;
for i=1:N
    if TypBus(i)==2
        PV=PV+1;
    end
end
n=N-1+N-1-PV;
dS=zeros(n,1);
Pe=zeros(N,1);
Qc=zeros(N,1);
sp=0;
sq=0;
for i=1:N
    if TypBus(i)~=1

```

```

sum1=0;
for j=1:N
    Gij=real(Y(i,j));
    Bij=imag(Y(i,j));
    Ui=real(V(i));
    Uj=real(V(j));
    dij=imag(V(i))-imag(V(j));
    sum1=sum1+Ui*Uj*(Gij*cos(dij)+Bij*sin(dij));
end
Pc(i)=sum1;
end
if TypBus(i)==3
    sum2=0;
    for j=1:N
        Gij=real(Y(i,j));
        Bij=imag(Y(i,j));
        Ui=real(V(i));
        Uj=real(V(j));
        dij=imag(V(i))-imag(V(j));
        sum2=sum2+Ui*Uj*(Gij*sin(dij)-Bij*cos(dij));
    end
    Qc(i)=sum2;
end
end
sp=0;
sq=N-1;
for i=1:N
    if TypBus(i)==1
        sp=sp+1;
        dS(sp)=real(Sg(i))-real(SL(i))-Pc(i);
    end
    if TypBus(i)==3
        sq=sq+1;
        dS(sq)=imag(Sg(i))-imag(SL(i))-Qc(i);
    end
end

function [Jq]=Jaqobian(N,V,Y,TypBus)
PV=0;
for i=1:N
    if TypBus(i)==2
        PV=PV+1;
    end
end
NJq=N-1+N-1-PV;
Jq=zeros(NJq,NJq);
%Pembentukan Jaqobian H
row=0;
for i=1:N
    if TypBus(i)==1
        row=row+1;
        col=0;
        for j=1:N
            if TypBus(j)==1
                col=col+1;
                Ui=real(V(i));

```

```

di=imag(V(i));
Uj=real(V(j));
dj=imag(V(j));
Gij=real(Y(i,j));
Bij=imag(Y(i,j));
if j==i
    sum=0;
    for k=1:N
        Uk=real(V(k));
        dk=imag(V(k));
        Gjk=real(Y(j,k));
        Bjk=imag(Y(j,k));
        sum=sum+((Gjk*sin(dj-dk)-Bjk*cos(dj-dk))*Uk);
    end
    Qj=sum*Uj;
    Jq(row,col)=Qj-Bij*Uj^2;
else
    Jq(row,col)=Ui*Uj*(Gij*sin(di-dj)-Bij*cos(di-dj));
end
end
end
%Pembentukan Jacobian L
row=N-1;
for i=1:N
    if TypBus(i)==3
        row=row+1;
        col=N-1;
        for j=1:N
            if TypBus(j)==3
                col=col+1;
                Ui=real(V(i));
                di=imag(V(i));
                Uj=real(V(j));
                dj=imag(V(j));
                Gij=real(Y(i,j));
                Bij=imag(Y(i,j));
                if j==i
                    sum=0;
                    for k=1:N
                        Uk=real(V(k));
                        dk=imag(V(k));
                        Gjk=real(Y(j,k));
                        Bjk=imag(Y(j,k));
                        sum=sum+((Gjk*sin(dj-dk)-Bjk*cos(dj-dk))*Uk);
                    end
                    Qj=sum*Uj;
                    Jq(row,col)=Qj-Bij*Uj^2;
                else
                    Jq(row,col)=Ui*Uj*(Gij*sin(di-dj)-Bij*cos(di-dj));
                end
            end
        end
    end
end

```

```

%Pembentukan Jacobian N
row=0;
for i=1:N
    if TypBus(i) == 1
        row=row+1;
        col=N-1;
        for j=1:N
            if TypBus(j)==3
                col=col+1;
                Ui=real(V(i));
                di=imag(V(i));
                Uj=real(V(j));
                dj=imag(V(j));
                Gij=real(Y(i,j));
                Bij=imag(Y(i,j));
                if j==i
                    sum=0;
                    for k=1:N
                        Uk=real(V(k));
                        dk=imag(V(k));
                        Gjk=real(Y(j,k));
                        Bjk=imag(Y(j,k));
                        sum=sum+((Gjk*cos(dj-dk)-Bjk*sin(dj-dk))*Uk);
                    end
                    Pj=sum*Uj;
                    Jq(row,col)=Pj+Gij*Uj^2;
                else
                    Jq(row,col)=Ui*Uj*(Gij*cos(di-dj)+Bij*sin(di-dj));
                end
            end
        end
    end
%Pembentukan Jacobian M
row=N-1;
for i=1:N
    if TypBus(i)==3
        row=row+1;
        col=0;
        for j=1:N
            if TypBus(j)== 1
                col=col+1;
                Ui=real(V(i));
                di=imag(V(i));
                Uj=real(V(j));
                dj=imag(V(j));
                Gij=real(Y(i,j));
                Bij=imag(Y(i,j));
                if j==i
                    sum=0;
                    for k=1:N
                        Uk=real(V(k));
                        dk=imag(V(k));
                        Gjk=real(Y(j,k));
                        Bjk=imag(Y(j,k));
                        sum=sum+((Gjk*cos(dj-dk)+Bjk*sin(dj-dk))*Uk);
                    end
                end
            end
        end
    end

```

```

    end
    Pj=sum*Uj;
    Jq(row,col)=Pj-Gij*Uj^2;
else
    Jq(row,col)=-Ui*Uj*(Gij*cos(di-dj)+Bij*sin(di-dj));
end
end
end
end
function [V]=UpdateTegangan(N,V,Jq,dS,TypeBus)
PV=0;
for i=1:N
    if TypeBus(i)==2
        PV=PV+1;
    end
end
n=N-1+N-1-PV;
dV=zeros(n,1);
dV=Jq\ds;
sp=0;
sq=0;
for i=1:N
    if TypeBus(i)==1
        sp=sp+1;
        V(i)=complex(real(V(i)),imag(V(i))+dV(sp));
    end
end
sq=N-1;
for i=1:N
    if TypeBus(i)==3
        sq=sq+1;
        dt=dV(sq)*real(V(i));
        V(i)=complex(real(V(i))+dt,imag(V(i)));
    end
end
end

function [Cek]=CekKonvergen(N,dS,TypeBus)
Cek=1;
PV=0;
for i=1:N
    if TypeBus(i)==2
        PV=PV+1;
    end
end
n=N-1+N-1-PV;
Tol=0.0001;
for i=1:n
    if abs(dS(i))>Tol
        Cek=0;
    end
end
end

function [Vr]=UbahRectangular(N,V)
Vr=zeros(N,1);
for i=1:N

```

```

Vreal=real(V(i))*cos(imag(V(i)));
Vimag=real(V(i))*sin(imag(V(i)));
Vr(i)=complex(Vreal,Vimag);
end

function [Alir]=AlirDaya(N,V,Y,Lc,Pbase)
Alir=zeros(N,N);
for i=1:N
    for j=1:N
        Lc(j,i)=Lc(i,j);
    end
end
for i=1:N
    for j=1:N
        if j==i
            Yx=imag(Y(i,j));
            if Yx==0
                Ys=complex(-real(Y(i,j)), -imag(Y(i,j)));
                Ls=complex(0,Lc(i,j));
                Al=conj(V(i))*(V(i)-V(j))*Ys+conj(V(i))*V(i)*Ls;
                Alir(i,j)=complex(real(Al)*Pbase, -imag(Al)*Pbase);
            end
        end
    end
end

function [Sg]=Daya(N,V,Typ,Sg,SL,Y,Pbase,Alir)
for i=1:N
    sum=0;
    if Typ(i)==1
        for j=1:N
            Al=imag(Y(i,j));
            if Al==0
                sum=sum+Alir(i,j);
            end
        end
        Sg(i)=sum+SL(i)*Pbase;
    end
    sum=0;
    if Typ(i)==2
        for j=1:N
            sum=sum+(imag(V(i))*(real(V(j))*real(Y(i,j))+imag(V(j))*-imag(Y(i,j)))-real(V(i))*(imag(V(j))*real(Y(i,j))-real(V(j))*-imag(Y(i,j))));
        end
        Sg(i)=complex(real(Sg(i))*Pbase,(sum+imag(SL(i)))*Pbase);
    end
    if Typ(i)==3
        Cap=imag(Sg(i));
        if Cap==0
            Sg(i)=Pbase*Sg(i);
        end
    end
end

```

```
function [SumG,SumL,Rr]=RugiRugi(N,Sg,SL)
Rr=zeros(N,1);
SumG=0+0i;
SumL=0+0i;
for i=1:N
    SumG=SumG+Sg(i);
    SumL=SumL+SL(i);
end
Rr=SumG-SumL;

function [RugiS]=RugiSaluran(N,z,Afir)
RugiS=zeros(N,N);
for i=1:N
    for j=1:N
        Xa=imag(z(i,j));
        if Xa~=0
            RugiS(i,j)=Afir(i,j)+Afir(j,i);
        end
    end
end
```

```

clc
%Data-----
disp(' ');
disp(' ');
disp(' ');
SKRIPSI
Analisa Aliran Daya dengan Metode Incorporating Composite Load Models
Pada Jaringan Distribusi Radial Seimbang
Di Gardu Induk Blimbing
disp(' ');
disp(' ');
disp(' ');
Disusun Oleh :
Nama : Andy Tri Dharmika
Nim : 00.120008
disp(' ');
disp(' ');
N=80;
Ns=79;
z=zeros(N,N);
Lc=zeros(N,N);
Tr=zeros(N,N);
Cap=zeros(N,1);
Beban=zeros(N,8);
z(1,2)=0.117501+0.13756i;
z(2,3)=0.111717+0.128036i;
z(3,4)=0.154568+0.094196i;
z(3,5)=0.010696+0.012259i;
z(5,6)=0.014856+0.017026i;
z(6,7)=0.001486+0.001703i;
z(7,8)=0.009805+0.011237i;
z(8,9)=0.024214+0.037016i;
z(9,10)=0.001513+0.002314i;
z(10,11)=0.010378+0.015864i;
z(10,12)=0.003675+0.005619i;
z(8,13)=0.018719+0.021453i;
z(13,14)=0.016639+0.019069i;
z(14,15)=0.136972+0.156980i;
z(15,16)=0.013668+0.015664i;
z(16,17)=0.014797+0.016958i;
z(17,18)=0.106369+0.121906i;
z(18,19)=0.046730+0.028478i;
z(18,20)=0.232051+0.265946i;
z(20,21)=0.005942+0.006810i;
z(21,22)=0.188077+0.215549i;
z(22,23)=0.095970+0.109988i;
z(23,24)=0.031792+0.036436i;
z(23,25)=0.041745+0.047843i;
z(25,26)=0.068635+0.078660i;
z(26,27)=0.029712+0.034052i;
z(27,28)=0.029712+0.034052i;
z(27,29)=0.097158+0.111350i;
z(29,30)=0.019313+0.022134i;
z(30,31)=0.078737+0.090238i;
z(31,32)=0.055264+0.063337i;
z(30,33)=0.048728+0.055845i;
z(33,34)=0.009805+0.011237i;
z(33,35)=0.030009+0.034393i;
z(35,36)=0.050845+0.066131i;

```

```

z(35,37)=0.058533+0.067082i;
z(37,38)=-0.078737+0.090238i;
z(38,39)=-0.016215+0.024788i;
z(38,40)=-0.014262+0.016345i;
z(40,41)=-0.040408+0.046311i;
%-----
z(5,42)=0.113182-0.072442i;
z(42,43)=0.044329+0.034363i;
z(42,44)=0.011675+0.017847i;
z(42,45)=0.018801+0.014574i;
z(45,46)=-0.017234+0.013359i;
z(46,47)=0.017945+0.027432i;
z(14,48)=0.016561+0.025316i;
z(48,49)=-0.014918+0.022805i;
z(19,50)=-0.018161+0.027762i;
z(50,51)=0.025255+0.028944i;
z(51,52)=-0.024928+0.028570i;
z(52,53)=-0.025056+0.031198i;
z(52,54)=0.003565+0.004086i;
z(50,55)=0.035803+0.041033i;
z(55,56)=0.031565+0.048253i;
z(55,57)=-0.010378+0.015864i;
%-----
z(57,58)=-0.010378+0.015864i;
z(58,59)=0.042854+0.033220i;
z(59,60)=-0.046080+0.035720i;
z(60,61)=0.210125+0.162883i;
z(61,62)=0.080279+0.048923i;
z(62,63)=0.026960+0.016430i;
z(62,64)=-0.047928+0.029208i;
z(59,65)=-0.160819+0.124663i;
z(65,66)=0.042624+0.033041i;
z(65,67)=0.117043+0.090729i;
z(67,68)=-0.084787+0.065725i;
z(67,69)=-0.023040+0.017860i;
z(69,70)=0.110592+0.085728i;
z(58,71)=0.017837+0.027266i;
z(71,72)=0.009945+0.015203i;
z(72,73)=-0.032835+0.033353i;
z(73,74)=0.094464+0.073226i;
z(74,75)=0.077875+0.060367i;
z(75,76)=-0.007567+0.011568i;
z(76,77)=0.025944+0.039660i;
z(76,78)=0.025944+0.039660i;
z(78,79)=0.008648+0.013220i;
z(78,80)=0.020736+0.016074i;
for i=1:N
    Beban(i,1)=1;
    Beban(i,2)=0;
    Beban(i,3)=0;
    Beban(i,4)=0;
    Beban(i,7)=-3;
end
Beban(1,5)=0.00;Beban(1,6)=0.00;
Beban(2,5)=137.16;Beban(2,6)=-84.99;
Beban(3,5)=0.00;Beban(3,6)=0.00;

```

Beban(4,5)= 68.20; Beban(4,6)= 42.26;
Beban(5,5)= 0.00; Beban(5,6)= 0.00;
Beban(6,5)= 187.08; Beban(6,6)= 115.92;
Beban(7,5)= 28.89; Beban(7,6)= 17.90;
Beban(8,5)= 0.00; Beban(8,6)= 0.00;
Beban(9,5)= 27.13; Beban(9,6)= 16.81;
Beban(10,5)= 0.00; Beban(10,6)= 0.00;
Beban(11,5)= 28.90; Beban(11,6)= 17.91;
Beban(12,5)= 374.85; Beban(12,6)= 232.27;
Beban(13,5)= 74.80; Beban(13,6)= 46.35;
Beban(14,5)= 0.00; Beban(14,6)= 0.00;
Beban(15,5)= 119.70; Beban(15,6)= 74.17;
Beban(16,5)= 57.80; Beban(16,6)= 35.82;
Beban(17,5)= 17.68; Beban(17,6)= 10.95;
Beban(18,5)= 0.00; Beban(18,6)= 0.00;
Beban(19,5)= 1.06; Beban(19,6)= 0.66;
Beban(20,5)= 69.36; Beban(20,6)= 42.98;
Beban(21,5)= 116.23; Beban(21,6)= 72.02;
Beban(22,5)= 24.26; Beban(22,6)= 15.03;
Beban(23,5)= 0.00; Beban(23,6)= 0.00;
Beban(24,5)= 401.63; Beban(24,6)= 248.87;
Beban(25,5)= 8.05; Beban(25,6)= 4.99;
Beban(26,5)= 27.37; Beban(26,6)= 16.96;
Beban(27,5)= 0.00; Beban(27,6)= 0.00;
Beban(28,5)= 108.59; Beban(28,6)= 67.29;
Beban(29,5)= 101.37; Beban(29,6)= 62.81;
Beban(30,5)= 0.00; Beban(30,6)= 0.00;
Beban(31,5)= 54.74; Beban(31,6)= 33.92;
Beban(32,5)= 133.60; Beban(32,6)= 82.79;
Beban(33,5)= 38.25; Beban(33,6)= 23.70;
Beban(34,5)= 56.81; Beban(34,6)= 35.20;
Beban(35,5)= 0.00; Beban(35,6)= 0.00;
Beban(36,5)= 374.35; Beban(36,6)= 232.27;
Beban(37,5)= 25.50; Beban(37,6)= 15.80;
Beban(38,5)= 0.00; Beban(38,6)= 0.00;
Beban(39,5)= 510.00; Beban(39,6)= 316.02;
Beban(40,5)= 78.77; Beban(40,6)= 48.82;
Beban(41,5)= 105.40; Beban(41,6)= 65.32;
Beban(42,5)= 0.00; Beban(42,6)= 0.00;
Beban(43,5)= 110.50; Beban(43,6)= 68.48;
Beban(44,5)= 73.10; Beban(44,6)= 45.30;
Beban(45,5)= 19.55; Beban(45,6)= 12.12;
Beban(46,5)= 0.00; Beban(46,6)= 0.00;
Beban(47,5)= 65.45; Beban(47,6)= 48.56;
Beban(48,5)= 45.05; Beban(48,6)= 27.92;
Beban(49,5)= 8.50; Beban(49,6)= 5.27;
Beban(50,5)= 0.00; Beban(50,6)= 0.00;
Beban(51,5)= 11.05; Beban(51,6)= 6.85;
Beban(52,5)= 0.00; Beban(52,6)= 0.00;
Beban(53,5)= 428.40; Beban(53,6)= 265.51;
Beban(54,5)= 9.52; Beban(54,6)= 5.90;
Beban(55,5)= 0.00; Beban(55,6)= 0.00;
Beban(56,5)= 44.20; Beban(56,6)= 27.39;
Beban(57,5)= 40.20; Beban(57,6)= 24.92;
Beban(58,5)= 0.00; Beban(58,6)= 0.00;
Beban(59,5)= 0.00; Beban(59,6)= 0.00;

```

Beban(60,5)=82.18;Beban(60,6)=50.92;
Beban(61,5)=0.00;Beban(61,6)=0.00;
Beban(62,5)=0.00;Beban(62,6)=0.00;
Beban(63,5)=54.40;Beban(63,6)=33.72;
Beban(64,5)=68.00;Beban(64,6)=42.14;
Beban(65,5)=0.00;Beban(65,6)=0.00;
Beban(66,5)=217.26;Beban(66,6)=134.65;
Beban(67,5)=0.00;Beban(67,6)=0.00;
Beban(68,5)=72.08;Beban(68,6)=44.67;
Beban(69,5)=85.58;Beban(69,6)=53.04;
Beban(70,5)=126.55;Beban(70,6)=78.43;
Beban(71,5)=13.60;Beban(71,6)=8.43;
Beban(72,5)=40.80;Beban(72,6)=25.29;
Beban(73,5)=12.10;Beban(73,6)=7.50;
Beban(74,5)=45.34;Beban(74,6)=28.10;
Beban(75,5)=42.49;Beban(75,6)=26.33;
Beban(76,5)=0.00;Beban(76,6)=0.00;
Beban(77,5)=20.99;Beban(77,6)=13.01;
Beban(78,5)=0.00;Beban(78,6)=0.00;
Beban(79,5)=65.45;Beban(79,6)=40.56;
Beban(80,5)=850.00;Beban(80,6)=526.80;
Sload=complex(sum(Beban(:,5)),sum(Beban(:,6)));
Beban(1,7)=1;
Pbase=100;
Zbase=20000^2/100000;
lbase=20000/Zbase;
for i=1:N
    Beban(i,5)=Beban(i,5)/Phase;
    Beban(i,6)=Beban(i,6)/Pbase;
    for j=1:N
        Zx=imag(z(i,j));
        if Zx==0
            Zr=real(z(i,j))/Zbase;
            Zx=imag(z(i,j))/Zbase;
            z(i,j)=complex(Zr,Zx);
        end
    end
end
Type=3;
a0=0.4;
a1=0.3;
a2=0.3;
a3=0.0;
c1=1.38;
e2=3.22;
%Type=1;
mulai=cputime;
%-----
Beban(1,1)=1.0;
%-----
[V1,ite,Ru,SL,Sup]=DVLoadflow(N,z,Beban,Type,a0,a1,a2,a3,e1,e2);
selesai=cputime;
selang=selesai-mulai;
disp(' ');
disp(' ');

```

```

disp(['=====']);
disp([' Hasil Perhitungan Aliran Daya          ']);
disp([' Metode Incorporating Composite Load Models   ']);
disp(['=====']);
disp(' ');
disp(' ');
disp('-----');
disp(' Bus Tegangan Pembebanan ');
disp(' (pu) P(kw) Q(kvar) ');
disp('-----');
for i=1:N
    if i==1
        Sa=[i Beban(i,1) Beban(i,5)*Pbase Beban(i,6)*Phase];
    else
        Sa=[i V1(i-1) Beban(i,5)*Pbase Beban(i,6)*Phase];
    end
    sprintf(' %3.0f %7.5f %9.3f %9.3f\n',Sa);
end
disp('-----');
disp(' ');
disp(['ALIRAN DAYA DAN RUGI SALURAN']);
disp(' ');
disp(['-----']);
disp([' Bus Daya Rugi Saluran ']);
disp([' from to kw kvar kw kvar ']);
disp(['-----']);
for i=1:N
    for j=1:N
        x=imag(z(i,j));
        if x==0
            S=[i j real(Ru(j-1))*Pbase imag(Ru(j-1))*Pbase real(Sl(j-1))*Pbase imag(SL(j-1))*Phase];
            sprintf(' %3.0f %3.0f %9.3f %9.3f %9.3f\n',S);
        end
    end
end
disp(['-----']);
Sgen=complex(real(Ru(1)),imag(Ru(1)));
Sloss=complex(sum(real(SL)),sum(imag(SL)));
disp(' ');
disp(['Iterasi      = ' num2str(ite)]);
disp(['Total Pembangkitan = ' num2str(Sgen*Pbase) ' kVA']);
disp(['Total Pembebanan = ' num2str(Sload) ' kVA']);
disp(['Total Rugi-Rugi = ' num2str(Sloss*Pbase) ' kVA']);
disp(['Waktu Iterasi = ' num2str(selang) ' detik']);
disp('');
for i=1:N
    Beban(i,5)=Beban(i,5)*Pbase;
    Beban(i,6)=Beban(i,6)*Phase;
end
mulai=cputime;
[V,ite,Alir,Sg,SL,SumG,SumL,Rr,RugiS]=NewtonPolar(N,z,Lc,Tr,Cap,Beban,Phase);
selesai=cputime;
selang=selesai-mulai;
disp(' ');
disp('');

```

```

disp('');
disp('');
disp(['-----']);
disp(['----- Hasil Perhitungan Aliran Daya -----']);
disp(['----- Metode Newton-Raphson -----']);
disp(['-----']);
disp('');

disp(['Jumlah Bus = ' num2Str(N)]);
disp(['Jumlah iterasi = ' num2Str(ite)]);
disp('');

disp(['-----']);
disp([' Bus Tegangan Pembangkitan Pembebanan ']);
disp([' (pu) kw kvar kw mvar ']);
disp(['-----']);

Sa=[(1:N)' real(V) imag(V) real(Sg) imag(Sg) real(SL) imag(SL)];
fprintf('%5.0f %8.5f %8.3f %8.3f %8.3f %8.3f\n',Sa');
disp(['-----']);
disp('');
disp(['Aliran Daya Antar Saluran']);
disp('');
s=0;
%-----
disp(['-----']);
disp([' Bus Daya Bus Daya ']);
disp([' from to kw kvar from to kw kvar ']);
disp(['-----']);

for i=1:N
    for j=1:N
        x=real(z(i,j));
        if x>0
            S=[i j real(Alir(i,j)) imag(Alir(i,j)) j i real(Alir(j,i)) imag(Alir(j,i))];
            fprintf(' %3.0f %3.0f %9.3f %9.3f %3.0f %3.0f %9.3f %9.3f\n',S);
        end
    end
end
disp(['-----']);
%-----
disp('');
disp(['Rugi Daya Antar Saluran']);
disp('');
s=0;
%-----
disp(['-----']);
disp([' Bus Daya ']);
disp([' from to kw kvar ']);
disp(['-----']);

for i=1:N
    for j=1:N
        x=imag(RugiS(i,j));
        if x==0
            S=[i j real(RugiS(i,j)) imag(RugiS(i,j))];
            fprintf(' %3.0f %3.0f %8.3f %8.3f\n',S);
        end
    end
end

```

```

disp(['-----']);
disp(' ');
disp(['Jumlah Pembangkitan = ' num2Str(SumG) ' kVA']);
disp(['Jumlah Pembebanan = ' num2Str(SumL) ' kVA']);
disp(['Jumlah Rugi-Rugi = ' num2Str(Rr) ' kVA']);
disp(['Jumlah Iterasi = ' num2Str(ite)]);
disp(['Waktu Iterasi = ' num2str(selang) ' detik']);
disp(' ');

%figure1 - GrafikTegangan(V,V1)
% Grafik tegangan newton-raphson
bus=(1:N);
teg1=real(V);
subplot(2,1,1);
plot(bus,teg1,'-+r')
xlabel('Bus')
ylabel('Tegangan')
title('Grafik Profil Tegangan Tiap-tiap Bus Metode Newton-Raphson')
grid on
legend('Newton-Raphson');

% Grafik V Composite Load Models
bus=(2:N);
subplot(2,1,2);
teg2=real(V1);
plot(bus,teg2,'-*b')
xlabel('Bus')
ylabel('Tegangan')
title('Grafik Profil Tegangan Tiap-tiap Bus Metode Composite Load')
grid on
legend('Composite');

```

0341 - 326034 (Hunting)
5 : 211

Facsimile : 0341 - 362046

r : 974/330/APJ – MLG/2005
Sdr.No : ITN-1474/III.TA/2/2005
ran : -
| : Survey/ Permintaan Data

Malang , 11 Agustus 2005

Kepada
ITN (Institut Teknologi Nasional)
Jl. Bendungan Sigura-gura No.2
Di
Malang

Menjawab surat Saudara nomor ITN-1474/III.TA/2/2005 pada tanggal 02 Juli 2005 perihal tersebut diatas, dengan ini kami beritahukan bahwa pada prinsipnya kami tidak keberatan / mengizinkan mahasiswa saudara atas nama :

1. ANDY TRI DHARMIKA 00 12 008

Untuk melaksanakan Survey di UJ Malang PT. PLN (Persero) Area Pelayanan dan Jaringan Malang mulai tanggal 08 Agustus 2005 sampai dengan 19 Agustus 2005 dengan catatan PLN hanya memberikan data yang **TIDAK BERSIFAT RAHASIA**.

Sebelumnya diminta agar mahasiswa tersebut mengisi surat pernyataan, dilengkapi dengan pas photo ukuran 3 x 4 Cm di SDM & Administrasi PT. PLN (Persero) Area Pelayanan dan Jaringan Malang.

Demikian agar menjadikan maklum.



Tembusan :
Manajer UJ Malang



PT PLN (PERSERO)
PENYALURAN DAN PUSAT PENGATUR BEBAN JAWA BALI
REGION JAWA TIMUR & BALI

lt. Suningrat No. 45 Taman Sidoarjo 61257

Telpon : (031) 7882113, 7882114
Faksimile : (031) 7882578, 7881024

Kotak Pos : 4119 SRS
Bank : Bank Mandiri

nomor : 165 /330/RJT/2005.
it Sdr. No : ITN-1389/III.A/2/2005.
surat : 1 (satu) lampiran.
bal : Ijin Survey/ Pengambilan Data.

22 JUN 2005

Kepada

Yth. Dekan Fakultas Teknik,
Institut Teknologi Nasional Malang
Di
M A L A N G

Menunjuk surat Saudara nomor : ITN-1389/III.TA/2/2005 tanggal 01 Juni 2005 perihal : Survey/ Permitaan Data, dengan ini diberitahukan bahwa kami tidak keberatan untuk memberikan ijin kepada Mahasiswa Saudara, bernama :

- ANDY TRI DHARMIKA Nim : 00.12.008.

Untuk melakukan Pengambilan Data pada PT. PLN (Persero) P3B Region Jawa Timur dan Bali UPT Malang, dengan persyaratan sebagai berikut :

1. Mahasiswa tersebut diatas supaya mengisi dan menanda tangani Surat Pernyataan 1 (satu) lembar bermaterai Rp. 6.000,-
2. Mahasiswa yang bersangkutan agar mematuhi peraturan/ketentuan yang berlaku di PT. PLN (PERSERO) sehingga faktor-faktor kerahasiaan harus benar-benar diutamakan.
3. Semua biaya perjalanan, penginapan, makan dan lain sebagainya tidak menjadi tanggungan PT. PLN (Persero) P3B Region Jawa Timur dan Bali.
4. Buku Laporan Kerja Praktek Mahasiswa tersebut agar dikirimkan kepada PT. PLN (Persero) P3B Region Jawa Timur dan Bali 1 (satu) buah.
5. Untuk informasi lebih lanjut dapat menghubungi PT. PLN (Persero) P3B Region Jawa Timur dan Bali Cq. Bidang Enjiniring.

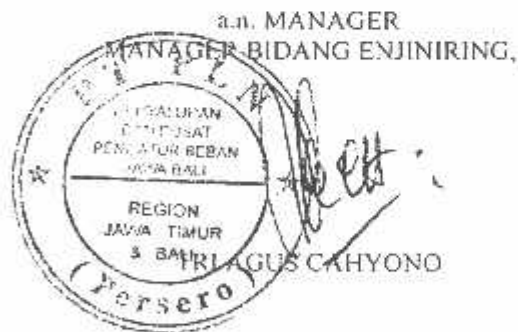
Demikian harap maklum dan terima kasih atas perhatian saudara,

T BCA f N. 1389:

*data yg diperlukan ydo,
denganan LD-LD '08
6-7-08
Han*

Tehnusan Yth. :

1. M.SDM PLN P3B.
2. MUPT Malang PLN P3B RJTB.
3. Sdr. Andy Tri Dharmika.



SURAT PERNYATAAN

Yang bertanda tangan dibawah ini, saya :

Nama : ANDY TEGI DIWIDYA
Pria/ Wanita : Laki
Tempat / Tanggal lahir : Denpasar / 22 September 1981
Alamat / no telepon : Jl. Lawih Pasar No. 24 Pl. Jelutung
(CBT) 3273/S
Pekerjaan : MAHASISWA

Dengan ini saya menerangkan bahwa :

1. Saya bersedia dan setuju menanggung semua akibat yang ditimbulkan karena kesalahan maupun kelalaian saya dan semua akibat lainnya yang terjadi pada instalasi peralatan milik PLN selama melakukan Training/ Praktek Kerja/ Riset pada PT PLN (Persero) P3B Region Jawa Timur dan Bali, yang telah mendapat ijin dari PT PLN (Persero) P3B Region Jawa Timur dan Bali;
2. Saya atas peringatan pertama akan membayar sepenuhnya , semua biaya yang langsung menimbulkan kerugian atau kecelakaan , karena kelalaian saya ;
3. Saya akan segera mematuhi semua petunjuk –petunjuk yang diberikan oleh Petugas PT PT PLN (Persero) P3B Region Jawa Timur dan Bali ;
4. Saya sanggup tidak membocorkan hal – hal yang bersifat rahasia perusahaan PT PLN (Persero) P3B Region Jawa Timur dan Bali dan bahan yang saya peroleh dalam Training/ Praktek Kerja/ Riset, dan tidak saya pergunakan untuk hal – hal yang dapat merugikan PT PLN (Persero) P3B Region Jawa Timur dan Bali
5. Saya sanggup menanggung sendiri segala sesuatu untuk keperluan Training/ Praktek Kerja/ Riset termasuk biaya perjalanan , penginapan makan dan sebagainya ;
6. Saya sanggup menyerahkan 1 (satu) buah buku laporan Training/ Praktek Kerja/ Riset kepada PT PLN (Persero) P3B Region Jawa Timur dan Bali, setelah saya presentasikan kepada Manager Bidang Enjiniring PT PLN (Persero) P3B Region Jawa Timur dan Bali mengenai tugas Training/ Praktek Kerja/ Riset.
7. Saya tunduk dan akan mentaati semua peraturan yang berlaku di PT PLN (Persero) P3B Region Jawa Timur dan Bali, dan saya sanggup tidak meninggalkan tugas kedinasan selama Training/ Praktek Kerja/ Riset.



Surabaya, 13 JULI 2003
Yang membuat pernyataan

6000
TUL
PT PLN (Persero)
ANDY TEGI DIWIDYA



PERKUMPULAN PENGELOLA PENDIDIKAN UMUM DAN TEKNOLOGI NASIONAL MALANG
INSTITUT TEKNOLOGI NASIONAL MALANG

PT. BNI (PERSERO) MALANG
BANK NIAGA MALANG

**FAKULTAS TEKNOLOGI INDUSTRI
FAKULTAS TEKNIK SIPIL DAN PERENCANAAN
PROGRAM PASCASARJANA MAGISTER TEKNIK**

Kampus I : Jl. Bendungan Sigura-gura No. 2 Telp. (0341) 551431 (Hunting), Fax. (0341) 553015 Malang 65145
Kampus II : Jl. Raya Karanglo, Km 2 Telp. (0341) 417636 Fax. (0341) 417634 Malang

Nomor : ITN-1389/III.TA/2005
Lampiran : -
Perihal : Survey / Permintaan Data

Kepada : Yth Pimpinan
PT.PLN (Persero) P3B Jawa Bali
Region Jawa Timur dan Bali
Jl. Suringrat No.45 Taman 61257
di-
Sidoarjo

Malang, 1 JUNI 2005

Bersama ini dengan hormat kami mohon kebijaksanaan Bapak agar mahasiswa kami dari Fakultas Teknologi Industri. Jurusan Teknik Elektro S-1 Konsentrasi Teknik Energi Listrik dapat diijinkan untuk melaksanakan survey pada Gardu Induk Blimming Malang untuk mendapatkan data-data guna penyusunan Tugas Akhir dengan Judul :

ANALISA ALIRAN BEBAN DENGAN MENGGUNAKAN METODE INCORPORATING COMPOSITE LOAD MODEL PADA JARINGAN DISTRIBUSI RADIAL SEIMBANG DI GARDU INDUK

Mahasiswa tersebut adalah :

1. ANDY TRI DHARMIKA

Nim : 00 12 008

Adapun lama Survey adalah : 2 (Dua) Minggu
Demikian agar maklum dan atas perhatian serta bantuanya kami ucapkan terima kasih.



Tembusau disampaikan kepada Yth :

1. Ketua Jurusan
2. Arsip



PERMOHONAN PERSETUJUAN SKRIPSI

Yang bertanda tangan dibawah ini :

Nama : ANDY TRI DHARMIKA
NIM : 00.12008
Semester :
Fakultas : Teknologi Industri
Jurusan : Teknik Elektro S-1
Konsentrasi : Teknik Energi Listrik
Alamat : GELIA SAMPOERMA SEJAHTERA D-1/7 KARANGPLOSO MALANG

Dengan ini kami mengajukan permohonan untuk mendapatkan persetujuan untuk membuat *SKRIPSI Tingkat Sarjana*. Untuk melengkapi permohonan tersebut, bersama kami lampirkan persyaratan-persyaratan yang harus dipenuhi.

Adapun persyaratan-persyaratan pengambilan *SKRIPSI* adalah sebagai berikut :

1. Telah melaksanakan semua praktikum sesuai dengan konsentrasi
2. Telah lulus dan menyerahkan Laporan Praktek Kerja
3. Telah lulus seluruh mata kuliah keahlian (MKB) sesuai konsentrasi
4. Telah menempuh mata kuliah ≥ 134 sks dengan IPK ≥ 2 dan tidak ada nilai E
5. Telah mengikuti secara aktif kegiatan seminar skripsi yang diadakan Jurusan
6. Memenuhi persyaratan administrasi

Demikian permohonan ini untuk mendapatkan penyelesaian lebih lanjut dan atas perhatiannya kami ucapkan terimakasih.

Telah diteliti kebenaran data tersebut diatas
Recording Teknik Elektro

Malang, JULI 2005

Pemohon

(Andy Tri Dharmika)

Disetujui
Ketua Jurusan Teknik Elektro

Ir. F. Yudi Limpraptomo, MT

NIP. Y. 1039500274

Mengetahui
Dosen Wali

(Ir. I MADE WARTAMA, MT.)

Catatan :

Bagi mahasiswa yang telah memenuhi persyaratan mengambil SKRIPSI agar membuat proposal dan mendapat persetujuan dari Ketua Jurusan/Sekretaris Jurusan T. Elektro S-1

1. $IPK \frac{4,16}{4} = 3,01$
2. 138
3. -7 praktik yg baru



INSTITUT TEKNOLOGI NASIONAL MALANG
FAKULTAS TEKNOLOGI INDUSTRI
JURUSAN TEKNIK ELEKTRO

FORMULIR PENGAJUAN JUDUL SKRIPSI
JURUSAN TEKNIK ELEKTRO/T. ENERGI LISTRIK S-1

| | | | | |
|----|---|--|---|---------------|
| 1. | Nama Mahasiswa , Andy Tri Dharmika | Nom . 00.12.008 | | |
| 2. | Waktu Pengajuan | Tanggal 10 | Bulan 2 | Tahun 2015 |
| 3. | Spesifikasi Judul | | | |
| | a. Sistem Tenaga Elektrik b. Mesin-Mesin Elektrik & Enda c. Sistem Pemb Energi Elektrik | d. Sistem Kendali e. Teknik Tegangan Tinggi f. lainnya | | |
| | Konsultasikan judul sesuai materi bidang ilmu kepada Kelompok Dosen Keahlian | | | |
| 4. | <i>Surat Dukungan</i> | | <i>Surat Dukungan</i> ir. I Made Wartana, MT Nip. 131 991 182 | |
| 5. | Judul yang diajukan mahasiswa | ANALISA DAN BEBAN MENGGUNAKAN METODE EQUIVALENT COMPOSITE LOAD MODEL PADA JARINGAN DISTRIBUSI RADIAL SEIMBANG DIGI | | |
| 6. | Perubahan Judul yang Diusulkan oleh Kelompok Dosen Keahlian | | | |
| 7. | Cacatan : | | | |
| 8. | Persetujuan Judul Skripsi yang dikonsultasikan kepada Kelompok Dosen Keahlian | <input checked="" type="checkbox"/> setuju Kelompok Dosen Keahlian <i>Surat Dukungan</i> Pengajuan : 26 - 02 - 2015 | | |

Perhatian :

1. Formulir Pengajuan ini harus diisi seluruhnya ke dalam paling jauh batas **satu minggu** setelah disetujui Kelompok Dosen Keahlian dan dilanjutkan dengan Penyerahan Proposal Skripsi berserta persyaratan Skripsi sebagaimana Formulir.
2. *) dilingkari a, b, c, ... atau 1, 2, 3, ... bidang penelitian
3. **) diisi oleh Jurusan

INSTITUT TEKNOLOGI NASIONAL
Jl. Bendungan Sigura-gura No. 2
MALANG

Lampiran : 1 (satu) berkas
Pembimbing Skripsi

Kepada : Yth. Bapak/Ibu I Made Wartana, MT,
Dosen Institut Teknologi Nasional
MALANG

Yang bertanda tangan di bawah ini :

Nama : I Made Wartana, MT
Nim : 131 991 182
Jurusan : Teknik Elektro S.I
Konsentrasi : Energi Listrik

Dengan ini mengajukan permohonan kiranya Bapak/Ibu bersedia
menjadi Dosen Pembimbing Utama / Pembimbing *) untuk penyusunan
Skripsi dengan judul (proposal tertampung)

Analisis dan Pengembangan Perancangan Sistem Pengelolaan
Daya Listrik Pada Rumah Tangga Di Desa Gondangrejo Kecamatan

Adapun tugas tersebut sebagai salah satu syarat untuk menempuh Ujian
Akhir Sarjana Teknik.
Demikian permohonan kami dan atas kesedian Bapak/Ibu kami ucapan
terima kasih.

Malang,

Mengetahui
Ketua Jurusan Teknik Elektro

Berformat kami,

Ir. I Made Wartana, MT
NIP. 131 991 182

Dr. H. Dwi Djoko Priyatno, SE

*) coret yang tidak perlu

PERNYATAAN KESEDIAAN DALAM PEMBIMBINGAN SKRIPSI

Sesuai permohonan dari mahasiswa

Nama : ABDYAH MULYAHAYAH

Nim : 2013211012

Semester : II (Sesi Musim)

Jurusan : Teknik Elektro S.1

Konsentrasi : Energi Listrik

Dengan ini Nyatakan bersedia / tidak bersedia *) Mengambil Skripsi dari mahasiswa tersebut, dengan judul : *Analisis Efisiensi Pengembangan Metode Pengelolaan Cerdas untuk Efisiensi Penerapan Sistem Pengelolaan Disertasi Pada Universitas PGRI*

Demikian surat Pernyataan ini kami buat agar dapat dipergunakan seperlunya.

Malang,

Kunci yang membuktikan pernyataan,

Catatan

Setelah disetujui agar formulir ini
Diserahkan mahasiswa yang bersangkutan
Kepada Jurusan untuk d'proses lebih lanjut.
*) Catatan yang tidak perlu



NIP. 31.342.174

Form S-3b



PERKUMPULAN PENGELOLA PENDIDIKAN UMUM DAN TEKNOLOGI NASIONAL MALANG
INSTITUT TEKNOLOGI NASIONAL MALANG

PT. BNI (PERSERO) MALANG
BANK NIAGA MALANG

Kampus I : Jl. Bendungan Sigura-gura No. 2 Telp. (0341) 551431 (Hunting), Fax. (0341) 553015 Malang 65145
Kampus II : Jl. Raya Karanglo, Km 2 Telp. (0341) 417636 Fax. (0341) 417634 Malang

Nomor : ITN-454/ISKP /2/05
Lampiran : satu lembar
Perihal : **BIMBINGAN SKRIPSI**

Kepada : Yth. Sdr. Ir. I MADE WARTANA, MT
Dosen Institut Teknologi Nasional
di –
Malang

Dengan Hormat,
Sesuai dengan permohonan dan persetujuan dalam proposal skripsi
melalui seminar proposal yang telah dilakukan untuk mahasiswa :

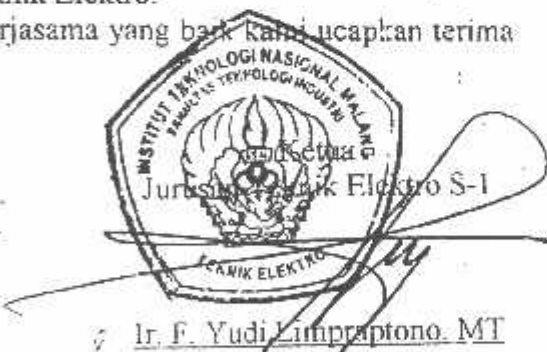
| | |
|-------------|---------------------------|
| Nama | : ANDY TRI D |
| Nim | : 0012008 |
| Fakultas | : Teknologi Industri |
| Jurusan | : Teknik Elektro |
| Konsentrasi | : T. Energi Listrik (S-1) |

Dengan ini pembimbingan skripsi tersebut kami serahkan sepenuhnya
kepada saudara/I selama masa waktu **6 (enam) bulan** terhitung mulai
tanggal:

31 Mei 2005 s/d 31 Nop. 2005

Adapun tugas tersebut merupakan salah satu syarat untuk memperoleh
gelar Sarjana Teknik, Jurusan Teknik Elektro.

Demikian atas perhatian serta kerjasama yang baik Kami ucapkan terima
kasih



Tindasan :

1. Mahasiswa yang bersangkutan
2. Arsip

Form. S-4a



INSTITUT TEKNOLOGI NASIONAL MALANG

FAKULTAS TEKNOLOGI INDUSTRI

FAKULTAS TEKNIK SIPIL DAN PERENCANAAN

PROGRAM PASCASARJANA MAGISTER TEKNIK

T. BNI (PERSERO) MALANG
BANK NIAGA MALANGKampus I : Jl. Bendungan Sigura-gura No. 2 Telp. (0341) 551431 (Hunting). Fax. (0341) 553015 Malang 65145
Kampus II : Jl. Raya Karanglo, Km 2 Telp. (0341) 417636 Fax. (0341) 417634 MalangNomor : ITN-1035/I.SKP /2/'06
Lampiran : satu lembar
Perihal : **BIMBINGAN SKRIPSI**Kepada : Yth. Sdr. Ir. I MADE WARTANA *)
Dosen Institut Teknologi Nasional
di - Malang

Malang, 19 Jan. 2006

Dengan Hormat,
Sesuai dengan permohonan dan persetujuan dalam perpanjangan masa bimbingan skripsi yang telah dilakukan untuk mahasiswa :

| | |
|-------------|---------------------------|
| Nama | : ANDY TRI D |
| Nim | : 0012008 |
| Fakultas | : Teknologi Industri |
| Jurusan | : Teknik Elektro |
| Konsentrasi | : T. Energi Listrik (S-1) |

Dengan ini pembimbingan skripsi tersebut kami serahkan Kembali sepenuhnya kepada Saudara/I, selama masa waktu **6 (Enam) bulan** terhitung mulai tanggal:

1 Des. 2005 s/d 1 Mei 2006

Adapun tugas tersebut merupakan salah satu syarat untuk memperoleh gelar Sarjana Teknik, Jurusan Teknik Elektro, apabila lewat dari batas waktu tsb, maka, skripsinya akan digugurkan.

Demikian atas perhatian serta kerjasama yang baik kami ucapkan terima kasih



Ketua
Jurusan Teknik Elektro
Ir. F. Yudi Limpraptono, MT
Nip. 1039500274

Tindasan :

1. *) Perpanjangan Kontrak
2. Mahasiswa yang bersangkutan
3. Arsip.

Form. S-4a



FORMULIR BIMBINGAN SKRIPSI

Nama : ANDY TRI DHARMIKA
 Nim : 00.12.008
 Masa Bimbingan : 31 Mei 2005 s/d 31 November 2005
 Judul Skripsi : ANALISA ALIRAN BEBAN DENGAN MENGGUNAKAN METODE INCORPORATING COMPOSITE LOAD MODEL PADA JARINGAN DISTRIBUSI RADIAL SEIMBANG DI GARDU INDUK

| No. | Tanggal | Uraian | Parap Pembimbing |
|-----|--------------|---|------------------|
| 1. | 09-08-'05 | Lalu hasil, nrasa di bnyak biaya pemas | af. |
| 2. | 09-08-'05 | Banyaknya yg. Past Decoupled. dari kugulan smt dengan | af. |
| 3. | 16-08-'05 | Buat yg sum kecil (3-6 bus) csg cpt diikuti pemasang | af. |
| 4. | 01-09-'05 | Pelompat sum kecil memant-flo chart - | af. |
| 5. | 29-09-'05 | "sum pemas tdk tvls, nrasa masalah al sntas, maaa perbaikan wktu | af. |
| 6. | 29-09-'05 | Kalem memang membandingkan dg metode sebelumnya. Kalem hanya dg solusi pd nrasa masalah | af. |
| 7. | 22-10-'05 | Apakah yg diwajibkan R/x lagi dan bagaimana metode dan menghitung | af. |
| 8. | 12/10 /05 | Layanan yg . nrasa Dgn Pem | af. |
| 9. | 16/10 /05 | * cara seniar disertasi yg. ken? peng | af. |
| 10. | 26/10 /05 | Rivisi tdk tvls. Relasi metode | af. |

Malang, 200
 Dosen Pembimbing,

I. MADE WARTANA, MT

Form.S-4b



FORMULIR BIMBINGAN SKRIPSI

Nama : ANDY TRI DHARMIKA
Nim : 00.12.008
Masa Bimbingan : 1 Desember 2005 s/d 1 Mei 2006
Judul Skripsi : ANALISA ALIRAN DAYA MENGGUNAKAN METODE
INCORPORATING COMPOSITE LOAD MODELS PADA
JARINGAN DISTRIBUSI RADIAL SEIMBANG DI
GARDU INDUK BLIMBING MALANG

| No. | Tanggal | Uraian | Paraf Pembimbing |
|-----|----------|--|------------------|
| 1. | 25/06/06 | Revisi tinta tulis & sarana | ↓ |
| 2. | 6/07/06 | Setelah ditulis | ↓ |
| 3. | 2/07/06 | Alasan di bawahnya ditulis setelah Konferensi | ↓ |
| 4. | 27/06/06 | Pelaksanaan dan tanda kepuasan | ↓ |
| 5. | | | |
| 6. | | | |
| 7. | | | |
| 8. | | | |
| 9. | | | |
| 10. | | | |

Malang, 200
Dosen Pembimbing

Ir. I MADE WARTANA, MT

Form.S-4b



LEMBAR BIMBINGAN SKRIPSI

1. Nama : ANDY TRI DHARMIKA
2. NIM : 00.12.008
3. Jurusan : Teknik Elektro S-1
4. Konsentrasi : Teknik Energi Listrik
5. Judul Skripsi : ANALISIS ALIRAN DAYA DENGAN METODE *INCORPORATING COMPOSITE LOAD MODELS* PADA JARINGAN DISTRIBUSI RADIAL SEIMBANG DI GARDU INDUK BLIMBING MALANG
6. Tanggal Mengajukan Skripsi : 19 Februari 2005
7. Tanggal Menyelesaikan Skripsi : 18 Maret 2006
8. Dosen Pembimbing : Ir. I MADE WARTANA, MT
9. Telah Dievaluasikan Dengan Nilai : 85 (Delapan Puluh Lima) ~

Mengetahui,
Ketua Jurusan Teknik Elektro S-1

Ir. F. Yudi Limpraptono, MT
NIP. Y. 103 950 0274

Diperiksa dan Disetujui,
Dosen Pembimbing

Ir. I Made Wartana, MT
NIP. 131 991 182



INSTITUT TEKNOLOGI NASIONAL MALANG
FAKULTAS TEKNOLOGI INDUSTRI
JURUSAN TEKNIK ELEKTRO S-1
KONSENTRASI TEKNIK ENERGI LISTRIK

BERITA ACARA UJIAN SKRIPSI FAKULTAS TEKNOLOGI INDUSTRI

Nama Mahasiswa : ANDY TRI DHARMIKA
N.I.M. : 00.12.008
Jurusan : Teknik Elektro S-1
Konsentrasi : Teknik Energi Listrik
Judul Skripsi : ANALISIS ALIRAN DAYA DENGAN
METODE INCORPORATING COMPOSITE
LOAD MODELS PADA JARINGAN
DISTRIBUSI RADIAL SEIMBANG DI GARDU
INDUK BLIMBING MALANG

Dipertahankan dihadapan Majelis Penguji Skripsi Jenjang Strata Satu (S-1)

Hari : Sabtu
Tanggal : 18 Maret 2006
Dengan Nilai : 80,05 (A) ~



Panitia Ujian Skripsi

(Ir. F. Yudi Limpraptono, MT)
Sekretaris

Anggota Penguji

(Ir. H. Almizan Abdullah, MSE)
Penguji Pertama

(Ir. H. Taufik Hidayat, MT)
Penguji Kedua



PERSETUJUAN PERBAIKAN SKRIPSI

Dari hasil ujian skripsi Jurusan Teknik Elektro jenjang Strata Satu (S-1) yang diselenggarakan pada :

Hari : Sabtu
Tanggal : 18 Maret 2006

Telah dilakukan perbaikan skripsi oleh :

1. Nama : ANDY TRI DHARMIKA
2. NIM : 00.12.008
3. Jurusan : Teknik Elektro S-1
4. Konsentrasi : Teknik Energi Listrik
5. Judul Skripsi :

ANALISIS ALIRAN DAYA DENGAN METODE *INCORPORATING COMPOSITE LOAD MODELS* PADA JARINGAN DISTRIBUSI RADIAL SEIMBANG DI GARDU INDUK BLIMBING MALANG

Perbaikan Meliputi :

| No. | Materi Perbaikan | Ket |
|-----|--|-----|
| 1. | Baik pada batasan masalah maupun pada Bab III perlu ada tambahan penjelasan tentang metode <i>Incorporating Composite Load Models</i> (beban komposit) | |
| 2. | Kesimpulan sesuaikan dengan rumusan masalah | |
| 3. | Uji validasi | |
| 4. | Catatan kaki Bab III (Teori dari mana hal 32) referensinya tulis dalam daftar pustaka | |
| 5. | Jika dibandingkan dengan <i>Newton Raphson</i> , lampirkan flowchartnya | |

Anggota Pengaji

Pengaji Pertama

Ir. H. Almizan Abdullah, MSEE
NIP. Y. 103 9000 268

Pengaji Kedua

Ir. H. Taufik Hidayat, MT
NIP. P. 101 870 0015

Dosen Pembimbing

Ir. I Made Wartana, MT
NIP. 131.991.182



INSTITUT TEKNOLOGI NASIONAL
FAKULTAS TEKNOLOGI INDUSTRI
JURUSAN TEKNIK ELEKTRO

Formulir Perbaikan Ujian Skripsi

Dalam pelaksanaan Ujian Skripsi Janjang Strata 1 Jurusan Teknik Elektro Konsentasi T. Energi Listrik / T. Elektronika, maka perlu adanya perbaikan skripsi untuk mahasiswa :

NAMA : Andri Tri D
NIM : 0812088
Perbaikan meliputi :

Kesimpulan sebaiknya diberikan nomor urut.

- Uji validasi .

- Catatan kuli bagian (Scoring dimana hal 32) referensiya tulis dalam daftar pustaka

- Jika dibutuhkan dengan review system, lampirkan flowchart nya

Malang,

()



INSTITUT TEKNOLOGI NASIONAL
FAKULTAS TEKNOLOGI INDUSTRI
JURUSAN TEKNIK ELEKTRO

Formulir Perbaikan Ujian Skripsi

Dalam pelaksanaan Ujian Skripsi Janjang Strata 1 Jurusan Teknik Elektro Konsentasi T. Energi Listrik / T. Elektronika, maka perlu adanya perbaikan skripsi untuk mahasiswa :

NAMA : ANDY TRI D
NIM : 0012 208
Perbaikan meliputi :

Baik pada Batang Stakas masing pada
Bab II perlu ada tambahan penjelasan tgl
Composite load (Bahan Komposit)

Malang, 18/03/2006

(Amizah)

```
fgCostGen.Cells[2,0]:='Biaya PLN (Rp)';
fgCostGen.Cells[3,0]:='Biaya TS (Rp)';
fgCostGen.Cells[4,0]:='Selisih (Rp)';
cmbUang.Text:='IDR';
lblUang1.Caption:='Rupiah/jam';
lblUang2.Caption:='Rupiah/jam';
lblUang3.Caption:='Rupiah/jam';
end;

procedure TfrmParamTS.cmbUangChange(Sender: TObject);
begin
  if cmbUang.Text='IDR' then
  begin
    lblUang1.Caption:='Rupiah/jam';
    lblUang2.Caption:='Rupiah/jam';
    lblUang3.Caption:='Rupiah/jam';
  end
  else if cmbUang.Text='USD' then
  begin
    lblUang1.Caption:='US $/hour';
    lblUang2.Caption:='US $/hour';
    lblUang3.Caption:='US $/hour';
  end;
end;

end.
```